

S.S. N. 9 "VIA EMILIA"

VARIANTE DI CASALPUSTERLENGO ED ELIMINAZIONE PASSAGGIO A LIVELLO SULLA S.P. EX S.S. N.234

PROGETTO ESECUTIVO

 Ing. Renato Vaira <small>(Ordine degli Ingg. di Torino e Provincia n° 4863 W)</small>	ING. RENATO DEL PRETE Ing. Renato Del Prete <small>Ordine degli Ingg. di Bari e provincia n° 5073</small>	DOTT. GEOL. DANILO GALLO Dott. Geol. Danilo Gallo <small>Ordine dei Geologi della Regione Puglia n° 588</small>	INTEGRAZIONE PRESTAZIONI Ing. Renato Del Prete	PROGETTISTA Ing. Valerio Bajetti <small>(I.T. S.r.l.)</small>
			PROGETTAZIONE STRADALE Ing. Gaetano Ranieri <small>(Ga&M S.r.l.)</small>	PROGETTAZIONE IDRAULICA Ing. Fabrizio Bajetti <small>(I.T. S.r.l.)</small>
 Ing. Valerio Bajetti <small>Ordine degli Ingg. di Roma e provincia n° A-26211</small>	SETAC Srl Servizi & Engineering Trasporti Ambiente Costruzioni Prof. Ing. Luigi Monterisi <small>Ordine degli Ingg. di Bari e provincia n° 1771</small>	 E&G Engineering & Graphics S.r.l. Ing. Gabriele Incecchi <small>Ordine degli Ingg. di Roma e provincia n° A-12102</small>	PROGETTAZIONE OPERE D'ARTE MAGGIORI Ing. Renato Vaira <small>(Studio Corona S.r.l.)</small>	PROGETTAZIONE OPERE D'ARTE MINORI Ing. Nicola Ligas <small>(I.T. S.r.l.)</small>
			COMPUTI Ing. Valerio Bajetti <small>(I.T. S.r.l.)</small>	CANTIERISTICA Ing. Gaetano Ranieri <small>(Ga&M S.r.l.)</small>
 Prof. Ing. Matteo Ranieri <small>Ordine degli Ingg. di Bari e provincia n° 1137</small>	ECOPLAN <small>Società di Ingegneria e Architettura</small> Arch. Nicoletta Frattini <small>Ordine degli Arch. di Torino e provincia n° A-8433</small>	ARKE' INGEGNERIA s.r.l. <small>Via Impugnazione Proponenza 4 - 70126 Bari</small> Ing. Gioacchino Angarano <small>Ordine degli Ingg. di Bari e provincia n° 5970</small>	GEOLOGIA Dott. Danilo Gallo	GEOTECNICA Ing. Gianfranco Sodero <small>(Studio Corona S.r.l.)</small>
			AMBIENTE Dott. Emilio Macchi <small>(ECOPLAN S.r.l.)</small>	SICUREZZA Ing. Gaetano Ranieri <small>(Ga&M S.r.l.)</small>
VISTO: IL RESPONSABILE DEL PROCEDIMENTO  Dott. Ing. Fabrizio CARDONE	IL RESPONSABILE DELLA INTEGRAZIONE DELLE PRESTAZIONI SPECIALISTICHE  Ing. Renato DEL PRETE	PROGETTISTA  Ing. Valerio BAJETTI	GEOLOGO  Dott. Danilo GALLO	IL COORDINATORE DELLA SICUREZZA IN FASE DI PROGETTAZIONE  Ing. Gaetano RANIERI

HE04

H - PROGETTO STRUTTURALE OPERE PRINCIPALI

VI04 - VIADOTTO FF.SS.

RELAZIONE DI CALCOLO SPALLE

CODICE PROGETTO PROGETTO LIV. PROG. N. PROG. <div style="display: flex; justify-content: space-around;"> COMI E 1701 </div>	NOME FILE HE04-P00VI04STRRE04_B.dwg CODICE ELAB. P00VI04STRRE04	REVISIONE B	SCALA: -----
D			
C			
B	EMISSIONE A SEGUITO ISTRUTTORIA	LUGLIO 2018	ARCH. MAURO SASSO
A	EMISSIONE	DICEMBRE 2017	ING. NICOLA LIGAS
REV.	DESCRIZIONE	DATA	REDATTO VERIFICATO APPROVATO

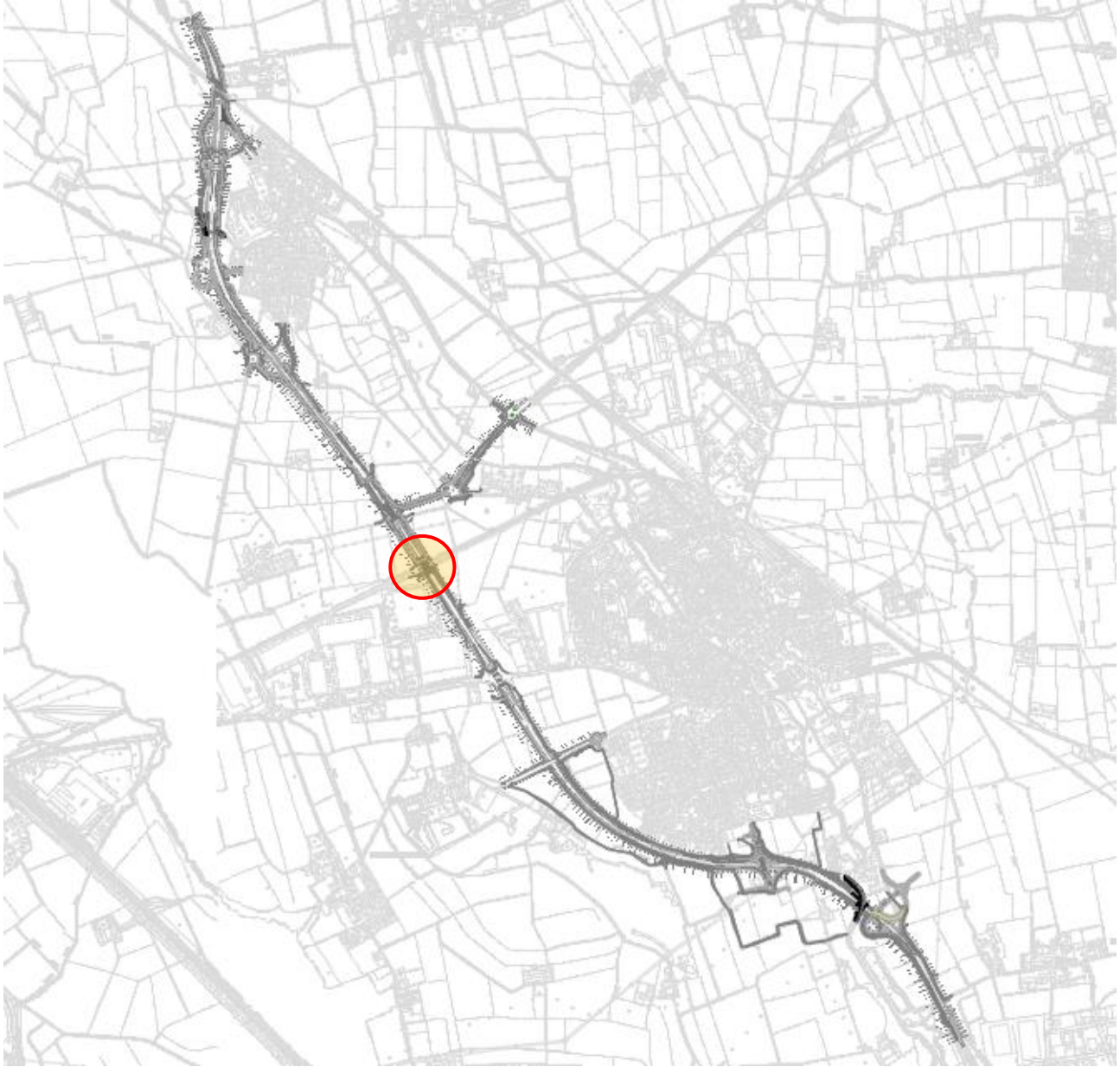
SOMMARIO

1	PREMESSA	3
2	NORMATIVA DI RIFERIMENTO	4
3	UNITA' DI MISURA	4
4	MATERIALI	5
4.1	Calcestruzzo	5
4.1.1	Calcestruzzo per opere di sottofondazione	5
4.1.2	Calcestruzzo per opere di fondazione (UNI 11104-2016).....	5
4.1.3	Calcestruzzo per opere in elevazione (UNI 11104-2016).....	6
4.2	Acciaio.....	6
4.2.1	Acciaio per armatura lenta	6
5	ZONIZZAZIONE E CARATTERIZZAZIONE SISMICA.....	7
6	ANALISI DEI CARICHI.....	10
6.1	Peso proprio degli elementi in cemento armato	10
6.2	Azioni trasmesse dall'impalcato	10
6.3	Spinta del terreno a tergo delle spalle.....	10
6.4	Spinta dovuta ai sovraccarichi a tergo delle spalle.....	10
6.5	Azione sismica.....	11
6.5.1	Azione inerziale delle masse.....	11
6.5.2	Sovrappinta dinamica dei terreni.....	11
7	COMBINAZIONI DI CARICO.....	11
8	SPALLE (travi a cuscino)	12
8.1	Sezione di spiccato del paraghiaia - Valutazione delle azioni sollecitanti	12
8.1.1	Dati di input.....	12
8.1.2	Riepilogo dei valori caratteristici delle azioni sollecitanti.....	13
8.1.3	Riepilogo dei valori di calcolo delle azioni sollecitanti.....	14
8.2	Sezione di spiccato del paraghiaia – Verifiche strutturali.....	14
8.2.1	Sezione e armatura di verifica.....	14
8.2.2	Verifica allo Stato Limite di limitazione delle tensioni – Combinazione Quasi Permanente	16
8.2.3	Verifica allo Stato Limite di limitazione delle tensioni – Combinazione Frequente	16
8.2.4	Verifica allo Stato Limite di limitazione delle tensioni – Combinazione Rara	17
8.2.5	Verifica allo Stato Limite di fessurazione.....	18
8.2.6	Verifica allo Stato Limite Ultimo per pressoflessione retta.....	19
8.2.7	Verifica allo Stato Limite Ultimo per taglio	20
8.3	Sezione di spiccato dei muri di risvolto laterali - Valutazione delle azioni sollecitanti	21
8.3.1	Schema e modello di calcolo	21
8.3.2	Applicazione dei carichi elementari	22
8.3.3	Valutazione delle azioni sollecitanti.....	24
8.4	Sezione di spiccato dei muri di risvolto laterali - Verifiche strutturali.....	28
8.4.1	Sezione e armatura di verifica.....	28
8.4.2	Verifica allo Stato Limite di limitazione delle tensioni – Combinazione Quasi Permanente	28
8.4.3	Verifica allo Stato Limite di limitazione delle tensioni – Combinazione Frequente	29
8.4.4	Verifica allo Stato Limite di limitazione delle tensioni – Combinazione Rara	29
8.4.5	Verifica allo Stato Limite di fessurazione.....	30
8.4.6	Verifica allo Stato Limite Ultimo per flessione retta	31

8.4.7	Verifica allo Stato Limite Ultimo per taglio	32
8.5	Sezione alla base della trave a cuscino – Valutazione delle azioni sollecitanti	33
8.6	Pali di fondazione – Valutazione delle azioni sollecitanti	39
8.7	Trave a cuscino – Verifiche strutturali in direzione trasversale	41
8.8	Stato Limite di Esercizio – Combinazione Quasi Permanente	42
8.9	Stato Limite di Esercizio – Combinazione Frequente	42
8.10	Stato Limite di Esercizio – Combinazione rara	42
8.11	Stato Limite Ultimo – STR	42
8.12	Stato Limite di Salvaguardia della Vita	42
8.13	Trave a cuscino – Verifiche strutturali in direzione longitudinale	43
8.13.1	Valutazione delle azioni sollecitanti	44
8.13.2	Sezione e armatura di verifica	55
8.13.3	Verifica allo Stato Limite di limitazione delle tensioni – Combinazione Quasi Permanente	55
8.13.4	Verifica allo Stato Limite di limitazione delle tensioni – Combinazione Frequente	56
8.13.5	Verifica allo Stato Limite di limitazione delle tensioni – Combinazione Rara	56
8.13.6	Verifica allo Stato Limite di fessurazione	57
8.13.7	Verifica allo Stato Limite Ultimo per flessione retta	60
8.13.8	Verifica allo Stato Limite Ultimo per taglio	61
8.14	Baggioli di appoggio – Verifiche strutturali	62
8.14.1	Valutazione delle azioni sollecitanti	62
8.14.2	Sezione e armatura di verifica	64
8.14.3	Verifica allo Stato Limite Ultimo per punzonamento	64
8.14.4	Verifica allo Stato Limite Ultimo per tranciamento	65
8.15	Ritegni sismici longitudinali	66
8.15.1	Valutazione delle azioni sollecitanti	66
8.15.2	Sezione e armatura di verifica	66
8.15.3	Verifica allo Stato Limite Ultimo per tranciamento	67
8.16	Ritegni sismici trasversali	68
8.16.1	Valutazione delle azioni sollecitanti	68
8.16.2	Sezione e armatura di verifica	68
8.16.3	Verifica allo Stato Limite Ultimo per tranciamento	69
9	SOTTOSCRIZIONE DELL'ELABORATO DA PARTE DEL R.T.P.	70

1 PREMESSA

La presente relazione di calcolo riporta il dimensionamento e le verifiche strutturali delle spalle (paragliaia, trave a cuscino, muri laterali posteriori e baggioli di appoggio) del viadotto FF.SS., realizzate in cemento armato gettato in opera nell'ambito del progetto esecutivo "S.S. n.9 Emilia – Variante di Casalpusterlengo ed eliminazione passaggio a livello sulla S.P. ex S.S. N.234".



Per la descrizione delle opere si rimanda alla *Relazione tecnica dell'opera* (elaborato **HE01-P00VI04STRRE01_A**).

2 NORMATIVA DI RIFERIMENTO

La presente relazione è stata redatta in osservanza delle seguenti Normative Tecniche:

- **Legge 05/01/1971 n.1086** → Norme per la disciplina delle opere in conglomerato cementizio armato, normale e precompresso ed a struttura metallica
- **Legge 02/02/1974 n. 64** → Provvedimenti per le costruzioni con particolari prescrizioni per le zone sismiche
- **DM 14/01/2008** → Nuove Norme Tecniche per le Costruzioni
- **Circolare 02/02/2009 n. 617/C.S.LL.PP.** → Istruzioni per l'applicazione delle "Nuove Norme Tecniche per le Costruzioni" di cui al DM 14/01/2008
- **UNI EN 1992-1 (Eurocodice 2 – Parte 1)** → Progettazione delle strutture in calcestruzzo – Regole generali
- **UNI EN 1992-2 (Eurocodice 2 – Parte 2)** → Progettazione delle strutture in calcestruzzo – Ponti
- **UNI EN 1998-5 (Eurocodice 8) – Gennaio 2015** → Progettazione delle strutture per la resistenza sismica – Parte 5: Fondazioni, strutture di contenimento ed aspetti geotecnici
- **UNI EN 206-1:2006** → Calcestruzzo – Specificazione, prestazione e conformità
- **UNI 11104** → Calcestruzzo – Specificazione, prestazione, produzione e conformità – Istruzioni complementari per l'applicazione della EN 206-1
- **Servizio Tecnico Centrale della Presidenza del Consiglio Superiore dei LL.PP.** Linee guida sul calcestruzzo strutturale

3 UNITA' DI MISURA

Nei calcoli è stato fatto uso delle seguenti unità di misura:

- per i carichi: $\text{kN/m}^2, \text{kN/m}, \text{kN}$
- per i momenti: kNm
- per i tagli e sforzi normali: kN
- per le tensioni: N/mm^2
- per le accelerazioni: m/sec^2

4 MATERIALI

4.1 CALCESTRUZZO

4.1.1 CALCESTRUZZO PER OPERE DI SOTTOFONDAZIONE

Per le opere di sottofondazione è stato previsto un calcestruzzo con classe di resistenza **C12/15** e classe di esposizione **X0**.

Tale calcestruzzo non ha valenza strutturale e quindi non se ne riportano le caratteristiche meccaniche.

4.1.2 CALCESTRUZZO PER OPERE DI FONDAZIONE (UNI 11104-2016)

Per le opere di fondazione (trave a cuscino) è stato previsto un calcestruzzo con classe di resistenza **C28/35** con le seguenti caratteristiche meccaniche:

	FOGLIO DI CALCOLO NUMERO:	CA-07 --> REV 02			
	TITOLO:	CARATTERISTICHE MECCANICHE DEL CALCESTRUZZO			
	VERSIONE:	REVISIONE N.02 DEL 06/10/2017			
	REALIZZATO DA:	ING. NICOLA LIGAS			
	VERIFICATO DA:	ING. VALERIO BAJETTI			
CARATTERISTICHE MECCANICHE DEI CALCESTRUZZI AI SENSI DEL D.M. 14.01.2008					
CLASSE DI RESISTENZA					C28/35
DESCRIZIONE CARATTERISTICA	FORMULA DI CALCOLO	RIF. CAP. NORMA	VALORE DI APPLICAZIONE		
Resistenza caratteristica cubica a compressione			R _{ck}	35,00	[N/mm ²]
Resistenza caratteristica cilindrica a compressione	[0,83*R _{ck}]	11.2.10.1	f _{ck}	29,05	[N/mm ²]
Resistenza cilindrica media a compressione a 28 gg	[f _{ck} +8]	11.2.10.1	f _{cm}	37,05	[N/mm ²]
Resistenza di calcolo a compressione	[acc*f _{ck} /γ _c]	4.1.2.1.1.1	f _{cd}	16,46	[N/mm ²]
Resistenza media a trazione	[0,30*f _{ck} ^{2/3}]	11.2.10.2	f _{ctm}	2,83	[N/mm ²]
Resistenza caratteristica a trazione	[0,70*f _{ctm}]	11.2.10.2	f _{ctk}	1,98	[N/mm ²]
Resistenza di calcolo a trazione	[f _{ctk} /1,5]	4.1.2.1.1.2	f _{ctd}	1,32	[N/mm ²]
Tensione massima di compressione del cls in esercizio (rara)	[0,60*f _{ck}]	4.1.2.2.5.1	σ _{c max}	17,43	[N/mm ²]
Tensione massima di compressione del cls in esercizio (quasi perm)	[0,45*f _{ck}]	4.1.2.2.5.1	σ _{c max}	13,07	[N/mm ²]
Modulo elastico istantaneo	[E _c =E _{cm}]	C4.1.2.2.5	E _c	32 588,11	[N/mm ²]
Modulo elastico medio	[22.000*(f _{cm} /10) ^{0,3}]	11.2.10.3	E _{cm}	32 588,11	[N/mm ²]

- Classe di esposizione: **XC2**
- Classe di consistenza: **S4**
- Rapporto minimo acqua / cemento: **0,60**
- Contenuto minimo di cemento: **300 kg/mc**
- Diametro massimo degli inerti: **30 mm**
- Copriferro netto minimo: **40 mm**

4.1.3 CALCESTRUZZO PER OPERE IN ELEVAZIONE (UNI 11104-2016)

Per le opere in elevazione (paraghiaia, muri laterali posteriori e baggioli di appoggio) è stato previsto un calcestruzzo con classe di resistenza **C32/40** con le seguenti caratteristiche meccaniche:

	FOGLIO DI CALCOLO NUMERO:	CA-07 --> REV 02			
	TITOLO:	CARATTERISTICHE MECCANICHE DEL CALCESTRUZZO			
	VERSIONE:	REVISIONE N.02 DEL 06/10/2017			
	REALIZZATO DA:	ING. NICOLA LIGAS			
	VERIFICATO DA:	ING. VALERIO BAJETTI			
CARATTERISTICHE MECCANICHE DEI CALCESTRUZZI AI SENSI DEL D.M. 14.01.2008					
CLASSE DI RESISTENZA					C32/40 ▼
DESCRIZIONE CARATTERISTICA		FORMULA DI CALCOLO	RIF. CAP. NORMA	VALORE DI APPLICAZIONE	
Resistenza caratteristica cubica a compressione				R_{ck}	40,00 [N/mm ²]
Resistenza caratteristica cilindrica a compressione		$[0,83 \cdot R_{ck}]$	11.2.10.1	f_{ck}	33,20 [N/mm ²]
Resistenza cilindrica media a compressione a 28 gg		$[f_{ck}+8]$	11.2.10.1	f_{cm}	41,20 [N/mm ²]
Resistenza di calcolo a compressione		$[acc \cdot f_{ck} / \gamma_c]$	4.1.2.1.1.1	f_{cd}	18,81 [N/mm ²]
Resistenza media a trazione		$[0,30 \cdot f_{ck}^{2/3}]$	11.2.10.2	f_{ctm}	3,10 [N/mm ²]
Resistenza caratteristica a trazione		$[0,70 \cdot f_{ctm}]$	11.2.10.2	f_{ctk}	2,17 [N/mm ²]
Resistenza di calcolo a trazione		$[f_{ctk} / 1,5]$	4.1.2.1.1.2	f_{ctd}	1,45 [N/mm ²]
Tensione massima di compressione del cls in esercizio (rara)		$[0,60 \cdot f_{ck}]$	4.1.2.2.5.1	$\sigma_{c \max}$	19,92 [N/mm ²]
Tensione massima di compressione del cls in esercizio (quasi perm)		$[0,45 \cdot f_{ck}]$	4.1.2.2.5.1	$\sigma_{c \max}$	14,94 [N/mm ²]
Modulo elastico istantaneo		$[E_c = E_{cm}]$	C4.1.2.2.5	E_c	33.642,78 [N/mm ²]
Modulo elastico medio		$[22.000 \cdot (f_{cm} / 10)^{0,3}]$	11.2.10.3	E_{cm}	33.642,78 [N/mm ²]

- Classe di esposizione: **XF4**
- Classe di consistenza: **S4**
- Rapporto minimo acqua / cemento: **0,45**
- Contenuto minimo di cemento: **360 kg/mc**
- Contenuto minimo in aria: **4,0%**
- Diametro massimo degli inerti: **30 mm**
- Copriferro netto minimo: **40 mm**

4.2 ACCIAIO

4.2.1 ACCIAIO PER ARMATURA LENTA

Per le armature lente è stato previsto un acciaio del tipo **B450C**, con le seguenti caratteristiche meccaniche:

- $f_{t,k}$ = 540,00 N/mm² (resistenza caratteristica a rottura)
- $f_{y,k}$ = 450,00 N/mm² (tensione caratteristica di snervamento)
- $f_{y,d}$ = 391,30 N/mm² (tensione di snervamento di calcolo – $\gamma_s=1,15$)
- E_s = 210.000,00 N/mm² (modulo elastico istantaneo)

5 ZONIZZAZIONE E CARATTERIZZAZIONE SISMICA

La stima dei parametri spettrali necessari per la definizione dell'azione sismica è stata effettuata utilizzando le informazioni disponibili nel reticolo di riferimento (tabella 1 – Allegato B – D.M. 14 gennaio 2008).



Considerando l'ubicazione del sito in oggetto (**Lat: 45.182301; Long: 9.625999**) ed ipotizzando una costruzione caratterizzata da:

- una vita nominale di 50 anni, ricadente in classe d'uso pari a IV (ponti di importanza critica per il mantenimento delle vie di comunicazione...);
- una categoria topografica T1;
- una categoria C per il sottosuolo;

Si hanno i seguenti valori dei **parametri spettrali**:

STATO LIMITE	T_R [anni]	a_g [g]	F_0 [-]	T_C^* [s]
SLO	60	0.0369	2.573	0.223
SLD	101	0.0449	2.541	0.256
SLV	949	0.0974	2.555	0.297
SLC	1950	0.1230	2.545	0.305

Le espressioni dello spettro elastico S_e di risposta secondo le NTC-08 sono le seguenti:

$$0 \leq T < T_B \quad S_e(T) = a_g \cdot S \cdot \eta \cdot F_0 \cdot \left[\frac{T}{T_B} + \frac{1}{\eta \cdot F_0} \left(1 - \frac{T}{T_B} \right) \right]$$

$$T_B \leq T < T_C \quad S_e(T) = a_g \cdot S \cdot \eta \cdot F_0$$

$$T_C \leq T < T_D \quad S_e(T) = a_g \cdot S \cdot \eta \cdot F_0 \cdot \left(\frac{T_C}{T} \right)$$

$$T_D \leq T \quad S_e(T) = a_g \cdot S \cdot \eta \cdot F_0 \cdot \left(\frac{T_C T_D}{T^2} \right)$$

Trattandosi di struttura sismicamente isolata si assume:

- coefficiente di smorzamento viscoso convenzionale: $\xi = 5 \%$

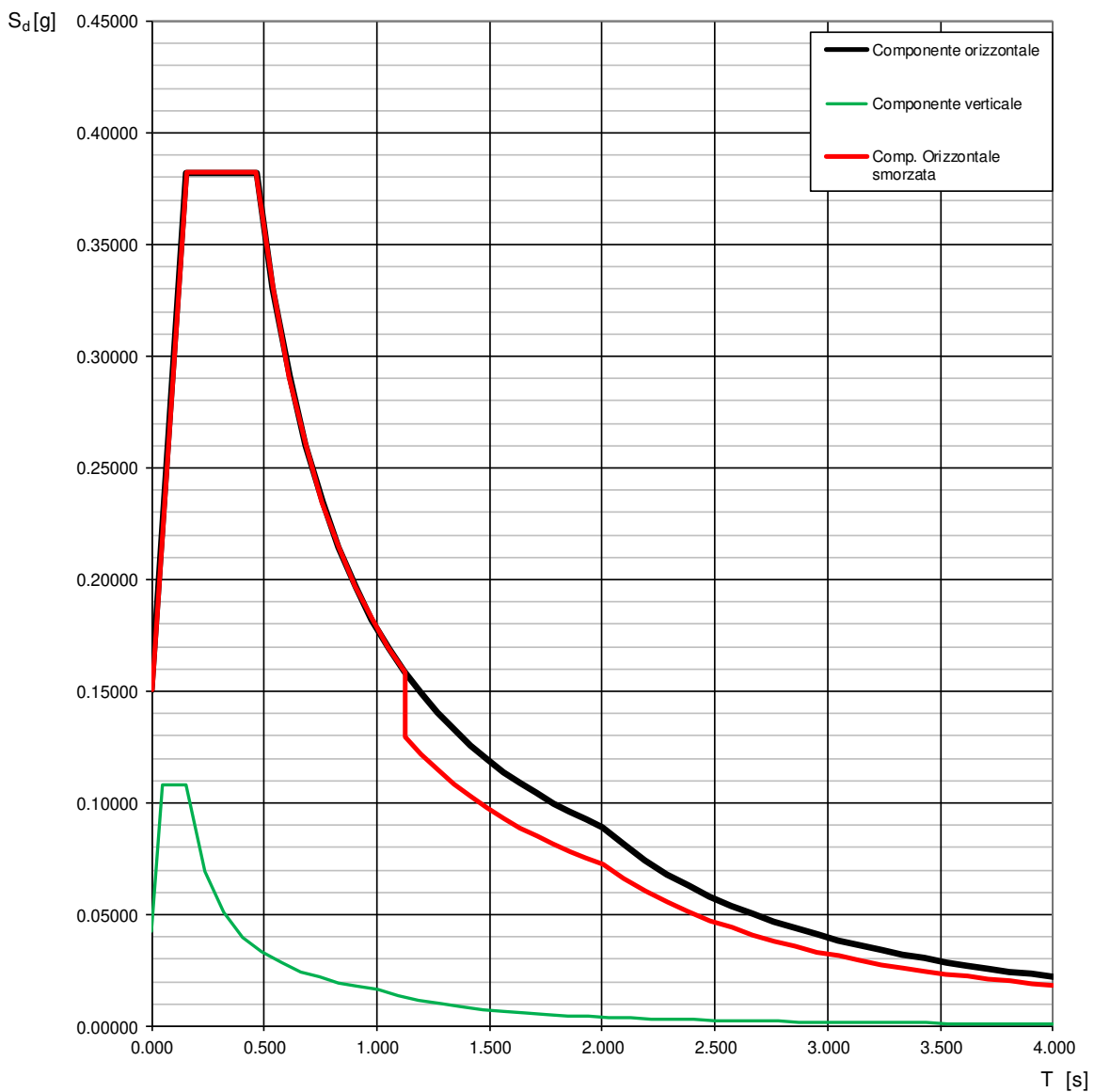
- fattore di smorzamento viscoso: $\eta = \sqrt{\frac{10}{5 + \xi}} = 1$
- fattore di struttura: $q = 1$

Lo spettro elastico definito viene ridotto per tutto il campo di periodi $T \geq 0,8T_{is}$, assumendo:

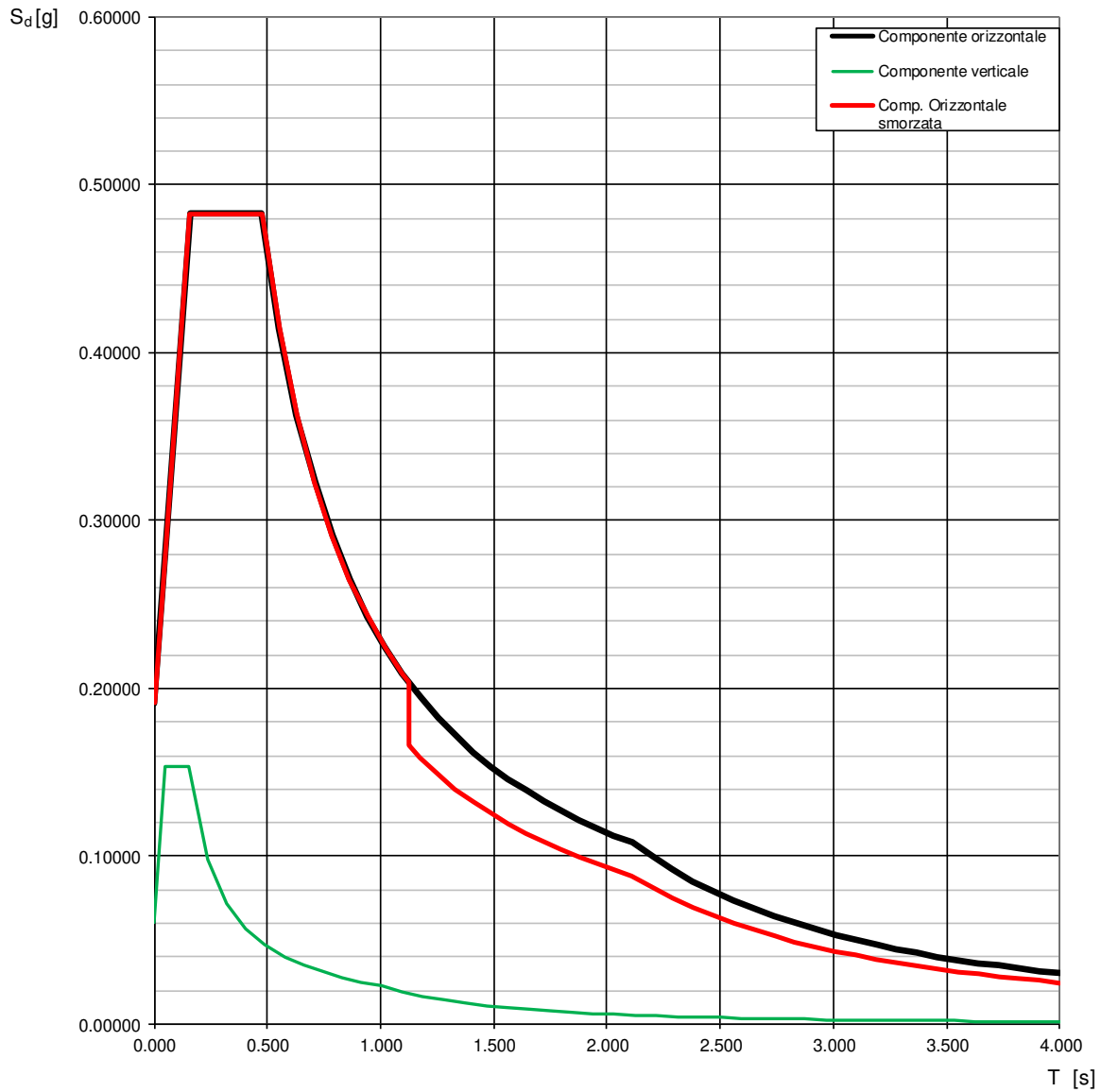
- periodo di vibrazione struttura isolata: $T_{is} = 1.404$ s
- coefficiente di smorzamento viscoso isolatori: $\xi = 10\%$
- coefficiente riduttivo $\eta = \sqrt{\frac{10}{5 + \xi}} = \sqrt{\frac{10}{5 + 10}} = 0.816$ (≥ 0.55).

Si ottengono i seguenti andamenti degli spettri. Noto il periodo (ascissa) si ricava il relativo coefficiente sismico (ordinata).

Spettri di risposta elastici (componenti orizz. e vert.) per lo stato limite: SLV



Spettri di risposta elastici (componenti orizz. e vert.) per lo stato limite: **SLC**



6 ANALISI DEI CARICHI

6.1 PESO PROPRIO DEGLI ELEMENTI IN CEMENTO ARMATO

Il peso per unità di volume del calcestruzzo armato è assunto pari a **25,00 kN/m³**.

Il peso degli elementi costituenti le spalle è definito nel seguito all'interno degli specifici paragrafi di valutazione delle azioni sollecitanti.

6.2 AZIONI TRASMESSE DALL'IMPALCATO

Per l'analisi dei carichi agenti sull'impalcato in fase statica e sismica si rimanda alla *Relazione di calcolo impalcato* (elaborato **HE02-P00VI02STRRE02_A**).

6.3 SPINTA DEL TERRENO A TERGO DELLE SPALLE

La spinta del terreno a tergo delle opere è stata valutata considerando una condizione di riposo del terreno stesso.

La spinta del terreno viene pertanto valutata mediante la seguente relazione:

$$S_T = \frac{1}{2} \cdot \gamma \cdot k_0 \cdot H^2$$

dove:

- γ è il peso per unità di volume del terreno
- k_0 è il coefficiente di spinta a riposo, valutato mediante la formulazione di Coulomb:

$$k_0 = 1 - \text{sen}(\varphi)$$

con:

- φ = angolo di attrito interno
- H è l'altezza complessiva dello strato di terreno.

Il punto di applicazione della spinta è posto a 1/3 dell'altezza del singolo strato di terreno.

6.4 SPINTA DOVUTA AI SOVRACCARICHI A TERGO DELLE SPALLE

La spinta dei sovraccarichi a tergo delle opere è stata valutata considerando una condizione di riposo del terreno.

La spinta dovuta ai sovraccarichi viene valutata mediante la seguente relazione:

$$S_q = q \cdot k_0 \cdot H$$

dove:

- q è l'entità del sovraccarico agente

Il sovraccarico permanente a tergo del muro è stato considerato pari al **peso della pavimentazione stradale**.

Il sovraccarico accidentale del traffico viene valutato secondo lo schema n. 1 riportato nel D.M. 14.01.2008 "Nuove Norme Tecniche per le Costruzioni", par. 5.1.3.3.3 e 5.1.3.3.5.

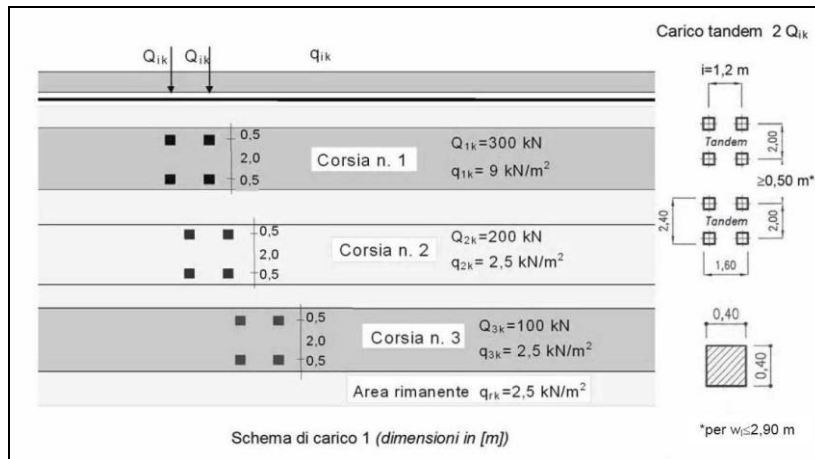
Per i muri direttamente a contatto con la piattaforma stradale verranno presi in considerazione carichi accidentali dovuti alla presenza di traffico stradale.

Verranno presi in esame in tal senso i carichi relativi esclusivamente alla prima corsia convenzionale

- 1^a corsia convenzionale

$Q_{1a} = 2 \times 300$ kN disposti come in figura

$q_{1a} = 9,00$ kN/m²



La diffusione del carico concentrato in corrispondenza dell'estradosso della soletta superiore vale:
Per la valutazione della spinta totale diffusa viene utilizzata la seguente relazione:

$$S = \frac{h}{6} \cdot [\sigma \cdot (2 \cdot b + \bar{b}) + \bar{\sigma} \cdot (b + 2 \cdot \bar{b})]$$

La larghezza di diffusione è valutata secondo la seguente relazione:

$$b_{eff} = \frac{1}{6} \cdot (b + \bar{b} + 2 \cdot h)$$

Il punto di applicazione della spinta dovute ai sovraccarichi è posto a 1/2 dell'altezza dell'elemento strutturale soggetto al sovraccarico.

6.5 AZIONE SISMICA

Le sollecitazioni agenti sulla struttura in fase sismica vengono determinate attraverso un'analisi pseudo-statica, secondo quanto riportato nel DM 14.01.2008 "Nuove norme tecniche per le costruzioni", paragrafo 7.11.6.

6.5.1 AZIONE INERZIALE DELLE MASSE

Le azioni inerziali, orizzontali e verticali, dovute alle accelerazioni subite in fase sismica dalle masse degli elementi strutturali e del terreno vengono valutate moltiplicando il peso sismico degli elementi strutturali per i coefficienti sismici orizzontale k_h e verticale k_v .

6.5.2 SOVRASPINTA DINAMICA DEI TERRENI

La sovraspinta dinamica dei terreni in fase sismica viene valutata mediante la relazione di Wood:

$$\Delta P = \gamma \cdot a_g \cdot S \cdot H^2$$

dove:

- γ è il peso per unità di volume del terreno
- H è l'altezza della struttura soggetta alla spinta del terreno

7 COMBINAZIONI DI CARICO

Per la definizione delle combinazioni di carico statiche e simiche utilizzate per il dimensionamento e la verifica delle sottostrutture si rimanda alla *Relazione di calcolo impalcato* (elaborato **HE02-P00VI04STRRE02_A**).

8 SPALLE (TRAVI A CUSCINO)

Le azioni sollecitanti e le verifiche strutturali sono state condotte in corrispondenza della spalla maggiormente sollecitata, che è risultata la **Spalla 2**.

8.1 SEZIONE DI SPICCATO DEL PARAGHIAIA - VALUTAZIONE DELLE AZIONI SOLLECITANTI

8.1.1 DATI DI INPUT

La valutazione delle azioni sollecitanti è stata eseguita, a favore di sicurezza, in corrispondenza dell'altezza massima del paraghiaia, che è risultata pari a **220 cm**.

AZIONI VERTICALI PROVENIENTI DALLA SPALLA

PARAGHIAIA

spessore	b_{L0}	0,40	[m]
altezza	h_0	2,20	[m]
lunghezza	b_{T0}	1,00	[m]
peso	W_0	22,00	[kN]

TERRENO DI RINTERRO

peso per unità di volume	γ	20,00	[kN/m ³]
larghezza porzione superiore	$b_{Lr,s}$	0,00	[m]
lunghezza porzione superiore	$b_{Tr,s}$	1,00	[m]
altezza porzione superiore	$h_{z,s}$	2,20	[m]
peso	W_r	0,00	[kN]

SOVRACCARICHI ESTERNI

SOVRACCARICHI PERMANENTI PORTATI

peso della pavimentazione per unità di superficie	s_{DD}	2,20	[kN/m ²]
---	----------	------	----------------------

SOVRACCARICHI ACCIDENTALI

carico concentrato da traffico	Q_{1k}	600,00	[kN]
carico distribuito da traffico	q_{1k}	9,00	[kN/m ²]
lunghezza dell'area di impronta del carico concentrato	a_0	3,00	[m]
larghezza dell'area di impronta del carico concentrato	b_0	2,20	[m]
angolo di ripartizione verticale del carico concentrato	α	30,00	[°]
lunghezza dell'area di impronta ripartita alla base del paraghiaia	a_1	5,54	[m]
larghezza dell'area di impronta ripartita alla base del paraghiaia	b_1	3,47	[m]
pressione verticale esercitata dal sovraccarico concentrato in testa al paraghiaia	σ_0	99,91	[kN/m ²]
pressione verticale esercitata dal sovraccarico concentrato alla base del paraghiaia	σ_1	40,21	[kN/m ²]
larghezza efficace di ripartizione dei sovraccarichi accidentali:	b_{eff}	6,47	[m]

FRENATURA SUL PARAGHIAIA

carico concentrato da traffico (semiasse)	Q_{1k}	300,00	[kN]
carico distribuito da traffico	q_{1k}	9,00	[kN/m ²]
larghezza della corsia convenzionale	w_1	3,00	[m]
lunghezza dell'impalcato	L	100,00	[m]
azione orizzontale della frenatura	F	630,00	[kN]
azione normale di frenatura ripartita alla base del paraghiaia (45°)	$N_{F,rip}$	40,54	[kN]
azione orizzontale di frenatura ripartita alla base del paraghiaia (45°)	$H_{F,rip}$	85,14	[kN]
momento flettente di frenatura ripartito alla base del paraghiaia (45°)	$M_{F,rip}$	187,30	[kNm]

AZIONI ORIZZONTALI PROVENIENTI DALLA SPALLA

SPINTA DEL CUNEO DI TERRENO

parametri geotecnici		M1	M2	
coefficiente parziale di sicurezza	$\gamma_{\phi'}$	1,00	1,25	
angolo di attrito del terreno - valore caratteristico	ϕ'_k	37,00	37,00	[°]
angolo di attrito del terreno - valore di progetto	ϕ'_d	37,00	31,08	[°]
angolo di attrito terreno - parete	δ	24,67	20,72	[°]
coefficiente di spinta a riposo	k_0	0,398	0,484	
componente orizzontale del coefficiente di spinta a riposo	k_{0h}	0,362	0,452	
altezza di terreno non spingente	h	0,00	0,00	[m]
spinta orizzontale terreno	S_z	17,51	21,90	[kN]
momento terreno base paraghiaia	M_{Tz}	12,84	16,06	[kNm]

SOVRACCARICHI PERMANENTI PORTATI

parametri geotecnici		M1	M2	
carico uniformemente distribuito per unità di superficie	q	2,20	2,20	[kN/m ²]
spinta orizzontale carichi permanenti portati	S _z	1,75	2,19	[kN]
momento carichi permanenti portati base paraghiaia	M _{Trz}	1,93	2,41	[kNm]

SOVRACCARICHI PERMANENTI PORTATI

parametri geotecnici		M1	M2	
spinta orizzontale carichi permanenti portati	S _z	42,42	53,03	[kN]
momento carichi permanenti portati base paraghiaia	M _{Trz}	48,40	60,51	[kNm]

AZIONE SISMICA

PARAMETRI DI ANALISI

coefficiente sismico orizzontale	k _h	0,151
coefficiente sismico verticale	k _v	0,075

PARAGHIAIA

peso	W _p	22,00	[kN]
azione sismica	F _L	3,31	[kN]
momento base paraghiaia	M _{Trz}	3,64	[kNm]

TERRENO DI RINTERRO

peso	W _m	0,00	[kN]
azione sismica	F _L	0,00	[kN]
momento base paraghiaia	M _{Trz}	0,00	[kNm]

CUNEO DI TERRENO

metodo di analisi		WOOD	
sovraspinta dinamica del terreno	S _z	14,57	[kN]
eccentricità rispetto alla base del paraghiaia	e _{vz}	1,10	[m]
momento base paraghiaia	M _{Trz}	16,03	[kNm]

8.1.2 RIEPILOGO DEI VALORI CARATTERISTICI DELLE AZIONI SOLLECITANTI

RIEPILOGO AZIONI SOLLECITANTI - VALORI CARATTERISTICI (M1)

AZIONE		N [kN]	V _L [kN]	M _T [kNm]
peso proprio paraghiaia	g ₁	22,00	0,00	0,00
spinta del terreno	g ₂	0,00	17,51	12,84
spinta dei sovraccarichi permanenti	g ₃	0,00	1,75	1,93
spinta sovraccarichi variabili	q ₁	0,00	42,42	48,40
frenatura/accelerazione	f	40,54	40,54	187,30
sisma longitudinale	e _L	0,00	17,88	19,67

RIEPILOGO AZIONI SOLLECITANTI - VALORI CARATTERISTICI (M2)

AZIONE		N [kN]	V _L [kN]	M _T [kNm]
peso proprio spalla	g ₁	22,00	0,00	0,00
spinta del terreno	g ₂	0,00	21,90	16,06
spinta dei sovraccarichi permanenti	g ₃	0,00	2,19	2,41
spinta sovraccarichi variabili	q ₁	0,00	53,03	60,51
frenatura/accelerazione	f	40,54	40,54	187,30
sisma longitudinale	e _L	0,00	17,88	19,67

8.1.3 RIEPILOGO DEI VALORI DI CALCOLO DELLE AZIONI SOLLECITANTI

COMBINAZIONE SLE - QUASI PERMANENTE					
	γ	ψ	N [kN]	V_L [kN]	M_T [kNm]
g_1	1,00	1,00	22,00	0,00	0,00
g_2	1,00	1,00	0,00	17,51	12,84
g_3	1,00	1,00	0,00	1,75	1,93
q_1	0,00	0,00	0,00	0,00	0,00
f	1,00	0,00	0,00	0,00	0,00
e_L	0,00	0,00	0,00	0,00	0,00
			22,00	19,26	14,77

COMBINAZIONE SLE - FREQUENTE					
	γ	ψ	N [kN]	V_L [kN]	M_T [kNm]
g_1	1,00	1,00	22,00	0,00	0,00
g_2	1,00	1,00	0,00	17,51	12,84
g_3	1,00	1,00	0,00	1,75	1,93
q_1	1,00	0,75	0,00	31,81	36,30
f	1,00	0,00	0,00	0,00	0,00
e_L	0,00	0,00	0,00	0,00	0,00
			22,00	51,08	51,07

COMBINAZIONE SLE - RARA 01					
	γ	ψ	N [kN]	V_L [kN]	M_T [kNm]
g_1	1,00	1,00	22,00	0,00	0,00
g_2	1,00	1,00	0,00	17,51	12,84
g_3	1,00	1,00	0,00	1,75	1,93
q_1	1,00	1,00	0,00	42,42	48,40
f	1,00	0,00	0,00	0,00	0,00
e_L	0,00	0,00	0,00	0,00	0,00
			22,00	61,68	63,17

COMBINAZIONE SLE - RARA 02					
	γ	ψ	N [kN]	V_L [kN]	M_T [kNm]
g_1	1,00	1,00	22,00	0,00	0,00
g_2	1,00	1,00	0,00	17,51	12,84
g_3	1,00	1,00	0,00	1,75	1,93
q_1	1,00	0,75	0,00	31,81	36,30
f	1,00	1,00	40,54	40,54	187,30
e_L	0,00	0,00	0,00	0,00	0,00
			62,54	91,62	238,36

COMBINAZIONE SLU - STR 01					
	γ	ψ	N [kN]	V_L [kN]	M_T [kNm]
g_1	1,35	1,00	29,70	0,00	0,00
g_2	1,35	1,00	0,00	23,64	17,34
g_3	1,35	1,00	0,00	2,36	2,60
q_1	1,35	1,00	0,00	57,26	65,33
f	1,50	0,00	0,00	0,00	0,00
e_L	0,00	0,00	0,00	0,00	0,00
			29,70	83,27	85,27

COMBINAZIONE SLU - STR 02					
	γ	ψ	N [kN]	V_L [kN]	M_T [kNm]
g_1	1,35	1,00	29,70	0,00	0,00
g_2	1,35	1,00	0,00	23,64	17,34
g_3	1,35	1,00	0,00	2,36	2,60
q_1	1,35	0,75	0,00	42,95	49,00
f	1,50	1,00	60,81	60,81	280,95
e_L	0,00	0,00	0,00	0,00	0,00
			90,51	129,77	349,89

COMBINAZIONE SLU - SISMA 01					
	γ	ψ	N [kN]	V_L [kN]	M_T [kNm]
g_1	1,00	1,00	22,00	0,00	0,00
g_2	1,00	1,00	0,00	17,51	12,84
g_3	1,00	1,00	0,00	1,75	1,93
q_1	0,00	0,00	0,00	0,00	0,00
f	0,00	0,00	0,00	0,00	0,00
e_L	1,00	1,00	0,00	17,88	19,67
			22,00	37,14	34,44

8.2 SEZIONE DI SPICCATO DEL PARAGHIAIA – VERIFICHE STRUTTURALI

8.2.1 SEZIONE E ARMATURA DI VERIFICA

La sezione di verifica è rettangolare con base pari a **100 cm** (striscia di larghezza unitaria) e altezza pari a **40 cm**.

L'armatura verticale (armatura di forza) è costituita da:

- **Ø20/10** lato interno (lato terreno)
- **Ø16/20** lato esterno (lato impalcato)

L'armatura orizzontale di ripartizione è costituita da:

- **Ø16/20** lato interno (lato terreno)
- **Ø16/20** lato esterno (lato impalcato)

Non è prevista alcuna specifica armatura a taglio. Vengono tuttavia disposte legature trasversali costituite da spille **Ø12/40x40**. Il copriferro netto minimo è assunto pari a **40 mm**.

Trattandosi di impalcato isolati sismicamente le sottostrutture sono state dimensionate adottando uno spettro di risposta elastico ($q = 1,00$). Secondo quanto previsto dal D.M. 14.01.2008 – Paragrafo 7.9.6.2 non risulta necessario disporre specifiche armature atte a garantire la duttilità dell'elemento strutturale né a rispettare i limiti dimensionali previsti per tale tipologia di armatura.

Analogamente le limitazioni dimensionali e di armatura verranno definite in relazione a quanto previsto dal D.M. 14.01.2008 – Paragrafo 4.1.6.1.2.

A favore di sicurezza, per la verifica delle limitazioni dimensionali e di armatura, non è stato tenuto conto di:

- Azione verticale di compressione sulla sezione
- Presenza delle spille Ø12/40x40 (parallele all'asse dell'impalcato) che consentono un incremento del valore di taglio "trazione" e dell'effetto di confinamento sul calcestruzzo

SETTO IN CEMENTO ARMATO - VERIFICA DELLE LIMITAZIONI DI ARMATURA
D.M. 14.01.2008 - Paragrafo 4.1.6.1.2

CARATTERISTICHE DEI MATERIALI

Classe di resistenza del calcestruzzo:		<input type="text" value="C32/40"/>	▼
Tipologia dell'acciaio:		<input type="text" value="B450C"/>	▼
Resistenza di calcolo dell'acciaio:	f_{yd}	391,30	[N/mm ²]

CARATTERISTICHE GEOMETRICHE DEL SETTO

Base della sezione del setto:	b_t	2.580,00	[cm]
Altezza della sezione del setto:	h	40,00	[cm]
Copriferro netto	c	4,00	[cm]
Numero di barre sul lato interno del setto (armature di forza):	$n_{bl,max}$	258	
Diametro delle barre sul lato interno del setto (armature di forza):	$\varnothing_{bl,max}$	20	[mm]
Numero di barre sul lato esterno del setto:	$n_{bl,min}$	129	
Diametro delle barre sul lato esterno del setto:	$\varnothing_{bl,min}$	16	[mm]
Area dell'armatura longitudinale:	A_s	2.138,820	[cm ²]
Rapporto geometrico di armatura:	ρ	0,021	
Azione normale di compressione minima sul pilastro:	N_{ed}	0,00	[kN]
Numero di bracci delle armature trasversali:	n_w	2	
Diametro delle armature trasversali:	\varnothing_w	16	[mm]
Passo delle armature trasversali:	i_w	20,00	[cm]
Area delle armature trasversali:	A_w	20,10	[cm ² /m]

VERIFICHE DIMENSIONALI - D.M. 14.01.2008 - par. 4.1.6.1.2

$A_s \geq A_{s,min} = \max[0,10 \cdot N_{ed}/f_{yd}; 0,003 \cdot A_c]$	→	2.138,82	≥	309,60	POSITIVA
$\varnothing_w \geq 6 \text{ mm}$	→	16	≥	6	POSITIVA
$\varnothing_w \geq 1/4 \cdot \max[\varnothing_b]$	→	16	≥	7,50	POSITIVA
$i_w \leq 12 \cdot \min[\varnothing_b]$	→	200,00	≤	240,00	POSITIVA
$i_w \leq 250 \text{ mm}$	→	200,00	≤	250,00	POSITIVA

8.2.2 VERIFICA ALLO STATO LIMITE DI LIMITAZIONE DELLE TENSIONI – COMBINAZIONE QUASI PERMANENTE

L'azione normale di calcolo è assunta pari a $N_{Sd} = 22,00$ kN.

Il momento flettente di calcolo è assunto pari a $M_{Sd} = 14,77$ kNm.

Verifica C.A. S.L.U. - File

File Materiali Opzioni Visualizza Progetto Sez. Rett. Sismica Normativa: NTC 2008

TITOLO :

N° strati barre 2 Zoom

N°	b [cm]	h [cm]	N°	As [cm²]	d [cm]
1	100	40	1	10,05	6
			2	31,42	33,8

Tipo Sezione
 Rettan.re Trapezi
 a T Circolare
 Rettangoli Coord.

Sollecitazioni
 S.L.U. Metodo n
 N Ed 0 22 kN
 M xEd 0 14,77 kNm
 M yEd 0 0

P.to applicazione N
 Centro Baricentro cls
 Coord.[cm] xN 0 yN 0

Metodo di calcolo
 S.L.U. S.L.U.
 Metodo n

Materiali
 B450C C32/40
 E_{cu} 67,5 % E_{c2} 2 %
 f_{yd} 391,3 N/mm² E_{cu} 3,5
 E_s 200.000 N/mm² f_{cd} 18,81
 E_s/E_c 15 f_{cc}/f_{cd} 0,8
 E_{syd} 1,957 % σ_{c,adm} 12,25
 σ_{s,adm} 255 N/mm² τ_{co} 0,7333
 τ_{c1} 2,114

σ_c -0,721 N/mm²
 σ_s 12,84 N/mm²
 ε_s 0,06421 %
 d 33,8 cm
 x 15,45 x/d 0,4572
 δ 1

Verifica N° iterazioni: 4

Precompresso

Le tensioni sui materiali risultano pari a:

- $\sigma_c = 0,72 \text{ N/mm}^2 < 0,45 \cdot f_{ck} = 14,94 \text{ N/mm}^2$
- $\sigma_s = 12,84 \text{ N/mm}^2 < 0,80 \cdot f_{yk} = 360,00 \text{ N/mm}^2$

La verifica risulta pertanto soddisfatta.

8.2.3 VERIFICA ALLO STATO LIMITE DI LIMITAZIONE DELLE TENSIONI – COMBINAZIONE FREQUENTE

L'azione normale di calcolo è assunta pari a $N_{Sd} = 22,00$ kN.

Il momento flettente di calcolo è assunto pari a $M_{Sd} = 51,07$ kNm.

Verifica C.A. S.L.U. - File

File Materiali Opzioni Visualizza Progetto Sez. Rett. Sismica Normativa: NTC 2008

TITOLO :

N° strati barre 2 Zoom

N°	b [cm]	h [cm]	N°	As [cm²]	d [cm]
1	100	40	1	10,05	6
			2	31,42	33,8

Tipo Sezione
 Rettan.re Trapezi
 a T Circolare
 Rettangoli Coord.

Sollecitazioni
 S.L.U. Metodo n
 N Ed 0 22 kN
 M xEd 0 51,07 kNm
 M yEd 0 0

P.to applicazione N
 Centro Baricentro cls
 Coord.[cm] xN 0 yN 0

Metodo di calcolo
 S.L.U. S.L.U.
 Metodo n

Materiali
 B450C C32/40
 E_{cu} 67,5 % E_{c2} 2 %
 f_{yd} 391,3 N/mm² E_{cu} 3,5
 E_s 200.000 N/mm² f_{cd} 18,81
 E_s/E_c 15 f_{cc}/f_{cd} 0,8
 E_{syd} 1,957 % σ_{c,adm} 12,25
 σ_{s,adm} 255 N/mm² τ_{co} 0,7333
 τ_{c1} 2,114

σ_c -2,404 N/mm²
 σ_s 52,28 N/mm²
 ε_s 0,2614 %
 d 33,8 cm
 x 13,8 x/d 0,4081
 δ 0,9502

Verifica N° iterazioni: 4

Precompresso

Le tensioni sui materiali risultano pari a:

- $\sigma_c = 2,40 \text{ N/mm}^2 < 0,45 \cdot f_{ck} = 14,94 \text{ N/mm}^2$
- $\sigma_s = 52,28 \text{ N/mm}^2 < 0,80 \cdot f_{yk} = 360,00 \text{ N/mm}^2$

La verifica risulta pertanto soddisfatta.

8.2.4 VERIFICA ALLO STATO LIMITE DI LIMITAZIONE DELLE TENSIONI – COMBINAZIONE RARA

L'azione normale di calcolo è assunta pari a $N_{sd} = 62,54$ kN.

Il momento flettente di calcolo è assunto pari a $M_{sd} = 238,36$ kNm.

The screenshot shows the 'Verifica C.A. S.L.U.' software interface. It includes a menu bar (File, Materiali, Opzioni, Visualizza, Progetto Sez. Rett., Sismica, Normativa: NTC 2008), a title bar, and several input panels. The 'Materiali' panel shows properties for B450C and C32/40. The 'Sollecitazioni' panel shows applied loads: $N_{Ed} = 62,54$ kN and $M_{Ed} = 238,36$ kNm. The 'P.to applicazione N' panel shows the load is applied at the center. The 'Metodo di calcolo' panel shows 'Metodo n' is selected. The 'Verifica' panel shows the results: $\sigma_c = 11,14$ N/mm² and $\sigma_s = 250$ N/mm². A 'Verifica' button and 'N* iterazioni: 4' are also visible.

Le tensioni sui materiali risultano pari a:

- $\sigma_c = 11,14$ N/mm² < $0,60 \cdot f_{ck} = 19,92$ N/mm²
- $\sigma_s = 250,00$ N/mm² < $0,80 \cdot f_{yk} = 360,00$ N/mm²

La verifica risulta pertanto soddisfatta.

8.2.5 VERIFICA ALLO STATO LIMITE DI FESSURAZIONE

La verifica semplificata allo SL di fessurazione viene condotta secondo quanto previsto dalla Circolare C.S.LL.PP. n.617 del 02.02.2009, par. C4.1.2.2.4.6, tab. C4.1.II e C4.1.III.

TABELLA C4.1.II - Diametri massimi delle barre per il controllo di fessurazione			
Tensione nell'acciaio σ_s [N/mm ²]	Diametro massimo \varnothing delle barre [mm]		
	$w_3 = 0,40$ mm	$w_2 = 0,30$ mm	$w_1 = 0,20$ mm
160	40	32	25
200	32	25	16
240	20	16	12
280	16	12	8
320	12	10	6
360	10	8	0

TABELLA C4.1.III - Spaziatura massima delle barre per il controllo di fessurazione			
Tensione nell'acciaio σ_s [N/mm ²]	Spaziatura massima s delle barre delle barre [mm]		
	$w_3 = 0,40$ mm	$w_2 = 0,30$ mm	$w_1 = 0,20$ mm
160	300	300	200
200	300	250	150
240	250	200	100
280	200	150	50
320	150	100	0
360	100	50	0

CRITERI DI SCELTA DELLO STATO LIMITE DI FESSURAZIONE

I criteri di scelta dello Stato Limite di fessurazione sono definiti secondo quanto riportato dal D.M. 14.01.2008, par. 4.1.2.2.4.5, tab. 4.1.IV.

Condizioni ambientali: Armatura:

COMBINAZIONE ALLO S.L.E. QUASI PERMANENTE

Stato limite:	apertura fessure		
Ampiezza massima delle fessure:	$w_d \leq$	w1	
Tensione massima nell'acciaio calcolata:	$\sigma_{s,max}$	12,84	[N/mm ²]
Diametro massimo delle barre di armature poste in opera:	\varnothing_{max}	20	[mm]
Spaziatura massima delle barre di armatura poste in opera:	s_{max}	100,00	[mm]
Diametro massimo delle barre di armatura consentito:	\varnothing_{max}	25,00	[mm]
Spaziatura massima delle barre di armatura consentita:	s_{max}	200,00	[mm]

VERIFICA POSITIVA

COMBINAZIONE ALLO S.L.E. FREQUENTE

Stato limite:	apertura fessure		
Ampiezza massima delle fessure:	$w_d \leq$	w2	
Tensione massima nell'acciaio calcolata:	$\sigma_{s,max}$	52,58	[N/mm ²]
Diametro massimo delle barre di armature poste in opera:	\varnothing_{max}	20	[mm]
Spaziatura massima delle barre di armatura poste in opera:	s_{max}	100,00	[mm]
Diametro massimo delle barre di armatura consentito:	\varnothing_{max}	32,00	[mm]
Spaziatura massima delle barre di armatura consentita:	s_{max}	300,00	[mm]

VERIFICA POSITIVA

8.2.6 VERIFICA ALLO STATO LIMITE ULTIMO PER PRESSOFLESSIONE RETTA

L'azione normale di calcolo è assunta pari a $N_{sd} = 90,51$ kN.

Il momento flettente di calcolo è assunto pari a $M_{sd} = 349,89$ kNm.

Verifica C.A. S.L.U. - File

File Materiali Opzioni Visualizza Progetto Sez. Rett. Sismica Normativa: NTC 2008

TITOLO: _____

N° strati barre: 2 Zoom

N°	b [cm]	h [cm]	N°	As [cm²]	d [cm]
1	100	40	1	10,05	6
			2	31,42	33,8

Sollecitazioni
S.L.U. Metodo n

N_{Ed} 90,51 kN
 M_{xEd} 349,89 kNm
 M_{yEd} 0 kNm

P.to applicazione N
Centro Baricentro cls
Coord. [cm] xN 0 yN 0

Materiali
B450C C32/40
 E_{cu} 67,5 % E_{c2} 2 %
 f_{yd} 391,3 N/mm² E_{cu} 3,5 %
 E_s 200.000 N/mm² f_{cd} 18,81 %
 E_c/E_c 15 f_{cc}/f_{cd} 0,8 [?]
 E_{syd} 1,957 % $\sigma_{c,adm}$ 12,25
 $\sigma_{s,adm}$ 255 N/mm² τ_{co} 0,7333
 τ_{c1} 2,114

Metodo di calcolo
S.L.U. + S.L.U. - Metodo n

Tipo flessione
Retta Deviata

M_{xRd} 387,3 kNm
 σ_c -18,81 N/mm²
 σ_s 391,3 N/mm²
 ϵ_s 3,5 %
 ϵ_s 11,94 %
d 33,8 cm
x 7,662 x/d 0,2267
 δ 0,7234

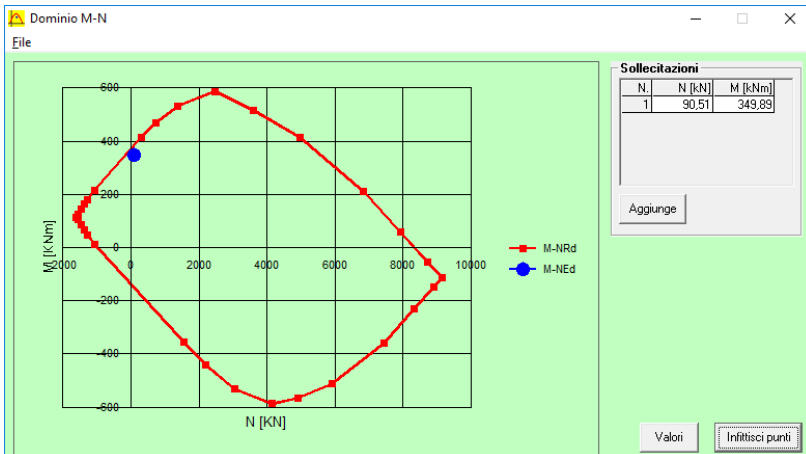
Calcola MRd Dominio M-N
L₀ 0 cm Col. modello

Precompresso

Il momento resistente risulta pari a:

$M_{sd} = 387,30$ kNm > $M_{sd} = 349,89$ kNm

Nell'immagine successiva è riportato il dominio di resistenza della sezione:



La verifica risulta pertanto soddisfatta.

8.2.7 VERIFICA ALLO STATO LIMITE ULTIMO PER TAGLIO

L'azione tagliante di calcolo è assunta pari a $V_{S,d} = 129,77$ kN.

CARATTERISTICHE GEOMETRICHE DELLA SEZIONE

Base della sezione trasversale:	b	100,00	[cm]
Altezza della sezione trasversale:	h	40,00	[cm]
Copriferro netto:	c	4,00	[cm]
Altezza utile della sezione:	d	36,00	[cm]

CARATTERISTICHE DEI MATERIALI

Classe di resistenza del calcestruzzo:	C32/40		
Resistenza caratteristica cubica a compressione:	R_{ck}	40,00	[N/mm ²]
Resistenza caratteristica cilindrica a compressione:	f_{ck}	33,20	[N/mm ²]
Resistenza di calcolo a compressione:	f_{cd}	18,81	[N/mm ²]
Tipologia dell'acciaio da armatura:	B450C		
Tensione caratteristica di rottura:	f_{tk}	540,00	[N/mm ²]
Tensione caratteristica di snervamento:	f_{yk}	450,00	[N/mm ²]
Resistenza di calcolo:	f_{yd}	391,30	[N/mm ²]

AZIONI SOLLECITANTI DI CALCOLO

Azione tagliante di calcolo:	$V_{S,d}$	129,77	[kN]
Azione normale di calcolo:	$N_{S,d}$	0,00	[kN]

ARMATURA LONGITUDINALE

	n_{barre}	\varnothing_{barre} [mm]	A_{barra} [cm ²]	$A_{s,tot}$ [cm ²]
Primo strato di armatura tesa:	10	20	3,14	31,40
Infittimento primo strato di armatura tesa:			0,00	0,00
Secondo strato di armatura tesa:			0,00	0,00
Infittimento secondo strato di armatura tesa:			0,00	0,00
AREA TOTALE DELLE BARRE DI ARMATURA TESA				31,40

VERIFICA ALLO S.L.U. PER TAGLIO

La verifica allo S.L.U. per taglio viene condotta secondo quanto previsto dal D.M. 14.01.2008, par.4.1.2.1.3.1

$$V_{R,d} = \left\{ \frac{0,18 \cdot k \cdot (100 \cdot \rho_1 \cdot f_{ck})^{1/3}}{\gamma_c} + 0,15 \cdot \sigma_{cp} \right\} \cdot b_w \cdot d \geq (v_{min} + 0,15 \cdot \sigma_{cp}) \cdot b_w \cdot d$$

Coefficiente k:	k	1,75	
Coefficiente v_{min} :	v_{min}	0,465	
Rapporto geometrico di armatura longitudinale:	ρ_1	0,0087	
Tensione media di compressione nella sezione:	σ_{cp}	0,000	[N/mm ²]
Larghezza minima della sezione:	b_w	100,00	[cm]

AZIONE TAGLIANTE RESISTENTE DELLA SEZIONE:	$V_{R,d}$	231,54	[kN]
COEFFICIENTE DI SICUREZZA:	$F_S = V_{R,d}/V_{S,d}$	1,78	

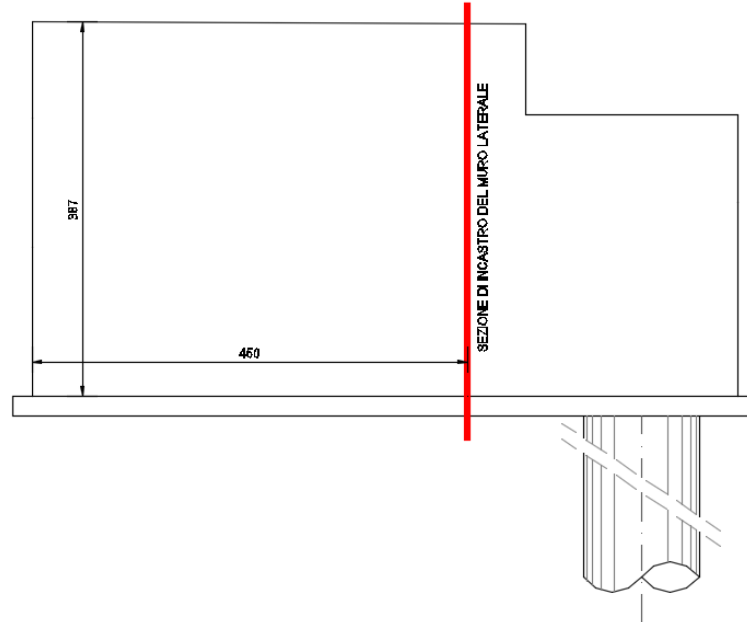
LA VERIFICA RISULTA POSITIVA

8.3 SEZIONE DI SPICCATO DEI MURI DI RISVOLTO LATERALI - VALUTAZIONE DELLE AZIONI SOLLECITANTI

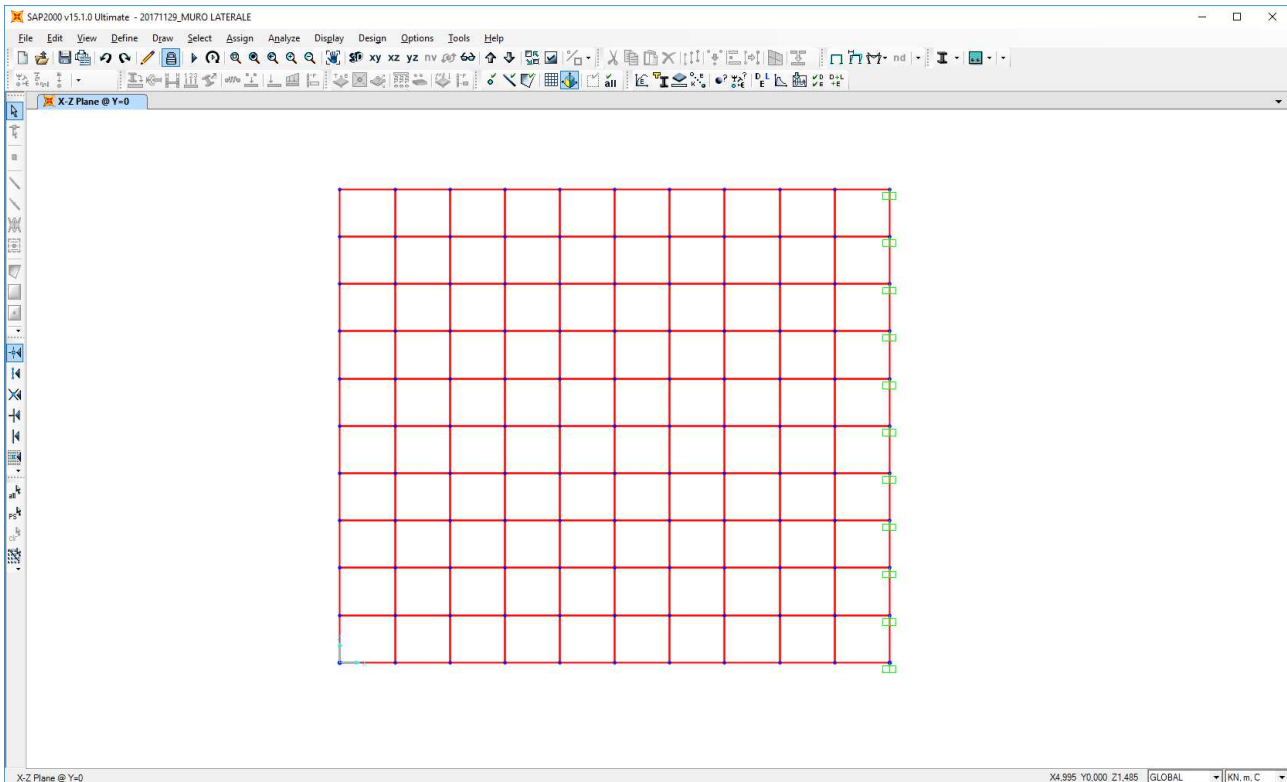
8.3.1 SCHEMA E MODELLO DI CALCOLO

Per la loro conformazione i muri di risvolto laterali presentano uno schema statico di trave a mensola in direzione orizzontale. Le armature di forza saranno costituite pertanto dalle armature orizzontali.

Nell'immagine successiva è riportato lo schema di calcolo dei muri laterali:

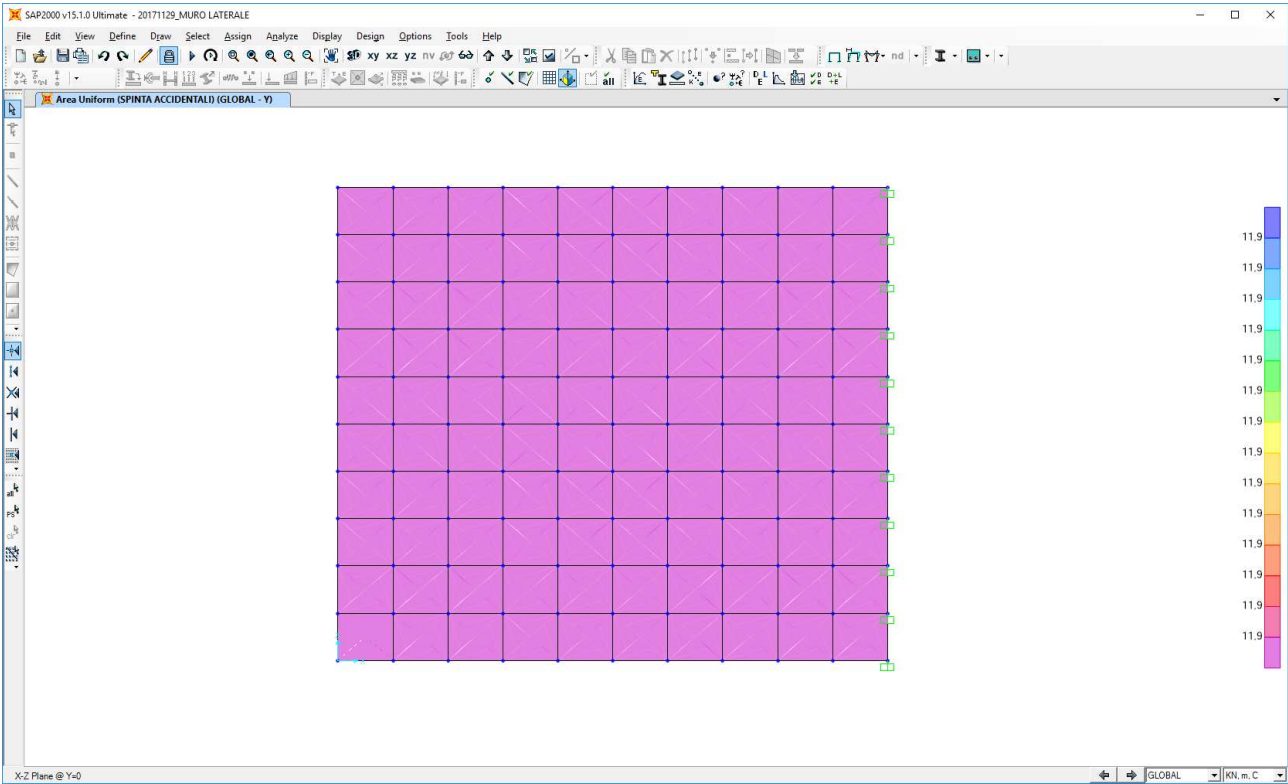


Per la valutazione delle azioni sollecitanti sul muro laterale è stato approntato un apposito modello di calcolo agli elementi finiti mediante il software di calcolo SAP2000 v.15.1:

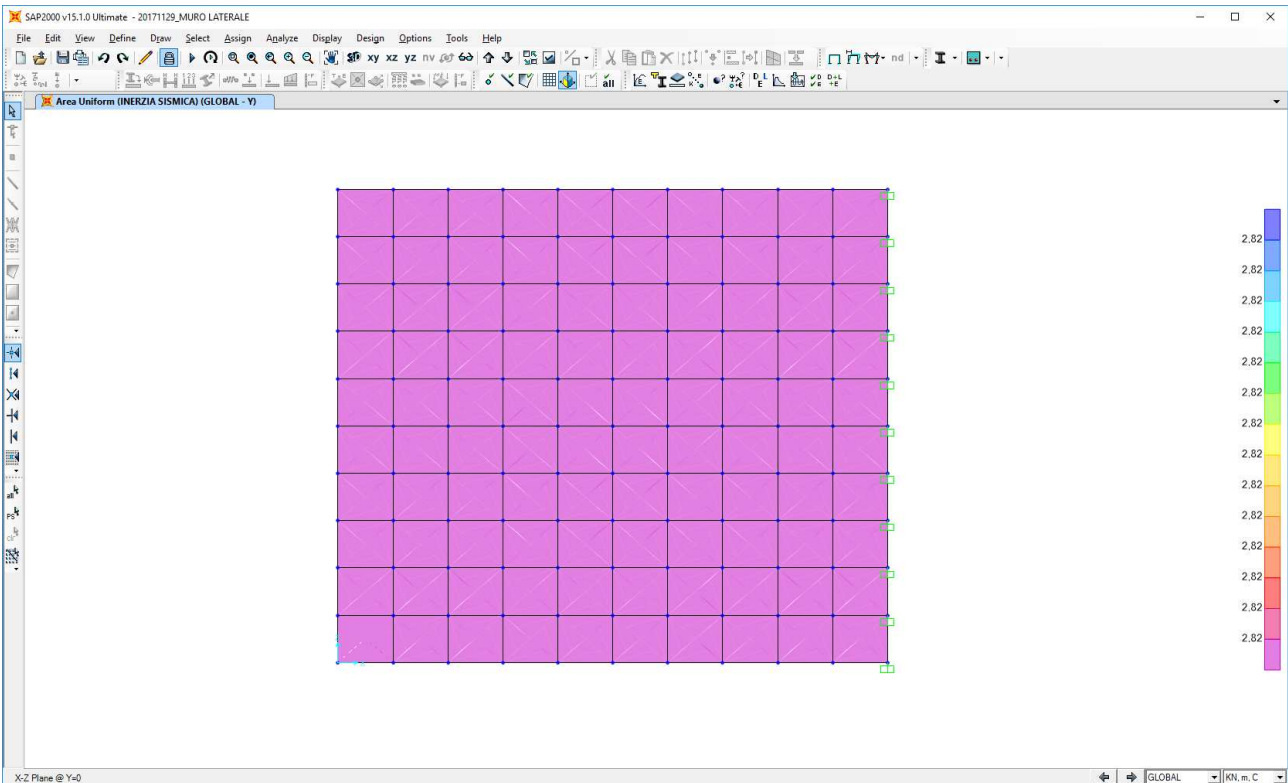


Il muro laterale è stato modellato mediante elementi bidimensionali tipo "shell" con comportamento a lastra – piastra. Il muro è stato vincolato verticalmente su un singolo lato mediante vincoli di incastro.

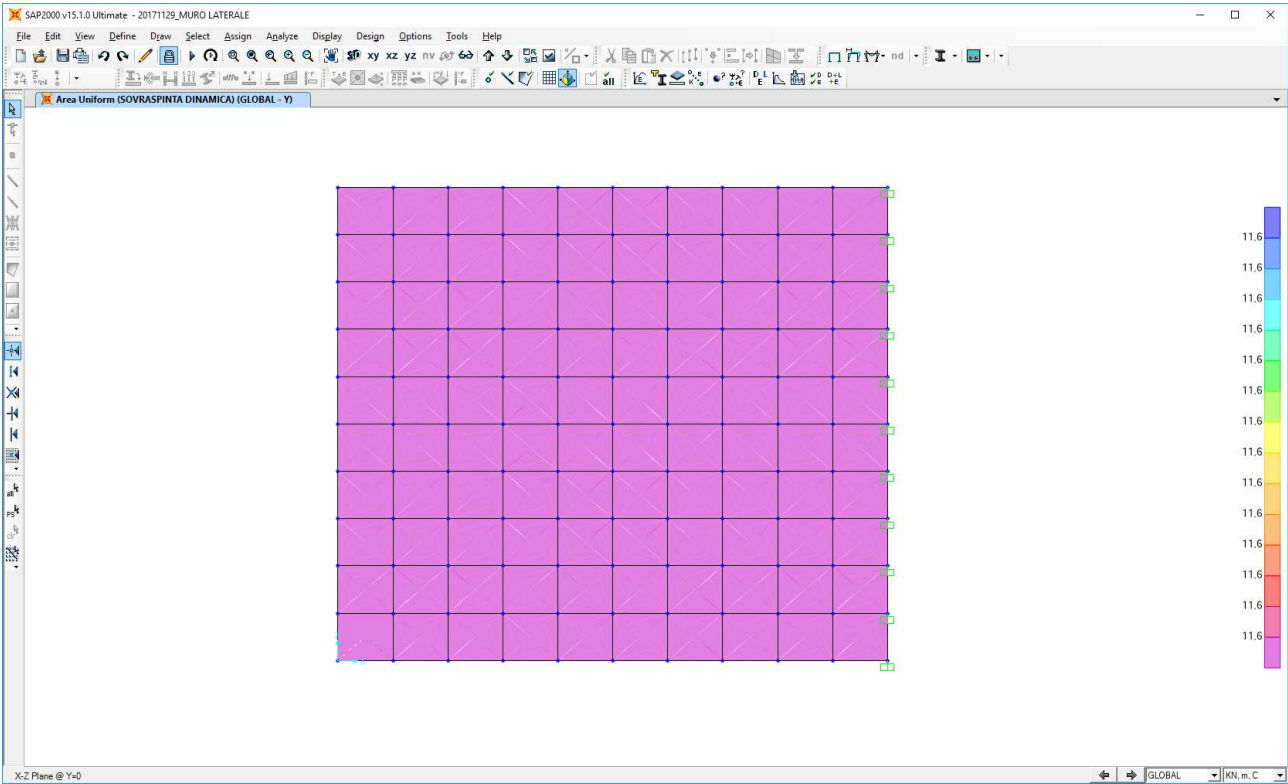
Spinta orizzontale dei sovraccarichi accidentali a tergo



Inerzia sismica orizzontale



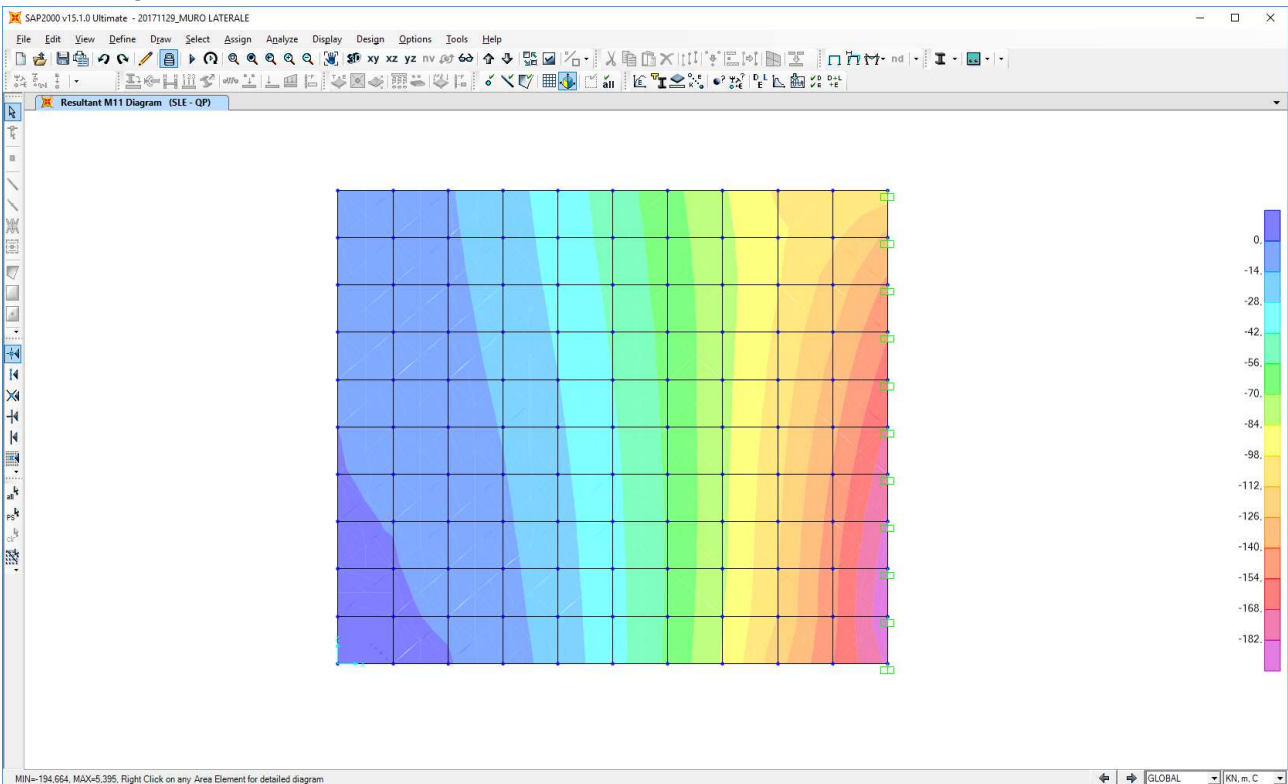
Sovrappinta dinamica orizzontale dei terreni a tergo



8.3.3 VALUTAZIONE DELLE AZIONI SOLLECITANTI

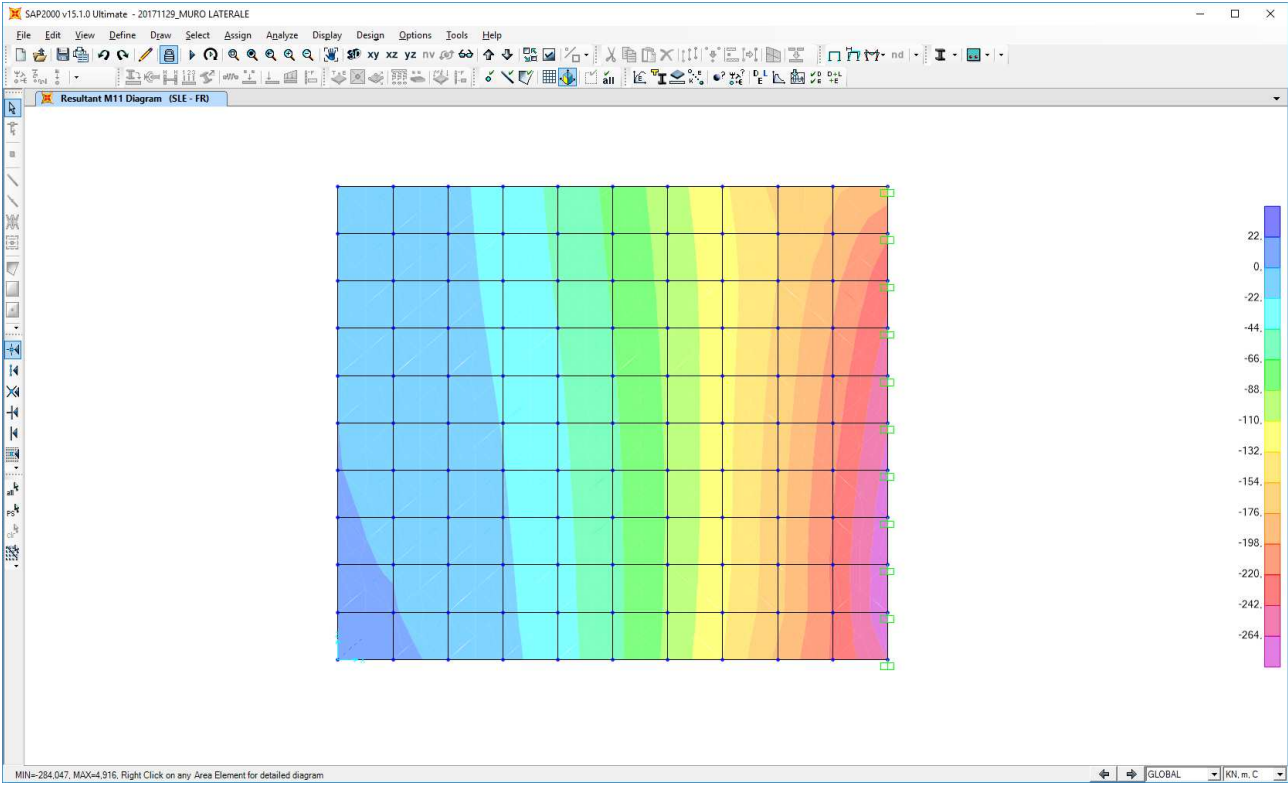
Combinazione SLE – Quasi Permanente

Nell'immagine successiva è riportato l'andamento del momento flettente orizzontale:



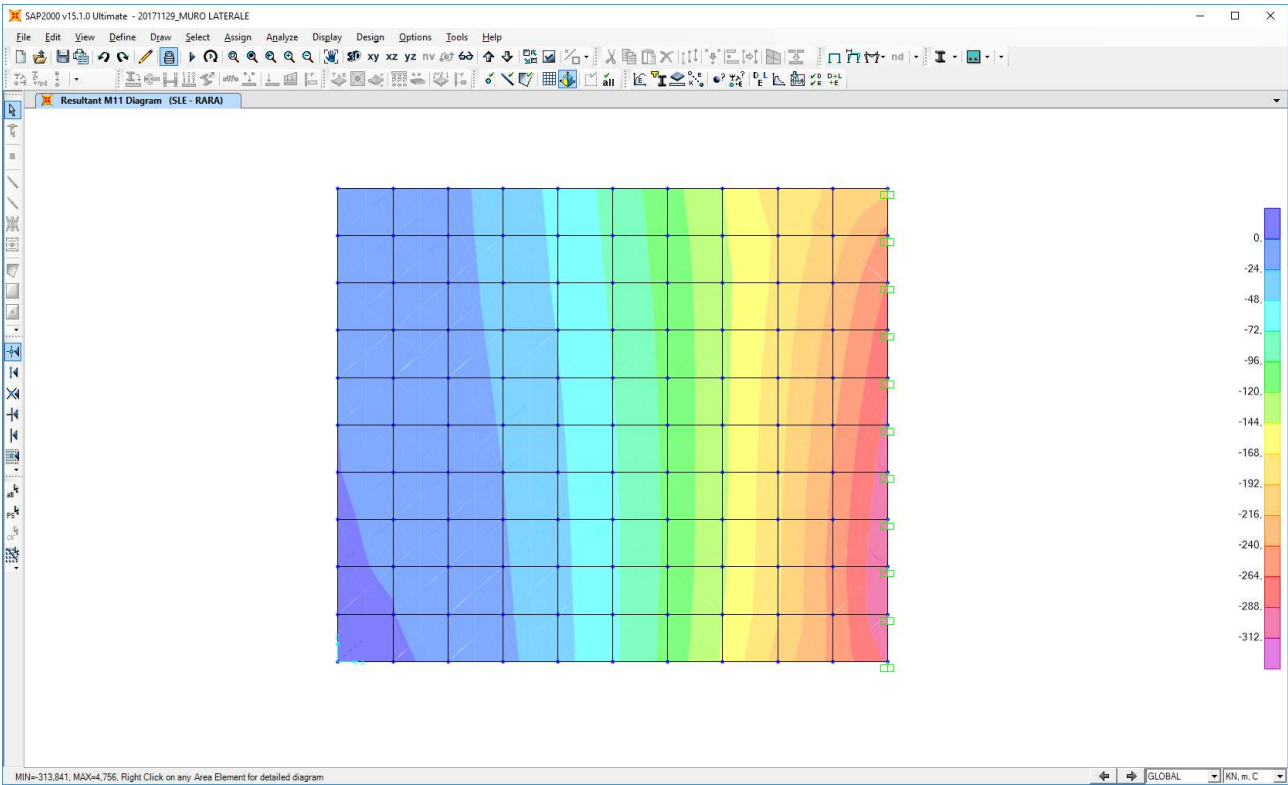
Combinazione SLE – Frequente

Nell'immagine successiva è riportato l'andamento del momento flettente orizzontale:



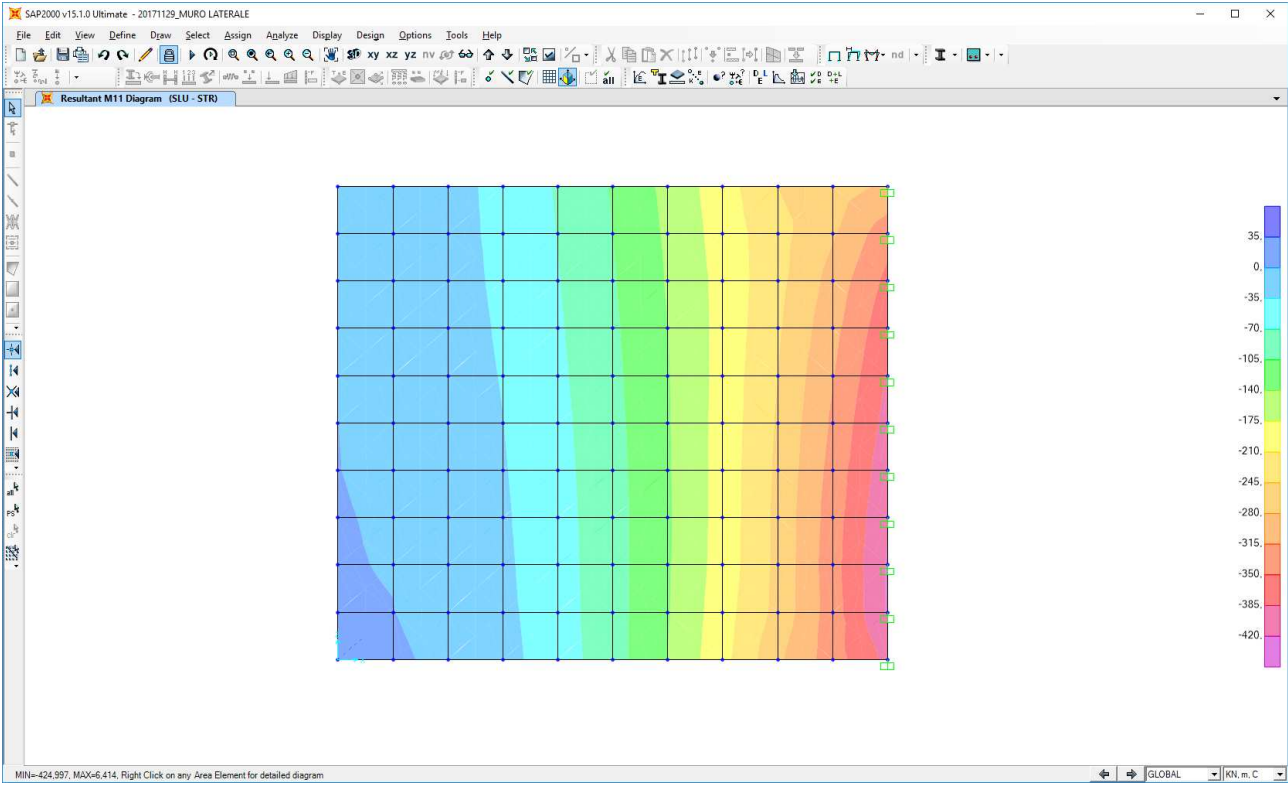
Combinazione SLE – Rara

Nell'immagine successiva è riportato l'andamento del momento flettente orizzontale:

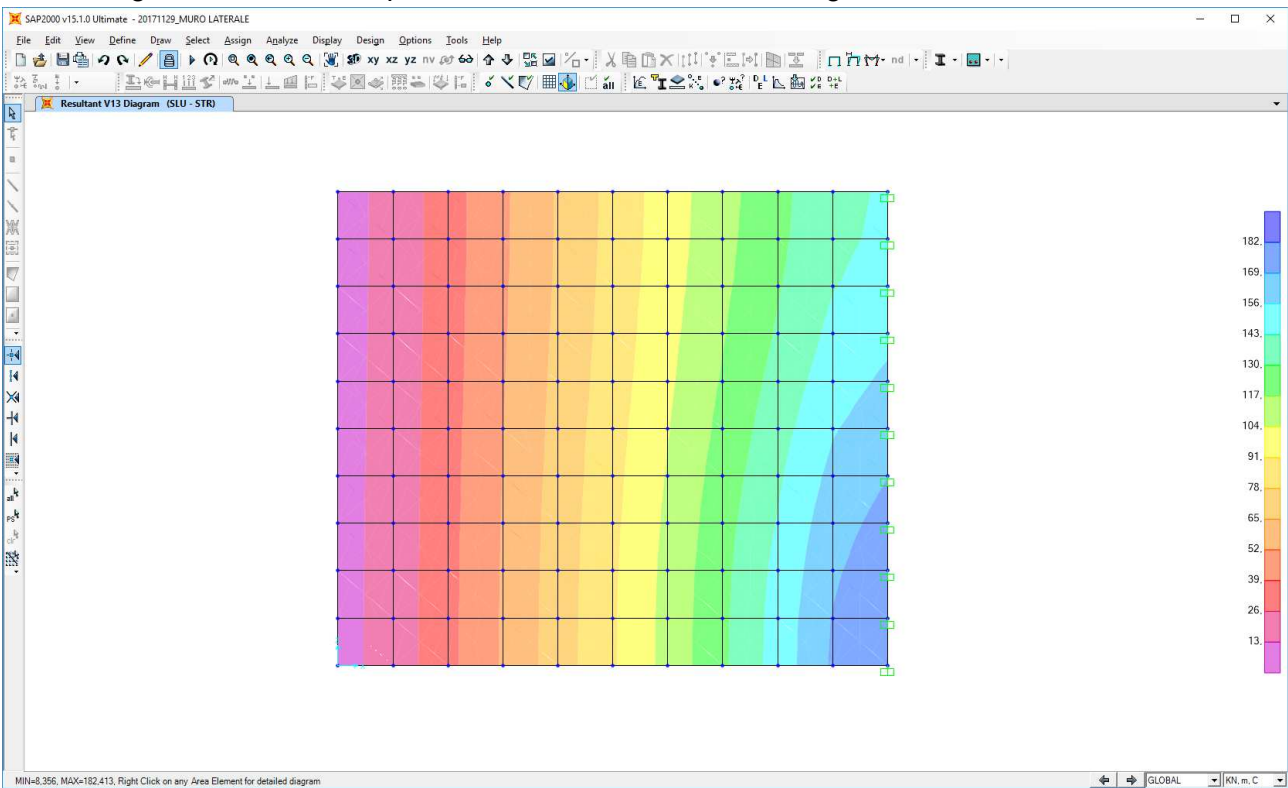


Combinazione SLU – STR

Nell'immagine successiva è riportato l'andamento del momento flettente orizzontale:

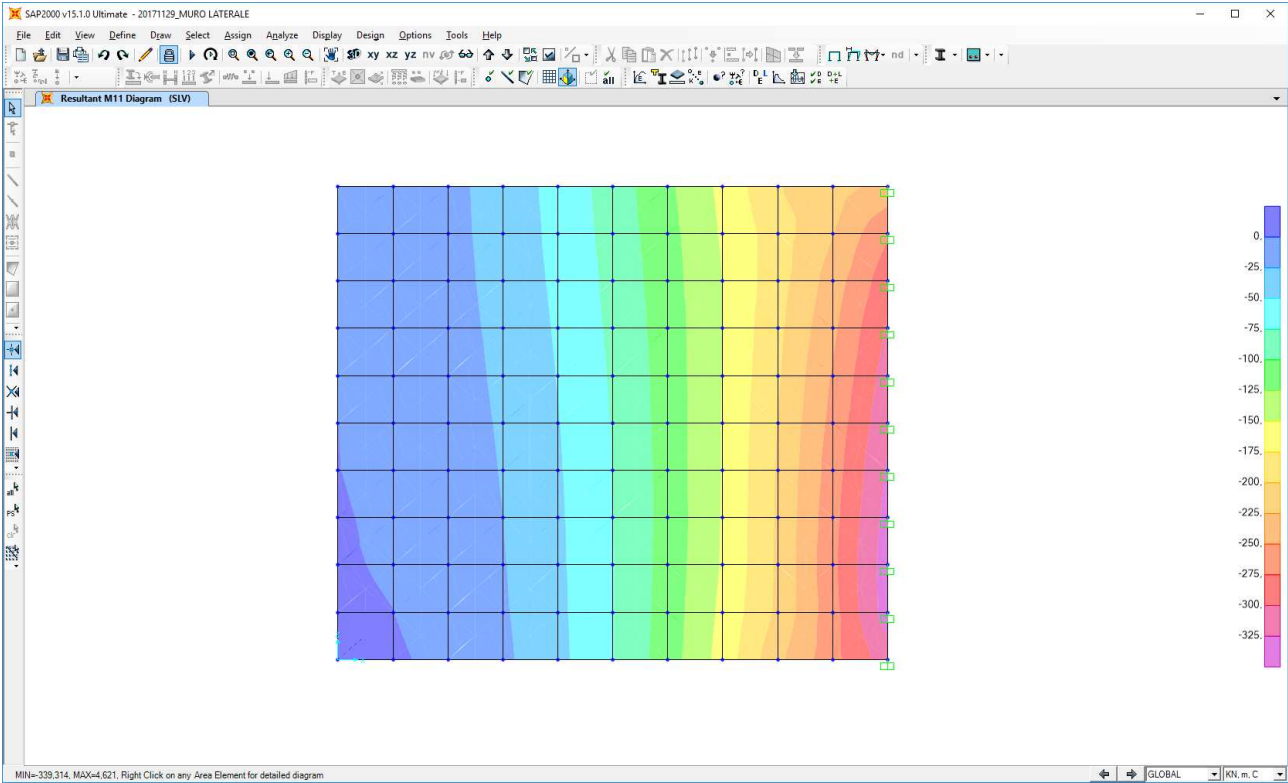


Nell'immagine successiva è riportato l'andamento dell'azione tagliante orizzontale:

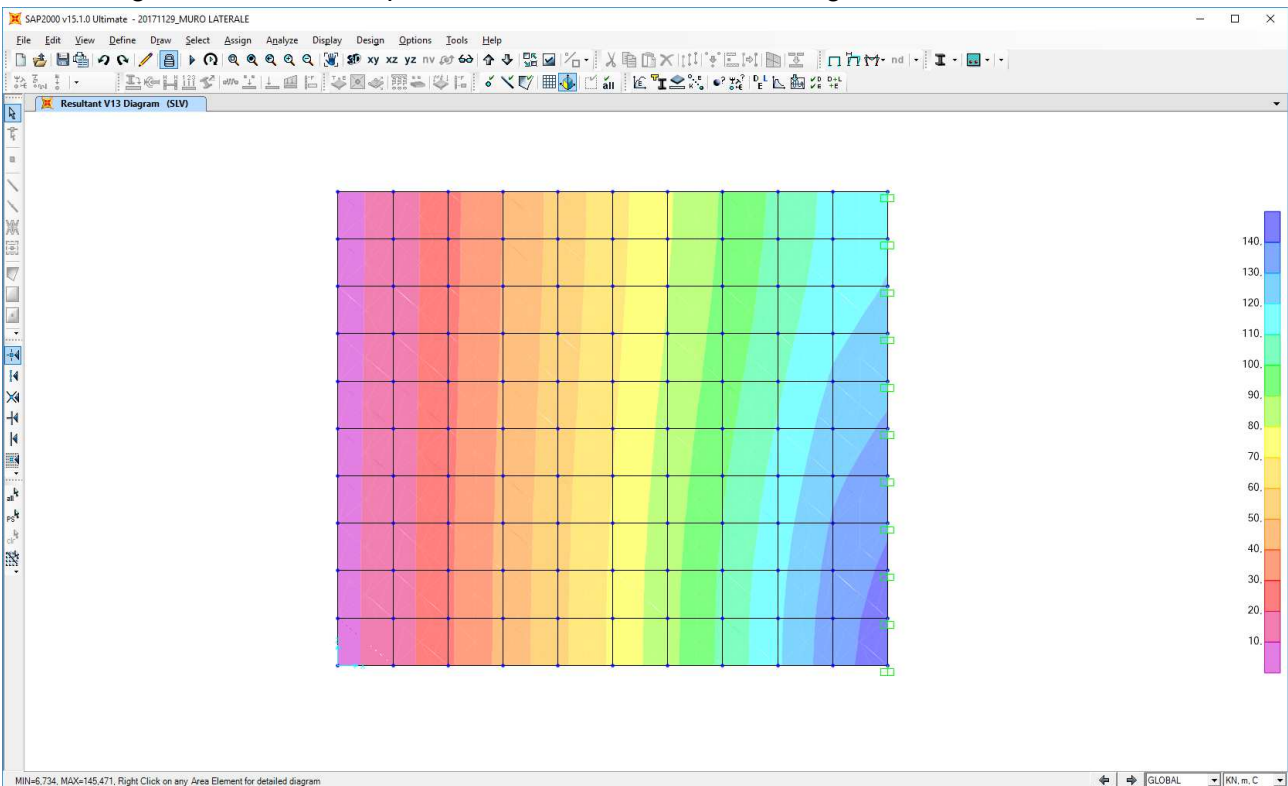


Combinazione SLV

Nell'immagine successiva è riportato l'andamento del momento flettente orizzontale:



Nell'immagine successiva è riportato l'andamento dell'azione tagliante orizzontale:



8.4 SEZIONE DI SPICCATO DEI MURI DI RISVOLTO LATERALI - VERIFICHE STRUTTURALI

8.4.1 SEZIONE E ARMATURA DI VERIFICA

La sezione di verifica è rettangolare con base pari a **100 cm** (striscia di larghezza unitaria) e altezza pari a **75 cm**.

L'armatura orizzontale (armatura di forza) è costituita da:

- **Ø24/20** lato interno (lato terreno)
- **Ø16/20** lato esterno

L'armatura verticale di ripartizione è costituita da:

- **Ø16/20** lato interno (lato terreno)
- **Ø16/20** lato esterno

Non è prevista alcuna specifica armatura a taglio. Vengono tuttavia disposte legature trasversali costituite da spille **Ø12/40x40**. Il copriferro netto minimo è assunto pari a **40 mm**.

Trattandosi di impalcati isolati sismicamente le sottostrutture sono state dimensionate adottando uno spettro di risposta elastico ($q = 1,00$). Secondo quanto previsto dal D.M. 14.01.2008 – Paragrafo 7.9.6.2 non risulta necessario disporre specifiche armature atte a garantire la duttilità dell'elemento strutturale né a rispettare i limiti dimensionali previsti per tale tipologia di armatura.

8.4.2 VERIFICA ALLO STATO LIMITE DI LIMITAZIONE DELLE TENSIONI – COMBINAZIONE QUASI PERMANENTE

Il momento flettente di calcolo è assunto pari a **$M_{Sd} = -182,00$ kNm**.

Verifica C.A. S.L.U. - File

File Materiali Opzioni Visualizza Progetto Sez. Rett. Sismica Normativa: NTC 2008 ?

Titolo : _____

N° strati barre 2 Zoom

N°	b [cm]	h [cm]	N°	As [cm²]	d [cm]
1	100	75	1	22,62	6,4
			2	10,05	69

Sollecitazioni: S.L.U. Metodo n

N_{Ed} 0 kN
M_{Ed} -182 kNm
M_{yEd} 0

P.to applicazione N: Centro Baricentro cls
Coord.[cm]: xN 0, yN 0

Metodo di calcolo: S.L.U. Metodo n

Materiali

B450C		C32/40	
ϵ_{su}	67,5 ‰	ϵ_{c2}	2 ‰
f_{yd}	391,3 N/mm ²	ϵ_{cu}	3,5 ‰
E_s	200.000 N/mm ²	f_{cd}	18,81
E_c/E_c	15	f_{cc}/f_{cd}	0,8
ϵ_{syd}	1,957 ‰	$\sigma_{c,adm}$	12,25
$\sigma_{s,adm}$	255 N/mm ²	τ_{co}	0,7333
		τ_{c1}	2,114

σ_c -2,959 N/mm²
 σ_s 128,3 N/mm²

Verifica N° iterazioni: 4

Precompresso

Le tensioni sui materiali risultano pari a:

- $\sigma_c = 2,95 \text{ N/mm}^2 < 0,45 \cdot f_{ck} = 14,94 \text{ N/mm}^2$
- $\sigma_s = 128,30 \text{ N/mm}^2 < 0,80 \cdot f_{yk} = 360,00 \text{ N/mm}^2$

La verifica risulta pertanto soddisfatta.

8.4.3 VERIFICA ALLO STATO LIMITE DI LIMITAZIONE DELLE TENSIONI – COMBINAZIONE FREQUENTE

Il momento flettente di calcolo è assunto pari a $M_{Sd} = -264,00$ kNm.

Verifica C.A. S.L.U. - File

File Materiali Opzioni Visualizza Progetto Sez. Rett. Sismica Normativa: NTC 2008

Tipo Sezione: Rettan.re Trapezi
 a T Circolare
 Rettangoli Coord.

N° strati barre: 2 Zoom

N°	b [cm]	h [cm]	N°	As [cm²]	d [cm]
1	100	75	1	22,62	6,4
			2	10,05	69

Sollecitazioni: S.L.U. Metodo n

N Ed: 0 kN
M xEd: 0 kNm
M yEd: 0 kNm

P.to applicazione N: Centro Baricentro cls
 Coord.[cm] xN: 0 yN: 0

Metodo di calcolo: S.L.U. S.L.U. Metodo n

Materiali: B450C C32/40

Proprietà	B450C	C32/40
ϵ_{cu}	67,5 ‰	2 ‰
f_{yd}	391,3 N/mm²	3,5 N/mm²
E_s	200.000 N/mm²	18,81 N/mm²
E_s/E_c	15	f_{cc}/f_{cd} 0,8
ϵ_{syd}	1,957 ‰	$\sigma_{c,adm}$ 12,25
$\sigma_{s,adm}$	255 N/mm²	τ_{co} 0,73333
	τ_{c1} 2,114	

σ_c : -4,292 N/mm²
 σ_s : 186,1 N/mm²

Verifica

ϵ_s : 0,9305 ‰
d: 68,6 cm
x: 17,63 x/d: 0,257
 δ : 0,7612

N° iterazioni: 4

Precompresso

Le tensioni sui materiali risultano pari a:

- $\sigma_c = 4,29 \text{ N/mm}^2 < 0,45 \cdot f_{ck} = 14,94 \text{ N/mm}^2$
- $\sigma_s = 186,10 \text{ N/mm}^2 < 0,80 \cdot f_{yk} = 360,00 \text{ N/mm}^2$

La verifica risulta pertanto soddisfatta.

8.4.4 VERIFICA ALLO STATO LIMITE DI LIMITAZIONE DELLE TENSIONI – COMBINAZIONE RARA

Il momento flettente di calcolo è assunto pari a $M_{Sd} = -312,00$ kNm.

Verifica C.A. S.L.U. - File

File Materiali Opzioni Visualizza Progetto Sez. Rett. Sismica Normativa: NTC 2008

Tipo Sezione: Rettan.re Trapezi
 a T Circolare
 Rettangoli Coord.

N° strati barre: 2 Zoom

N°	b [cm]	h [cm]	N°	As [cm²]	d [cm]
1	100	75	1	22,62	6,4
			2	10,05	69

Sollecitazioni: S.L.U. Metodo n

N Ed: 0 kN
M xEd: 0 kNm
M yEd: 0 kNm

P.to applicazione N: Centro Baricentro cls
 Coord.[cm] xN: 0 yN: 0

Metodo di calcolo: S.L.U. S.L.U. Metodo n

Materiali: B450C C32/40

Proprietà	B450C	C32/40
ϵ_{cu}	67,5 ‰	2 ‰
f_{yd}	391,3 N/mm²	3,5 N/mm²
E_s	200.000 N/mm²	18,81 N/mm²
E_s/E_c	15	f_{cc}/f_{cd} 0,8
ϵ_{syd}	1,957 ‰	$\sigma_{c,adm}$ 12,25
$\sigma_{s,adm}$	255 N/mm²	τ_{co} 0,73333
	τ_{c1} 2,114	

σ_c : -5,072 N/mm²
 σ_s : 219,9 N/mm²

Verifica

ϵ_s : 1,1 ‰
d: 68,6 cm
x: 17,63 x/d: 0,257
 δ : 0,7612

N° iterazioni: 4

Precompresso

Le tensioni sui materiali risultano pari a:

- $\sigma_c = 5,07 \text{ N/mm}^2 < 0,60 \cdot f_{ck} = 19,92 \text{ N/mm}^2$
- $\sigma_s = 219,90 \text{ N/mm}^2 < 0,80 \cdot f_{yk} = 360,00 \text{ N/mm}^2$

La verifica risulta pertanto soddisfatta.

8.4.5 VERIFICA ALLO STATO LIMITE DI FESSURAZIONE

La verifica semplificata allo SL di fessurazione viene condotta secondo quanto previsto dalla Circolare C.S.LL.PP. n.617 del 02.02.2009, par. C4.1.2.2.4.6, tab. C4.1.II e C4.1.III.

TABELLA C4.1.II - Diametri massimi delle barre per il controllo di fessurazione			
Tensione nell'acciaio σ_s [N/mm ²]	Diametro massimo \varnothing delle barre [mm]		
	$w_3 = 0,40$ mm	$w_2 = 0,30$ mm	$w_1 = 0,20$ mm
160	40	32	25
200	32	25	16
240	20	16	12
280	16	12	8
320	12	10	6
360	10	8	0

TABELLA C4.1.III - Spaziatura massima delle barre per il controllo di fessurazione			
Tensione nell'acciaio σ_s [N/mm ²]	Spaziatura massima s delle barre delle barre [mm]		
	$w_3 = 0,40$ mm	$w_2 = 0,30$ mm	$w_1 = 0,20$ mm
160	300	300	200
200	300	250	150
240	250	200	100
280	200	150	50
320	150	100	0
360	100	50	0

CRITERI DI SCELTA DELLO STATO LIMITE DI FESSURAZIONE

I criteri di scelta dello Stato Limite di fessurazione sono definiti secondo quanto riportato dal D.M. 14.01.2008, par. 4.1.2.2.4.5, tab. 4.1.IV.

Condizioni ambientali: Armatura:

COMBINAZIONE ALLO S.L.E. QUASI PERMANENTE

Stato limite:	apertura fessure		
Ampiezza massima delle fessure:	$w_d \leq$	w1	
Tensione massima nell'acciaio calcolata:	$\sigma_{s,max}$	128,30	[N/mm ²]
Diametro massimo delle barre di armature poste in opera:	\varnothing_{max}	24	[mm]
Spaziatura massima delle barre di armatura poste in opera:	s_{max}	200,00	[mm]
Diametro massimo delle barre di armatura consentito:	\varnothing_{max}	25,00	[mm]
Spaziatura massima delle barre di armatura consentita:	s_{max}	200,00	[mm]

VERIFICA POSITIVA

COMBINAZIONE ALLO S.L.E. FREQUENTE

Stato limite:	apertura fessure		
Ampiezza massima delle fessure:	$w_d \leq$	w2	
Tensione massima nell'acciaio calcolata:	$\sigma_{s,max}$	186,10	[N/mm ²]
Diametro massimo delle barre di armature poste in opera:	\varnothing_{max}	24	[mm]
Spaziatura massima delle barre di armatura poste in opera:	s_{max}	200,00	[mm]
Diametro massimo delle barre di armatura consentito:	\varnothing_{max}	25,00	[mm]
Spaziatura massima delle barre di armatura consentita:	s_{max}	250,00	[mm]

VERIFICA POSITIVA

8.4.6 VERIFICA ALLO STATO LIMITE ULTIMO PER FLESSIONE RETTA

Il momento flettente di calcolo è assunto pari a $M_{Sd} = -420,00$ kNm.

Verifica C.A. S.L.U. - File

File Materiali Opzioni Visualizza Progetto Sez. Rett. Sismica Normativa: NTC 2008 ?

Titolo : _____

N° strati barre 2 Zoom

N°	b [cm]	h [cm]	N°	As [cm²]	d [cm]
1	100	75	1	22,62	6,4
			2	10,05	69

Sollecitazioni S.L.U. Metodo n

N_{Ed} 0 kN
M_{xEd} -420 kNm
M_{yEd} 0

P.to applicazione N
Centro Baricentro cls
Coord.[cm] xN 0 yN 0

Tipo rottura Lato calcestruzzo - Acciaio snervato

Metodo di calcolo S.L.U. Metodo n

Tipo flessione Retta Deviata

N° rett. 100

Calcola MRd Dominio M-N

L₀ 0 cm Col. modello

Precompresso

Materiali

B450C C32/40

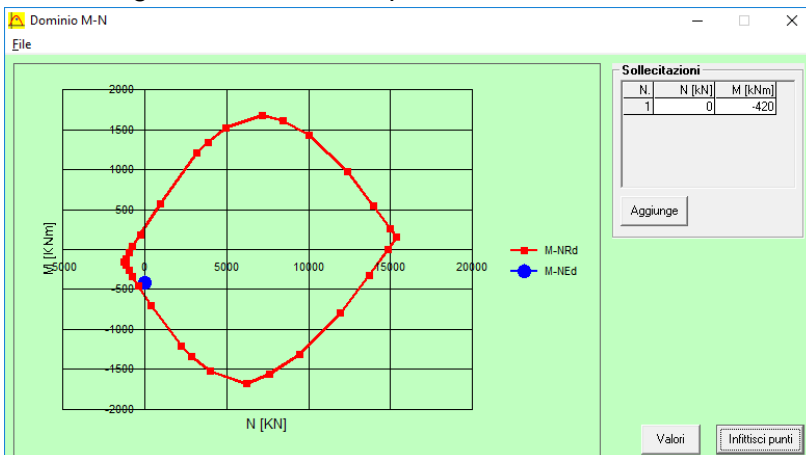
ε_{cu} 67,5 ‰ ε_{c2} 2 ‰
f_{yd} 391,3 N/mm² ε_{cu} 3,5 ‰
E_s 200.000 N/mm² f_{cd} 18,81 ‰
E_s/E_c 15 f_{cc}/f_{cd} 0,8 ?
ε_{syd} 1,957 ‰ σ_{c,adm} 12,25 ‰
σ_{s,adm} 255 N/mm² τ_{co} 0,7333 ‰
τ_{ct1} 2,114 ‰

M xPd -585,9 kNm
σ_c -18,81 N/mm²
σ_s 391,3 N/mm²
ε_c 3,5 ‰
ε_s 37,29 ‰
d 68,6 cm
x 5,886 x/d 0,0858
δ 0,7

Il momento resistente risulta pari a:

$$M_{Sd} = -585,90 \text{ kNm} > M_{Sd} = -420,00 \text{ kNm}$$

Nell'immagine successiva è riportato il dominio di resistenza della sezione:



La verifica risulta pertanto soddisfatta.

8.4.7 VERIFICA ALLO STATO LIMITE ULTIMO PER TAGLIO

L'azione tagliante di calcolo è assunta pari a $V_{S,d} = 182,00$ kN.

CARATTERISTICHE GEOMETRICHE DELLA SEZIONE

Base della sezione trasversale:	b	100,00	[cm]
Altezza della sezione trasversale:	h	75,00	[cm]
Copriferro netto:	c	4,00	[cm]
Altezza utile della sezione:	d	71,00	[cm]

CARATTERISTICHE DEI MATERIALI

Classe di resistenza del calcestruzzo:	C32/40		
Resistenza caratteristica cubica a compressione:	R_{ck}	40,00	[N/mm ²]
Resistenza caratteristica cilindrica a compressione:	f_{ck}	33,20	[N/mm ²]
Resistenza di calcolo a compressione:	f_{cd}	18,81	[N/mm ²]
Tipologia dell'acciaio da armatura:	B450C		
Tensione caratteristica di rottura:	f_{tk}	540,00	[N/mm ²]
Tensione caratteristica di snervamento:	f_{yk}	450,00	[N/mm ²]
Resistenza di calcolo:	f_{yd}	391,30	[N/mm ²]

AZIONI SOLLECITANTI DI CALCOLO

Azione tagliante di calcolo:	$V_{S,d}$	182,00	[kN]
Azione normale di calcolo:	$N_{S,d}$	0,00	[kN]

ARMATURA LONGITUDINALE

	n_{barre}	\varnothing_{barre} [mm]	A_{barra} [cm ²]	$A_{s,tot}$ [cm ²]
Primo strato di armatura tesa:	5	24	4,52	22,60
Infittimento primo strato di armatura tesa:			0,00	0,00
Secondo strato di armatura tesa:			0,00	0,00
Infittimento secondo strato di armatura tesa:			0,00	0,00
AREA TOTALE DELLE BARRE DI ARMATURA TESA				22,60

VERIFICA ALLO S.L.U. PER TAGLIO

La verifica allo S.L.U. per taglio viene condotta secondo quanto previsto dal D.M. 14.01.2008, par.4.1.2.1.3.1

$$V_{R,d} = \left\{ \frac{0,18 \cdot k \cdot (100 \cdot \rho_1 \cdot f_{ck})^{1/3}}{\gamma_c} + 0,15 \cdot \sigma_{cp} \right\} \cdot b_w \cdot d \geq (v_{min} + 0,15 \cdot \sigma_{cp}) \cdot b_w \cdot d$$

Coefficiente k:	k	1,53	
Coefficiente v_{min} :	v_{min}	0,382	
Rapporto geometrico di armatura longitudinale:	ρ_1	0,0032	
Tensione media di compressione nella sezione:	σ_{cp}	0,000	[N/mm ²]
Larghezza minima della sezione:	b_w	100,00	[cm]

AZIONE TAGLIANTE RESISTENTE DELLA SEZIONE:	$V_{R,d}$	286,20	[kN]
COEFFICIENTE DI SICUREZZA:	$F_S = V_{R,d}/V_{S,d}$	1,57	

LA VERIFICA RISULTA POSITIVA

8.5 SEZIONE ALLA BASE DELLA TRAVE A CUSCINO – VALUTAZIONE DELLE AZIONI SOLLECITANTI

Nella tabella successiva sono riportati i valori complessivi degli scarichi dell'impalcato sulla spalla (valutati alla sommità dei baggioli) desunti dalla relazione di calcolo dell'impalcato stesso per le differenti combinazioni di carico considerate e riferite a un'unica carreggiata:

COMBINAZIONI DI CARICO		N _{Sd} [kN]	V _{Sd, LONG} [kN]	V _{Sd, TRASV} [kN]	M _{Sd, LONG} [kNm]	M _{Sd, TRASV} [kNm]	M _{Sd, TORC} [kNm]
SLE - QUASI PERMANENTI	GEN Q.P.(max)	2.193,80	15,74	0,43	0,06	211,95	1,79
	GEN Q.P.(min)	2.131,44	-45,55	0,43	0,06	211,95	1,79
SLE - FREQUENTI	GEN FREQ Mobili(max)	3.402,18	20,62	0,43	0,07	3.549,47	26,88
	GEN FREQ Vento(max)	2.193,83	15,74	7,59	0,06	169,13	1,28
	GEN FREQ Termico(max)	2.200,03	21,87	26,08	0,06	211,95	1,79
	GEN FREQ Mobili(min)	2.131,44	-59,46	0,43	0,06	-4.455,49	-31,54
	GEN FREQ Vento(min)	2.131,47	-45,55	-8,80	0,06	169,13	1,28
	GEN FREQ Termico(min)	2.125,20	-51,68	26,08	0,06	211,95	1,79
SLE - RARE	GEN RARA Mobili(max)	4.162,97	25,08	91,10	0,07	5.679,16	45,61
	GEN RARA Vento(max)	3.408,58	26,78	135,85	0,07	3.335,37	24,36
	GEN RARA Frenam(max)	3.397,35	128,09	7,59	0,07	3.549,47	26,88
	GEN RARA Termico(max)	3.433,46	51,28	84,55	0,07	3.421,01	25,37
	GEN RARA Mobili(min)	2.125,30	-75,34	60,94	0,06	-7.247,63	-55,65
	GEN RARA Vento(min)	2.125,36	-65,57	119,46	0,06	-4.669,59	-34,06
	GEN RARA Frenam(min)	2.114,13	35,74	-8,80	0,06	-4.455,49	-31,54
	GEN RARA Termico(min)	2.100,35	-90,10	68,15	0,06	-4.583,95	-33,05
SLU - STR	GEN SLU Mobili(max)	5.743,79	23,46	134,68	0,10	7.680,05	61,73
	GEN SLU Vento(max)	4.725,37	25,75	202,80	0,09	4.503,09	32,89
	GEN SLU Frenamento(max)	4.710,19	162,52	10,41	0,09	4.824,23	36,68
	GEN SLU Termico(max)	4.755,21	55,16	125,84	0,09	4.631,54	34,41
	GEN SLU Mobili(min)	3.004,15	-101,07	93,97	0,08	-9.771,12	-74,97
	GEN SLU Vento(min)	3.004,25	-87,88	180,66	0,08	-6.303,61	-45,98
	GEN SLU Frenamento(min)	2.989,07	48,88	-11,73	0,08	-5.982,47	-42,19
	GEN SLU Termico(min)	2.974,22	-117,31	103,71	0,07	-6.175,15	-44,46
SLV	GEN SLV Long(max)	2.301,30	613,78	187,44	0,06	459,30	9,63
	GEN SLV Trasv(max)	2.261,97	195,58	587,43	0,06	960,95	12,69
	GEN SLV Vert(max)	2.333,81	196,95	179,72	0,06	481,87	7,00
	GEN SLV Long(min)	2.023,93	-643,60	-186,58	0,06	-35,40	-6,05
	GEN SLV Trasv(min)	2.063,26	-225,39	-586,57	0,06	-537,05	-9,11
	GEN SLV Vert(min)	1.991,43	-226,76	-178,86	0,06	-57,97	-3,42

Di seguito è riportata la valutazione delle azioni sollecitanti valutate alla base della trave a cuscino in corrispondenza dell'asse dei pali di fondazione:

CARATTERISTICHE GEOMETRICHE DELLA SPALLA

Altezza media dei baggioli di appoggio	0,36	[m]
PARAGHIAIA		
Lunghezza del paraghiaia	34,44	[m]
Spessore del paraghiaia	0,40	[m]
Altezza massima del paraghiaia	2,20	[m]
Altezza minima del paraghiaia	1,84	[m]
Volume del paraghiaia	27,83	[m ³]
Peso proprio del paraghiaia	695,69	[kN]
Quota del baricentro del paraghiaia rispetto alla base della trave a cuscino	2,85	[m]
Ascissa del baricentro del paraghiaia rispetto all'asse dei pali di fondazione	-1,60	[m]
Momento flettente longitudinale riferito all'asse dei pali di fondazione	-1.113,10	[kNm]
TRAVE A CUSCINO		
Lunghezza della trave a cuscino	34,44	[m]
Larghezza della trave a cuscino	2,80	[m]
Altezza della trave a cuscino	2,00	[m]
Volume della trave a cuscino	192,86	[m ³]
Peso proprio della trave a cuscino	4.821,60	[kN]
Quota del baricentro della trave a cuscino rispetto alla base della trave a cuscino	1,00	[m]
Ascissa del baricentro della trave a cuscino rispetto all'asse dei pali di fondazione	-0,40	[m]
Momento flettente longitudinale riferito all'asse dei pali di fondazione	-1.928,64	[kNm]

MURI LATERALI POSTERIORI

Numero dei muri laterali	2,00	
Lunghezza dei muri laterali	4,50	[m]
Altezza media dei muri laterali	3,86	[m]
Spessore dei muri laterali	0,75	[m]
Volume dei muri laterali	26,02	[m ³]
Peso proprio dei muri laterali	650,53	[kN]
Quota del baricentro dei muri laterali rispetto alla base della trave a cuscino	1,93	[m]
Ascissa del baricentro dei muri laterali rispetto all'asse dei pali di fondazione	-4,05	[m]
Momento flettente longitudinale riferito all'asse dei pali di fondazione	-2.634,65	[kNm]

MURI LATERALI ANTERIORI DI RISVOLTO

Numero dei muri laterali	2,00	
Lunghezza dei muri laterali	2,40	[m]
Altezza media dei muri laterali	0,90	[m]
Spessore dei muri laterali	0,30	[m]
Volume dei muri laterali	1,30	[m ³]
Peso proprio dei muri laterali	32,40	[kN]
Quota del baricentro dei muri laterali rispetto alla base della trave a cuscino	2,45	[m]
Ascissa del baricentro dei muri laterali rispetto all'asse dei pali di fondazione	-0,20	[m]
Momento flettente longitudinale riferito all'asse dei pali di fondazione	-6,48	[kNm]
Azione normale verticale totale dovuta al peso proprio della spalla	6.200,22	[kN]
Momento flettente longitudinale totale dovuto al peso proprio della spalla	-5.682,87	[kNm]

AZIONI TRASMESSE DAL RILEVATO A TERGO DELLA SPALLA

CARATTERISTICHE DEL TERRENO SPINGENTE

Peso per unità di volume del terreno spingente	20,00	[kN/m ³]
Angolo di attrito interno del terreno spingente	37,00	[°]
Coesione efficace del terreno spingente	0,00	[kN/m ²]
Coefficiente di spinta riposo del terreno spingente	0,398	

SPINTA DEL TERRENO A TERGO

Spinta orizzontale del terreno a tergo	2.216,15	[kN]
Momento flettente longitudinale dovuto alla spinta orizzontale del terreno a tergo	2.969,65	[kNm]

SPINTA DEI SOVRACCARICHI PERMANENTI A TERGO

Carichi permanenti portati a tergo	2,20	[kN/m ²]
Spinta orizzontale dei sovraccarichi permanenti a tergo a tergo	121,28	[kN]
Momento flettente longitudinale dovuto alla spinta orizzontale dei sovraccarichi permanenti a tergo	243,78	[kNm]

SPINTA DEI SOVRACCARICHI ACCIDENTALI A TERGO

Carichi permanenti portati a tergo	30,00	[kN/m ²]
Spinta orizzontale dei sovraccarichi permanenti a tergo a tergo	1.653,85	[kN]
Momento flettente longitudinale dovuto alla spinta orizzontale dei sovraccarichi permanenti a tergo	3.324,23	[kNm]

SCARICHI TRASMESSI DALL'IMPALCATO

Ascissa del baricentro degli scarichi rispetto all'asse dei pali di fondazione	0,00	[m]
Quota di applicazione degli scarichi rispetto alla base della trave a cuscino	2,36	[m]
Distanza tra il punto di applicazione della risultante degli scarichi della carreggiata destra rispetto all'asse della spalla	-6,67	[m]
Distanza tra il punto di applicazione della risultante degli scarichi della carreggiata sinistra rispetto all'asse della spalla	6,67	[m]

VIADOTTO FF.SS. - RELAZIONE DI CALCOLO SPALLE

CONDIZIONE 1 - AZIONE NORMALE E MOMENTO FLETTENTE LONGITUDINALE MASSIMI

Si considerano le azioni massime trasmesse da entrambe le carreggiate sulla spalla.

COMBINAZIONI DI CARICO		N _{Sd} [kN]	V _{Sd, LONG} [kN]	V _{Sd, TRASV} [kN]	M _{Sd, LONG} [kNm]	M _{Sd, TRASV} [kNm]	M _{Sd, TORC} [kNm]
SLE - QUASI PERMANENTI	GEN Q.P.(max)	4.387,59	31,47	0,86	74,40	425,93	3,58
	GEN Q.P.(min)	4.262,87	-91,11	0,86	-214,90	425,93	3,58
SLE - FREQUENTI	GEN FREQ Mobil(i)(max)	6.804,37	41,25	0,86	97,48	7.100,97	53,77
	GEN FREQ Vento(max)	4.387,66	31,48	15,19	74,42	374,10	2,57
	GEN FREQ Termico(max)	4.400,07	43,73	52,17	103,32	547,01	3,58
	GEN FREQ Mobil(i)(min)	4.262,87	-118,93	0,86	-280,56	-8.908,95	-63,08
	GEN FREQ Vento(min)	4.262,94	-91,10	-17,61	-214,88	296,71	2,57
	GEN FREQ Termico(min)	4.250,40	-103,37	52,17	-243,83	547,01	3,58
SLE - RARE	GEN RARA Mobil(i)(max)	8.325,94	50,15	182,19	118,50	11.788,30	91,22
	GEN RARA Vento(max)	6.817,16	53,55	271,71	126,52	7.311,98	48,72
	GEN RARA Frenam(max)	6.794,70	256,17	15,19	604,71	7.134,78	53,77
	GEN RARA Termico(max)	6.866,92	102,57	169,10	242,19	7.241,10	50,74
	GEN RARA Mobil(i)(min)	4.250,59	-150,68	121,88	-355,48	-14.207,62	-111,31
	GEN RARA Vento(min)	4.250,72	-131,14	238,91	-309,38	-8.775,34	-68,13
	GEN RARA Frenam(min)	4.228,26	71,48	-17,61	168,81	-8.952,54	-63,08
	GEN RARA Termico(min)	4.200,70	-180,19	136,30	-425,14	-8.846,22	-66,11
SLU - STR	GEN SLU Mobil(i)(max)	11.487,58	46,91	269,37	110,91	15.995,80	123,46
	GEN SLU Vento(max)	9.450,74	51,51	405,60	121,74	9.963,39	65,79
	GEN SLU Frenamento(max)	9.420,37	325,04	20,82	767,27	9.697,59	73,36
	GEN SLU Termico(max)	9.510,42	110,32	251,69	260,53	9.857,07	68,82
	GEN SLU Mobil(i)(min)	6.008,31	-202,14	187,94	-476,90	-19.098,69	-149,94
	GEN SLU Vento(min)	6.008,50	-175,76	361,33	-414,65	-11.754,49	-91,95
	GEN SLU Frenamento(min)	5.978,13	97,77	-23,45	230,89	-12.020,29	-84,38
	GEN SLU Termico(min)	5.948,44	-234,63	207,41	-553,58	-11.860,81	-88,92
SLV	GEN SLV Long(max)	4.602,61	1.227,56	374,88	2.897,17	1.803,33	19,26
	GEN SLV Trasv(max)	4.523,95	391,15	1.174,86	923,24	4.694,56	25,38
	GEN SLV Vert(max)	4.667,61	393,89	359,44	929,71	1.812,01	14,00
	GEN SLV Long(min)	4.047,86	-1.287,20	-373,16	-3.037,67	-951,46	-12,10
	GEN SLV Trasv(min)	4.126,52	-450,79	-1.173,14	-1.063,74	-3.842,70	-18,22
	GEN SLV Vert(min)	3.982,85	-453,53	-357,72	-1.070,22	-960,15	-6,84

CONDIZIONE 2 - MOMENTO FLETTENTE TRASVERSALE MASSIMO

Si considerano le azioni massime trasmesse da una sola carreggiata sulla spalla (caso di assenza di una delle due carreggiate).

COMBINAZIONI DI CARICO		N _{Sd} [kN]	V _{Sd, LONG} [kN]	V _{Sd, TRASV} [kN]	M _{Sd, LONG} [kNm]	M _{Sd, TRASV} [kNm]	M _{Sd, TORC} [kNm]
SLE - QUASI PERMANENTI	GEN Q.P.(max)	2.193,80	15,74	0,43	37,20	14.845,59	1,79
	GEN Q.P.(min)	2.131,44	-45,55	0,43	-107,45	14.429,65	1,79
SLE - FREQUENTI	GEN FREQ Mobil(i)(max)	3.402,18	20,62	0,43	48,74	26.243,05	26,88
	GEN FREQ Vento(max)	2.193,83	15,74	7,59	37,21	14.819,89	1,28
	GEN FREQ Termico(max)	2.200,03	21,87	26,08	51,66	14.947,73	1,79
	GEN FREQ Mobil(i)(min)	2.131,44	-59,46	0,43	-140,28	-18.671,16	-31,54
	GEN FREQ Vento(min)	2.131,47	-45,55	-8,80	-107,44	14.365,24	1,28
	GEN FREQ Termico(min)	2.125,20	-51,68	26,08	-121,91	14.448,59	1,79
SLE - RARE	GEN RARA Mobil(i)(max)	4.162,97	25,08	91,10	59,25	33.661,17	45,61
	GEN RARA Vento(max)	3.408,58	26,78	135,85	63,26	26.391,21	24,36
	GEN RARA Frenam(max)	3.397,35	128,09	7,59	302,35	26.227,71	26,88
	GEN RARA Termico(max)	3.433,46	51,28	84,55	121,10	26.521,73	25,37
	GEN RARA Mobil(i)(min)	2.125,30	-75,34	60,94	-177,74	-21.279,53	-55,65
	GEN RARA Vento(min)	2.125,36	-65,57	119,46	-154,69	-18.563,82	-34,06
	GEN RARA Frenam(min)	2.114,13	35,74	-8,80	84,40	-18.577,52	-31,54
	GEN RARA Termico(min)	2.100,35	-90,10	68,15	-212,57	-18.432,45	-33,05
SLU - STR	GEN SLU Mobil(i)(max)	5.743,79	23,46	134,68	55,45	46.308,97	61,73
	GEN SLU Vento(max)	4.725,37	25,75	202,80	60,87	36.499,92	32,89
	GEN SLU Frenamento(max)	4.710,19	162,52	10,41	383,64	36.265,74	36,68
	GEN SLU Termico(max)	4.755,21	55,16	125,84	130,27	36.645,77	34,41
	GEN SLU Mobil(i)(min)	3.004,15	-101,07	93,97	-238,45	-29.587,05	-74,97
	GEN SLU Vento(min)	3.004,25	-87,88	180,66	-207,33	-25.915,59	-45,98
	GEN SLU Frenamento(min)	2.989,07	48,88	-11,73	115,44	-25.947,21	-42,19
	GEN SLU Termico(min)	2.974,22	-117,31	103,71	-276,79	-25.768,45	-44,46
SLV	GEN SLV Long(max)	2.301,30	613,78	187,44	1.448,58	16.251,36	9,63
	GEN SLV Trasv(max)	2.261,97	195,58	587,43	461,62	17.434,64	12,69
	GEN SLV Vert(max)	2.333,81	196,95	179,72	464,86	16.472,50	7,00
	GEN SLV Long(min)	2.023,93	-643,60	-186,58	-1.518,83	-13.975,34	-6,05
	GEN SLV Trasv(min)	2.063,26	-225,39	-586,57	-531,87	-15.683,30	-9,11
	GEN SLV Vert(min)	1.991,43	-226,76	-178,86	-535,11	-13.762,89	-3,42

AZIONI SISMICHE

Coefficiente sismico orizzontale	0,1796
Coefficiente sismico verticale	0,0898

AZIONI INERZIALI TRASMESSE DALLA SPALLA

Peso sismico del paraghiaia	695,69	[kN]
Azione inerziale orizzontale longitudinale prodotta dal paraghiaia	124,95	[kN]
Azione inerziale orizzontale trasversale prodotta dal paraghiaia	124,95	[kN]
Azione inerziale verticale prodotta dal paraghiaia	62,47	[kN]
Momento flettente longitudinale prodotto dall'azione inerziale longitudinale	355,93	[kNm]
Momento flettente trasversale prodotto dall'azione inerziale trasversale	355,93	[kNm]
Momento flettente longitudinale prodotto dall'azione inerziale verticale	-99,96	[kNm]
Peso sismico della trave a cuscino	4.821,60	[kN]
Azione inerziale orizzontale longitudinale prodotta dalla trave a cuscino	865,96	[kN]
Azione inerziale orizzontale trasversale prodotta dalla trave a cuscino	865,96	[kN]
Azione inerziale verticale prodotta dalla trave a cuscino	432,98	[kN]
Momento flettente longitudinale prodotto dall'azione inerziale longitudinale	865,96	[kNm]
Momento flettente trasversale prodotto dall'azione inerziale trasversale	865,96	[kNm]
Momento flettente longitudinale prodotto dall'azione inerziale verticale	-173,19	[kNm]
Peso sismico dai muri laterali posteriori	650,53	[kN]
Azione inerziale orizzontale longitudinale prodotta dai muri laterali posteriori	116,84	[kN]
Azione inerziale orizzontale trasversale prodotta dai muri laterali posteriori	116,84	[kN]
Azione inerziale verticale prodotta dai muri laterali posteriori	58,42	[kN]
Momento flettente longitudinale prodotto dall'azione inerziale longitudinale	225,20	[kNm]
Momento flettente trasversale prodotto dall'azione inerziale trasversale	225,20	[kNm]
Momento flettente longitudinale prodotto dall'azione inerziale verticale	-236,59	[kNm]
Peso sismico dei muri laterali anteriori di risvolto	32,40	[kN]
Azione inerziale orizzontale longitudinale prodotta dai muri laterali anteriori di risvolto	5,82	[kN]
Azione inerziale orizzontale trasversale prodotta dai muri laterali anteriori di risvolto	5,82	[kN]
Azione inerziale verticale prodotta dai muri laterali anteriori di risvolto	2,91	[kN]
Momento flettente longitudinale prodotto dall'azione inerziale longitudinale	14,26	[kNm]
Momento flettente trasversale prodotto dall'azione inerziale trasversale	14,26	[kNm]
Momento flettente longitudinale prodotto dall'azione inerziale verticale	-0,58	[kNm]
Inerzia sismica orizzontale longitudinale totale della spalla	1.113,56	[kN]
Inerzia sismica orizzontale trasversale totale della spalla	1.113,56	[kN]
Inerzia sismica verticale totale della spalla	556,78	[kN]
Momento flettente longitudinale totale prodotto dall'azione inerziale longitudinale della spalla	1.461,35	[kNm]
Momento flettente trasversale totale prodotto dall'azione inerziale trasversale della spalla	1.461,35	[kNm]
Momento flettente longitudinale totale prodotto dall'azione inerziale verticale della spalla	-510,32	[kNm]

SOVRASPINTA DINAMICA DEL TERRENO A TERGO

Per la valutazione della sovraspinta dinamica dei terreni a tergo della spalla è stato utilizzato il **metodo di Wood**.

Sovraspinta dinamica orizzontale longitudinale del terreno a tergo	1.999,18	[kN]
Momento flettente longitudinale dovuto alla sovraspinta dinamica del terreno a tergo	4.018,35	[kNm]

AZIONI SOLLECITANTI DI CALCOLO VALUTATA ALLA BASE DELLA ZATTERA IN CORRISPONDENZA DELL'ASSE DEI PALI							
COMBINAZIONI DI CARICO		CONDIZIONE	N _{Sd} [kN]	V _{Sd, LONG} [kN]	V _{Sd, TRASV} [kN]	M _{Sd, LONG} [kNm]	M _{Sd, TRASV} [kNm]
SLE - QUASI PERMANENTI	GEN Q.P.(max)	1	10.587,81	2.368,91	0,86	-2.395,05	425,93
	GEN Q.P.(min)	1	10.463,09	2.246,33	0,86	-2.684,35	425,93
	GEN Q.P.(max)	2	8.394,02	2.353,17	0,43	-2.420,71	14.845,59
	GEN Q.P.(min)	2	8.331,66	2.291,88	0,43	-2.432,24	14.429,65
SLE - FREQUENTI	GEN FREQ Mobili(max)	1	13.004,59	3.619,07	0,86	121,21	7.100,97
	GEN FREQ Vento(max)	1	10.587,88	3.609,30	15,19	98,14	374,10
	GEN FREQ Termico(max)	1	10.600,29	3.621,55	52,17	127,05	547,01
	GEN FREQ Mobili(min)	1	10.463,09	3.458,89	0,86	-256,83	-8.908,95
	GEN FREQ Vento(min)	1	10.463,16	3.486,72	-17,61	-191,15	296,71
	GEN FREQ Termico(min)	1	10.450,62	3.474,46	52,17	-220,10	547,01
	GEN FREQ Mobili(max)	2	9.602,40	3.598,45	0,43	72,47	26.243,05
	GEN FREQ Vento(max)	2	8.394,05	3.593,56	7,59	60,93	14.819,89
	GEN FREQ Termico(max)	2	8.400,25	3.599,69	26,08	75,39	14.947,73
	GEN FREQ Mobili(min)	2	8.331,66	3.518,36	0,43	-116,55	-18.671,16
	GEN FREQ Vento(min)	2	8.331,69	3.532,27	-8,80	-83,71	14.365,24
	GEN FREQ Termico(min)	2	8.325,42	3.526,14	26,08	-98,19	14.448,59
SLE - RARE	GEN RARA Mobili(max)	1	14.526,16	4.041,43	182,19	973,29	11.788,30
	GEN RARA Vento(max)	1	13.017,38	4.044,84	271,71	981,30	7.311,98
	GEN RARA Frenam(max)	1	12.994,92	4.247,46	15,19	1.459,49	7.134,78
	GEN RARA Termico(max)	1	13.067,14	4.093,85	169,10	1.096,98	7.241,10
	GEN RARA Mobili(min)	1	10.450,81	3.840,61	121,88	499,30	-14.207,62
	GEN RARA Vento(min)	1	10.450,94	3.860,14	238,91	545,41	-8.775,34
	GEN RARA Frenam(min)	1	10.428,48	4.062,76	-17,61	1.023,59	-8.952,54
	GEN RARA Termico(min)	1	10.400,92	3.811,09	136,30	429,65	-8.846,22
	GEN RARA Mobili(max)	2	10.363,19	4.016,36	91,10	914,04	33.661,17
	GEN RARA Vento(max)	2	9.608,80	4.018,06	135,85	918,04	26.391,21
	GEN RARA Frenam(max)	2	9.597,57	4.119,37	7,59	1.157,14	26.227,71
	GEN RARA Termico(max)	2	9.633,68	4.042,57	84,55	975,88	26.521,73
	GEN RARA Mobili(min)	2	8.325,52	3.915,95	60,94	677,04	-21.279,53
	GEN RARA Vento(min)	2	8.325,58	3.925,71	119,46	700,10	-18.563,82
	GEN RARA Frenam(min)	2	8.314,35	4.027,02	-8,80	939,19	-18.577,52
	GEN RARA Termico(min)	2	8.300,57	3.901,19	68,15	642,22	-18.432,45
SLU - STR	GEN SLU Mobili(max)	1	19.857,87	5.453,34	269,37	1.301,44	15.995,80
	GEN SLU Vento(max)	1	17.821,04	5.457,93	405,60	1.312,26	9.963,39
	GEN SLU Frenamento(max)	1	17.790,67	5.731,47	20,82	1.957,80	9.697,59
	GEN SLU Termico(max)	1	17.880,71	5.516,74	251,69	1.451,06	9.857,07
	GEN SLU Mobili(min)	1	14.378,60	5.204,29	187,94	713,63	-19.098,69
	GEN SLU Vento(min)	1	14.378,79	5.230,66	361,33	775,88	-11.754,49
	GEN SLU Frenamento(min)	1	14.348,43	5.504,20	-23,45	1.421,41	-12.020,29
	GEN SLU Termico(min)	1	14.318,74	5.171,80	207,41	636,95	-11.860,81
	GEN SLU Mobili(max)	2	14.114,09	5.429,88	134,68	1.245,98	46.308,97
	GEN SLU Vento(max)	2	13.095,67	5.432,18	202,80	1.251,39	36.499,92
	GEN SLU Frenamento(max)	2	13.080,48	5.568,95	10,41	1.574,16	36.265,74
	GEN SLU Termico(max)	2	13.125,50	5.461,58	125,84	1.320,79	36.645,77
	GEN SLU Mobili(min)	2	11.374,45	5.305,36	93,97	952,08	-29.587,05
	GEN SLU Vento(min)	2	11.374,54	5.318,54	180,66	983,20	-25.915,59
	GEN SLU Frenamento(min)	2	11.359,36	5.455,31	-11,73	1.305,97	-25.947,21
	GEN SLU Termico(min)	2	11.344,52	5.289,11	103,71	913,74	-25.768,45

AZIONI SOLLECITANTI DI CALCOLO VALUTATA ALLA BASE DELLA ZATTERA IN CORRISPONDENZA DELL'ASSE DEI PALI							
COMBINAZIONI DI CARICO		CONDIZIONE	N _{Sd} [kN]	V _{Sd, LONG} [kN]	V _{Sd, TRASV} [kN]	M _{Sd, LONG} [kNm]	M _{Sd, TRASV} [kNm]
SLV	GEN SLV Long(max)	1-1	10.969,86	6.677,74	708,95	5.754,32	2.241,73
		1-2	10.635,79	6.677,74	708,95	6.060,51	2.241,73
		1-3	10.969,86	6.677,74	40,82	5.754,32	1.364,92
		1-4	10.635,79	6.677,74	40,82	6.060,51	1.364,92
	GEN SLV Trasv(max)	1-1	10.891,20	3.662,41	2.288,42	-55,39	6.155,92
		1-2	10.557,13	3.662,41	2.288,42	250,80	6.155,92
		1-3	10.891,20	2.394,52	2.288,42	-2.137,71	6.155,92
		1-4	10.557,13	2.394,52	2.288,42	-1.831,51	6.155,92
	GEN SLV Vert(max)	1-1	11.424,61	3.665,15	693,51	-406,15	2.250,42
		1-2	11.424,61	3.665,15	25,37	-406,15	1.373,61
		1-3	11.424,61	2.397,26	693,51	-2.494,93	2.250,42
		1-4	11.424,61	2.397,26	25,37	-2.494,93	1.373,61
	GEN SLV Long(min)	1-1	10.415,11	-63,32	-39,09	-7.121,56	-513,06
		1-2	10.081,04	-63,32	-39,09	-6.815,37	-513,06
		1-3	10.415,11	-63,32	-707,23	-7.121,56	-1.389,87
		1-4	10.081,04	-63,32	-707,23	-6.815,37	-1.389,87
	GEN SLV Trasv(min)	1-1	10.493,77	2.820,47	-2.286,70	-2.042,38	-5.304,05
		1-2	10.159,71	2.820,47	-2.286,70	-1.736,19	-5.304,05
		1-3	10.493,77	1.552,58	-2.286,70	-4.124,69	-5.304,05
		1-4	10.159,71	1.552,58	-2.286,70	-3.818,50	-5.304,05
	GEN SLV Vert(min)	1-1	9.626,29	2.817,73	-23,65	-1.385,43	-521,74
		1-2	9.626,29	2.817,73	-691,78	-1.385,43	-1.398,55
		1-3	9.626,29	1.549,84	-23,65	-3.467,75	-521,74
		1-4	9.626,29	1.549,84	-691,78	-3.467,75	-1.398,55
	GEN SLV Long(max)	2-1	8.668,56	6.063,96	521,51	4.305,74	16.689,77
		2-2	8.334,49	6.063,96	521,51	4.611,93	16.689,77
		2-3	8.668,56	6.063,96	-146,63	4.305,74	15.812,96
		2-4	8.334,49	6.063,96	-146,63	4.611,93	15.812,96
	GEN SLV Trasv(max)	2-1	8.629,23	3.466,83	1.700,99	-517,01	18.895,99
		2-2	8.295,16	3.466,83	1.700,99	-210,82	18.895,99
		2-3	8.629,23	2.198,95	1.700,99	-2.599,33	18.895,99
		2-4	8.295,16	2.198,95	1.700,99	-2.293,14	18.895,99
	GEN SLV Vert(max)	2-1	9.090,81	3.468,21	513,79	-871,00	16.910,91
		2-2	9.090,81	3.468,21	-154,35	-871,00	16.034,10
		2-3	9.090,81	2.200,32	513,79	-2.953,32	16.910,91
		2-4	9.090,81	2.200,32	-154,35	-2.953,32	16.034,10
	GEN SLV Long(min)	2-1	8.391,18	580,28	147,49	-5.602,73	-13.536,93
		2-2	8.057,11	580,28	147,49	-5.296,54	-13.536,93
		2-3	8.391,18	580,28	-520,65	-5.602,73	-14.413,74
		2-4	8.057,11	580,28	-520,65	-5.296,54	-14.413,74
	GEN SLV Trasv(min)	2-1	8.430,51	3.045,86	-1.700,13	-1.510,51	-17.144,65
		2-2	8.096,45	3.045,86	-1.700,13	-1.204,31	-17.144,65
		2-3	8.430,51	1.777,98	-1.700,13	-3.592,82	-17.144,65
		2-4	8.096,45	1.777,98	-1.700,13	-3.286,63	-17.144,65
	GEN SLV Vert(min)	2-1	7.634,87	3.045,86	155,21	-850,32	-13.324,48
		2-2	7.634,87	3.045,86	-512,93	-850,32	-14.201,29
		2-3	7.634,87	1.777,98	155,21	-2.932,64	-13.324,48
		2-4	7.634,87	1.777,98	-512,93	-2.932,64	-14.201,29

8.6 PALI DI FONDAZIONE – VALUTAZIONE DELLE AZIONI SOLLECITANTI

Nelle tabelle successive è riportata la determinazione delle azioni sollecitanti sui pali di fondazione per le diverse combinazioni di carico considerate:

Numero di pali di fondazione **10**

	PALO 1	PALO 2	PALO 3	PALO 4	PALO 5	PALO 6	PALO 7	PALO 8	PALO 9	PALO 10	
Y	-16,20	-12,60	-9,00	-5,40	-1,80	1,80	5,40	9,00	12,60	16,20	
Y ²	262,44	158,76	81,00	29,16	3,24	3,24	29,16	81,00	158,76	262,44	1.069,20

COMBINAZIONI DI CARICO	CONDIZIONE	N _{Sd,1} [kN]	N _{Sd,2} [kN]	N _{Sd,3} [kN]	N _{Sd,4} [kN]	N _{Sd,5} [kN]	N _{Sd,6} [kN]	N _{Sd,7} [kN]	N _{Sd,8} [kN]	N _{Sd,9} [kN]	N _{Sd,10} [kN]	M _{Sd} [kNm]	V _{Sd} [kN]		
SLE - QUASI PERMANENTI	GEN Q.P.(max)	1	1.052,33	1.053,76	1.055,20	1.056,63	1.058,06	1.059,50	1.060,93	1.062,37	1.063,80	1.065,23	-239,51	236,89	
	GEN Q.P.(min)	1	1.039,86	1.041,29	1.042,72	1.044,16	1.045,59	1.047,03	1.048,46	1.049,89	1.051,33	1.052,76	-268,43	224,63	
	GEN Q.P.(max)	2	614,47	664,45	714,44	764,42	814,41	864,39	914,38	964,36	1.014,35	1.064,33	-242,07	235,32	
SLE - FREQUENTI	GEN Q.P.(min)	2	614,53	663,12	711,70	760,29	808,87	857,46	906,04	954,63	1.003,21	1.051,80	-243,22	229,19	
	GEN FREQ Mobil(max)	1	1.192,87	1.216,78	1.240,69	1.264,60	1.288,50	1.312,41	1.336,32	1.360,23	1.384,14	1.408,05	12,12	361,91	
	GEN FREQ Vento(max)	1	1.053,12	1.054,38	1.055,64	1.056,90	1.058,16	1.059,42	1.060,68	1.061,94	1.063,20	1.064,46	9,81	360,93	
	GEN FREQ Termino(max)	1	1.051,74	1.053,58	1.055,42	1.057,27	1.059,11	1.060,95	1.062,79	1.064,63	1.066,47	1.068,32	12,71	362,19	
	GEN FREQ Mobil(min)	1	1.181,29	1.151,30	1.121,30	1.091,30	1.061,31	1.031,31	1.001,31	971,32	941,32	911,33	-25,68	345,89	
	GEN FREQ Vento(min)	1	1.041,82	1.042,82	1.043,82	1.044,82	1.045,82	1.046,82	1.047,81	1.048,81	1.049,81	1.050,81	-19,12	348,68	
	GEN FREQ Termino(min)	1	1.036,77	1.038,62	1.040,46	1.042,30	1.044,14	1.045,98	1.047,82	1.049,67	1.051,51	1.053,35	-22,01	347,48	
	GEN FREQ Mobil(max)	2	562,62	650,98	739,34	827,70	916,06	1.004,42	1.092,78	1.181,14	1.269,50	1.357,86	7,25	359,84	
	GEN FREQ Vento(max)	2	614,86	664,76	714,66	764,56	814,46	864,35	914,25	964,15	1.014,05	1.063,95	6,09	359,36	
	GEN FREQ Termino(max)	2	613,54	663,87	714,20	764,53	814,86	865,19	915,52	965,85	1.016,18	1.066,51	7,54	359,98	
	GEN FREQ Mobil(min)	2	1.116,06	1.053,20	990,33	927,46	864,60	801,73	738,87	676,00	613,14	550,27	-11,66	351,84	
	GEN FREQ Vento(min)	2	615,51	663,88	712,25	760,62	808,98	857,35	905,72	954,09	1.002,46	1.050,82	-8,37	353,23	
	GEN FREQ Termino(min)	2	613,62	662,27	710,92	759,57	808,22	856,87	905,51	954,16	1.002,81	1.051,46	-9,82	352,62	
	SLE - RARE	GEN RARA Mobil(max)	1	1.274,01	1.313,70	1.353,39	1.393,08	1.432,77	1.472,46	1.512,15	1.551,84	1.591,54	1.631,23	97,33	404,55
		GEN RARA Vento(max)	1	1.190,95	1.215,57	1.240,19	1.264,81	1.289,43	1.314,05	1.338,67	1.363,29	1.387,91	1.412,53	98,13	405,40
GEN RARA Frenam(max)		1	1.191,39	1.215,41	1.239,43	1.263,46	1.287,48	1.311,50	1.335,53	1.359,55	1.383,57	1.407,59	145,95	424,75	
GEN RARA Termino(max)		1	1.197,00	1.221,38	1.245,76	1.270,14	1.294,52	1.318,90	1.343,29	1.367,67	1.392,05	1.416,43	109,70	409,73	
GEN RARA Mobil(min)		1	1.260,35	1.212,51	1.164,67	1.116,84	1.069,00	1.021,16	973,33	925,49	877,65	829,81	49,93	384,25	
GEN RARA Vento(min)		1	1.178,05	1.148,51	1.118,96	1.089,41	1.059,87	1.030,32	1.000,77	971,23	941,68	912,13	54,54	386,75	
GEN RARA Frenam(min)		1	1.178,49	1.148,35	1.118,21	1.088,06	1.057,92	1.027,78	997,63	967,49	937,35	907,20	102,36	406,28	
GEN RARA Termino(min)		1	1.174,13	1.144,34	1.114,56	1.084,77	1.054,98	1.025,20	995,41	965,63	935,84	906,06	42,96	381,35	
GEN RARA Mobil(max)		2	526,30	639,64	752,98	866,31	979,65	1.092,99	1.206,32	1.319,66	1.433,00	1.546,34	91,40	401,74	
GEN RARA Vento(max)		2	561,01	649,87	738,73	827,59	916,45	1.005,31	1.094,17	1.183,03	1.271,89	1.360,75	91,80	402,04	
GEN RARA Frenam(max)		2	562,37	650,68	738,98	827,29	915,60	1.003,91	1.092,22	1.180,53	1.268,84	1.357,15	115,71	411,94	
GEN RARA Termino(max)		2	561,52	650,82	740,12	829,42	918,72	1.008,02	1.097,32	1.186,61	1.275,91	1.365,21	97,59	404,35	
GEN RARA Mobil(min)		2	1.154,97	1.083,32	1.011,67	940,02	868,38	796,73	725,08	653,43	581,78	510,13	67,70	391,64	
GEN RARA Vento(min)		2	1.113,83	1.051,32	988,82	926,31	863,81	801,31	738,80	676,30	613,79	551,29	70,01	392,75	
GEN RARA Frenam(min)		2	1.112,91	1.050,36	987,81	925,26	862,71	800,16	737,61	675,06	612,51	549,96	93,92	402,70	
GEN RARA Termino(min)		2	1.109,34	1.047,27	985,21	923,15	861,09	799,03	736,96	674,90	612,84	550,78	64,22	390,18	
SLU - STR		GEN SLU Mobil(max)	1	1.743,43	1.797,28	1.851,14	1.905,00	1.958,86	2.012,72	2.066,57	2.120,43	2.174,29	2.228,15	130,14	546,00
		GEN SLU Vento(max)	1	1.631,14	1.664,69	1.698,24	1.731,78	1.765,33	1.798,88	1.832,42	1.865,97	1.899,52	1.933,06	131,23	547,30
	GEN SLU Frenamento(max)	1	1.632,13	1.664,79	1.697,44	1.730,09	1.762,74	1.795,39	1.828,04	1.860,70	1.893,35	1.926,00	195,78	573,15	
	GEN SLU Termino(max)	1	1.638,72	1.671,91	1.705,10	1.738,29	1.771,48	1.804,67	1.837,85	1.871,04	1.904,23	1.937,42	145,11	552,25	
	GEN SLU Mobil(min)	1	1.727,23	1.662,93	1.598,62	1.534,32	1.470,01	1.405,71	1.341,40	1.277,10	1.212,79	1.148,49	71,36	520,77	
	GEN SLU Vento(min)	1	1.615,98	1.576,40	1.536,82	1.497,25	1.457,67	1.418,09	1.378,51	1.338,94	1.299,36	1.259,78	77,59	524,31	
	GEN SLU Frenamento(min)	1	1.616,97	1.576,50	1.536,02	1.495,55	1.455,08	1.414,61	1.374,13	1.333,66	1.293,19	1.252,72	142,14	550,42	
	GEN SLU Termino(min)	1	1.611,58	1.571,65	1.531,71	1.491,78	1.451,84	1.411,91	1.371,97	1.332,04	1.292,10	1.252,16	63,70	517,60	
	GEN SLU Mobil(max)	2	709,76	865,68	1.021,60	1.177,52	1.333,45	1.489,37	1.645,29	1.801,21	1.957,14	2.113,06	124,60	543,16	
	GEN SLU Vento(max)	2	756,54	879,43	1.002,33	1.125,22	1.248,12	1.371,01	1.493,91	1.616,81	1.739,70	1.862,60	125,14	543,60	
	GEN SLU Frenamento(max)	2	758,57	880,67	1.002,78	1.124,89	1.246,99	1.369,10	1.491,21	1.613,32	1.735,42	1.857,53	157,42	556,90	
	GEN SLU Termino(max)	2	757,31	880,70	1.004,08	1.127,47	1.250,86	1.374,24	1.497,63	1.621,02	1.744,40	1.867,79	132,08	546,30	
	GEN SLU Mobil(min)	2	1.585,73	1.486,11	1.386,49	1.286,87	1.187,25	1.087,64	988,02	888,40	788,78	689,16	95,21	530,62	
	GEN SLU Vento(min)	2	1.530,11	1.442,86	1.355,60	1.268,34	1.181,08	1.093,83	1.006,57	919,31	832,05	744,79	98,32	532,16	
	GEN SLU Frenamento(min)	2	1.529,08	1.441,71	1.354,35	1.266,98	1.179,62	1.092,25	1.004,89	917,53	830,16	742,80	130,60	545,53	
GEN SLU Termino(min)	2	1.524,88	1.438,12	1.351,36	1.264,60	1.177,83	1.091,07	1.004,31	917,55	830,78	744,02	91,37	529,01		

VIADOTTO FF.SS. - RELAZIONE DI CALCOLO SPALLE

Numero di pali di fondazione

	PALO 1	PALO 2	PALO 3	PALO 4	PALO 5	PALO 6	PALO 7	PALO 8	PALO 9	PALO 10	
Y	-16,20	-12,60	-9,00	-5,40	-1,80	1,80	5,40	9,00	12,60	16,20	
Y ²	262,44	158,76	81,00	29,16	3,24	3,24	29,16	81,00	158,76	262,44	1.069,20

COMBINAZIONI DI CARICO		CONDIZIONE	N _{Sd,1} [kN]	N _{Sd,2} [kN]	N _{Sd,3} [kN]	N _{Sd,4} [kN]	N _{Sd,5} [kN]	N _{Sd,6} [kN]	N _{Sd,7} [kN]	N _{Sd,8} [kN]	N _{Sd,9} [kN]	N _{Sd,10} [kN]	M _{Sd} [kNm]	V _{Sd} [kN]		
SLV	GEN SLV Long(max)	1-1	1.063,02	1.070,57	1.078,12	1.085,66	1.093,21	1.100,76	1.108,31	1.115,86	1.123,40	1.130,95	1.138,50	575,43	671,53	
		1-2	1.029,61	1.037,16	1.044,71	1.052,26	1.059,81	1.067,35	1.074,90	1.082,45	1.090,00	1.097,55	1.105,10	606,05	671,53	
		1-3	1.076,31	1.080,90	1.085,50	1.090,09	1.094,69	1.099,28	1.103,88	1.108,48	1.113,07	1.117,67	1.122,27	575,43	667,79	
		1-4	1.042,90	1.047,49	1.052,09	1.056,69	1.061,28	1.065,88	1.070,47	1.075,07	1.079,66	1.084,26	1.088,86	606,05	667,79	
	GEN SLV Trasv(max)	1-1	995,85	1.016,58	1.037,30	1.058,03	1.078,76	1.099,48	1.120,21	1.140,94	1.161,66	1.182,39	1.203,12	-5,54	431,86	
		1-2	962,44	983,17	1.003,90	1.024,62	1.045,35	1.066,08	1.086,80	1.107,53	1.128,26	1.148,99	1.169,72	25,08	431,86	
		1-3	995,85	1.016,58	1.037,30	1.058,03	1.078,76	1.099,48	1.120,21	1.140,94	1.161,66	1.182,39	1.203,12	-213,77	331,22	
		1-4	962,44	983,17	1.003,90	1.024,62	1.045,35	1.066,08	1.086,80	1.107,53	1.128,26	1.148,99	1.169,72	-183,15	331,22	
	GEN SLV Ver(max)	1-1	1.108,36	1.115,94	1.123,52	1.131,10	1.138,67	1.146,25	1.153,83	1.161,40	1.168,98	1.176,56	1.184,14	1.176,56	-40,61	373,02
		1-2	1.121,65	1.126,27	1.130,90	1.135,52	1.140,15	1.144,77	1.149,40	1.154,02	1.158,65	1.163,27	1.167,90	1.163,27	-40,61	366,52
		1-3	1.108,36	1.115,94	1.123,52	1.131,10	1.138,67	1.146,25	1.153,83	1.161,40	1.168,98	1.176,56	1.184,14	1.176,56	-249,49	249,56
		1-4	1.121,65	1.126,27	1.130,90	1.135,52	1.140,15	1.144,77	1.149,40	1.154,02	1.158,65	1.163,27	1.167,90	1.163,27	-249,49	239,74
	GEN SLV Long(min)	1-1	1.049,28	1.047,56	1.045,83	1.044,10	1.042,37	1.040,65	1.038,92	1.037,19	1.035,46	1.033,74	1.032,01	-712,16	7,44	
		1-2	1.015,88	1.014,15	1.012,42	1.010,70	1.008,97	1.007,24	1.005,51	1.003,79	1.002,06	1.000,33	988,57	-681,54	7,44	
		1-3	1.062,57	1.057,89	1.053,21	1.048,53	1.043,85	1.039,17	1.034,49	1.029,81	1.025,13	1.020,45	1.015,77	-712,16	71,01	
		1-4	1.029,16	1.024,48	1.019,80	1.015,12	1.010,44	1.005,76	1.001,08	996,41	991,73	987,05	982,37	-681,54	71,01	
	GEN SLV Trasv(min)	1-1	1.129,74	1.111,88	1.094,02	1.076,17	1.058,31	1.040,45	1.022,59	1.004,73	986,87	969,01	951,15	-204,24	363,10	
		1-2	1.096,34	1.078,48	1.060,62	1.042,76	1.024,90	1.007,04	989,18	971,32	953,46	935,61	917,75	-173,62	363,10	
		1-3	1.129,74	1.111,88	1.094,02	1.076,17	1.058,31	1.040,45	1.022,59	1.004,73	986,87	969,01	951,15	-412,47	276,40	
		1-4	1.096,34	1.078,48	1.060,62	1.042,76	1.024,90	1.007,04	989,18	971,32	953,46	935,61	917,75	-381,85	276,40	
	GEN SLV Ver(min)	1-1	970,53	968,78	967,02	965,26	963,51	961,75	959,99	958,24	956,48	954,72	952,97	-138,54	281,78	
		1-2	983,82	979,11	974,40	969,69	964,98	960,27	955,57	950,86	946,15	941,44	936,73	-138,54	290,14	
		1-3	970,53	968,78	967,02	965,26	963,51	961,75	959,99	958,24	956,48	954,72	952,97	-346,77	155,00	
		1-4	983,82	979,11	974,40	969,69	964,98	960,27	955,57	950,86	946,15	941,44	936,73	-346,77	169,72	
	GEN SLV Long(max)	2-1	613,98	670,17	726,37	782,56	838,76	894,95	951,15	1.007,34	1.063,54	1.119,73	1.175,93	430,57	608,63	
		2-2	580,57	636,77	692,96	749,16	805,35	861,55	917,74	973,94	1.030,13	1.086,33	1.142,52	461,19	608,63	
		2-3	627,27	680,51	733,75	786,99	840,23	893,48	946,72	999,96	1.053,20	1.106,45	1.159,69	430,57	606,57	
		2-4	593,86	647,10	700,34	753,59	806,83	860,07	913,31	966,55	1.019,80	1.073,04	1.126,28	461,19	606,57	
	GEN SLV Trasv(max)	2-1	576,62	640,24	703,87	767,49	831,11	894,73	958,36	1.021,98	1.085,60	1.149,23	1.212,85	-51,70	386,16	
		2-2	543,21	606,84	670,46	734,08	797,70	861,33	924,95	988,57	1.052,20	1.115,82	1.179,45	-21,08	386,16	
		2-3	576,62	640,24	703,87	767,49	831,11	894,73	958,36	1.021,98	1.085,60	1.149,23	1.212,85	-259,93	278,01	
		2-4	543,21	606,84	670,46	734,08	797,70	861,33	924,95	988,57	1.052,20	1.115,82	1.179,45	-229,31	278,01	
	GEN SLV Ver(max)	2-1	652,85	709,79	766,73	823,67	880,61	937,55	994,49	1.051,43	1.108,37	1.165,31	1.222,25	-87,10	350,61	
		2-2	666,14	720,13	774,11	828,10	882,09	936,07	990,06	1.044,05	1.098,03	1.152,02	1.206,01	-87,10	347,16	
		2-3	652,85	709,79	766,73	823,67	880,61	937,55	994,49	1.051,43	1.108,37	1.165,31	1.222,25	-295,33	225,95	
		2-4	666,14	720,13	774,11	828,10	882,09	936,07	990,06	1.044,05	1.098,03	1.152,02	1.206,01	-295,33	220,57	
	GEN SLV Long(min)	2-1	1.044,22	998,64	953,07	907,49	861,91	816,33	770,75	725,17	679,59	634,01	588,43	-560,27	59,87	
		2-2	1.010,82	965,24	919,66	874,08	828,50	782,92	737,34	691,76	646,19	600,61	555,03	-529,65	59,87	
		2-3	1.057,51	1.008,98	960,45	911,91	863,38	814,85	766,32	717,79	669,26	620,73	572,20	-560,27	77,96	
		2-4	1.024,10	975,57	927,04	878,51	829,98	781,45	732,91	684,38	635,85	587,32	538,79	-529,65	77,96	
	GEN SLV Trasv(min)	2-1	1.102,82	1.045,09	987,37	929,64	871,91	814,19	756,46	698,74	641,01	583,28	525,55	-151,05	348,82	
		2-2	1.069,41	1.011,69	953,96	896,23	838,51	780,78	723,06	665,33	607,60	549,88	492,15	-120,43	348,82	
		2-3	1.102,82	1.045,09	987,37	929,64	871,91	814,19	756,46	698,74	641,01	583,28	525,55	-359,28	246,00	
		2-4	1.069,41	1.011,69	953,96	896,23	838,51	780,78	723,06	665,33	607,60	549,88	492,15	-328,66	246,00	
	GEN SLV Ver(min)	2-1	965,37	920,51	875,65	830,78	785,92	741,05	696,19	651,33	606,46	561,60	516,74	-85,03	304,98	
		2-2	978,66	930,84	883,03	835,21	787,39	739,58	691,76	643,95	596,13	548,32	490,46	-85,03	304,98	
		2-3	965,37	920,51	875,65	830,78	785,92	741,05	696,19	651,33	606,46	561,60	516,74	-293,26	178,47	
		2-4	978,66	930,84	883,03	835,21	787,39	739,58	691,76	643,95	596,13	548,32	490,46	-293,26	185,05	

Nella tabella successiva sono riepilogati i valori massimi e minimi delle azioni normali agenti sui pali di fondazione:

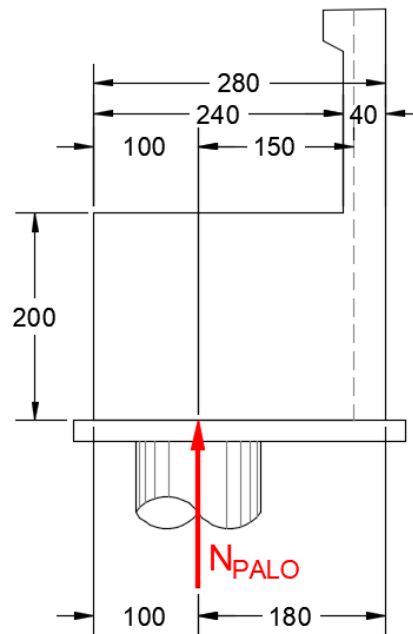
COMBINAZIONE	N _{Sd,MAX} [kN]	N _{Sd,MIN} [kN]
SLE - QUASI PERMANENTE	1.065,23	614,47
SLE - FREQUENTE	1.408,05	550,27
SLE - RARA	1.631,23	510,13
SLU - STR	2.228,15	689,16
SLV	1.182,39	543,21

8.7 TRAVE A CUSCINO – VERIFICHE STRUTTURALI IN DIREZIONE TRASVERSALE

La verifica trave a cuscino in direzione trasversale è stata condotta con il metodo degli stati limite, calcolando la capacità ultima di resistenza dell'elemento strutturale rispetto ai principali meccanismi di collasso individuabili.

È necessario osservare che, dato il valore dei rapporti altezza – piede di monte della zattera, la mensola da verificare è di tipo "tozzo". Pertanto non può essere impiegata la "teoria della trave", ma è più opportuno adottare una schematizzazione a traliccio basata sull'ipotesi di un meccanismo di trasferimento degli sforzi a "tirante di acciaio" – "puntone di cls" che meglio rappresenta il reale andamento delle tensioni all'interno dei materiali costituenti l'elemento.

Per la verifica della fondazione è necessario per prima cosa stabilire la larghezza di zattera di fondazione competente al singolo palo, da assumere per il meccanismo resistente a tirante-puntone. Questo valore si ottiene considerando l'interasse tra i pali di fondazione ed è pari a 360 cm.



Di seguito si assume quindi un sistema a tirante-puntone isolato dal resto del plinto e di larghezza pari a **3,60 m**, nel quale il tirante è costituito da **18Ø20** (Area: **56,52 cm²**).

La reazione normale massima trasmessa dal singolo palo di fondazione vale:

- SLE – QUASI PERMANENTE → **N_{Sd} = 1.065,23 kN**
- SLE – FREQUENTE → **N_{Sd} = 1.408,05 kN**
- SLE – RARA → **N_{Sd} = 1.631,23 kN**
- SLU – STR → **N_{Sd} = 2.228,15 kN**
- SLV → **N_{Sd} = 1.182,39 kN**

Detta **h = 1,95 m** la distanza del baricentro del tirante inferiore dal lembo compresso superiore ed assumendo quale braccio **b** della mensola tozza, quello che va dal centro dei pali ad ¼ dello spessore del muro in elevazione, e pertanto **b = 1,50 m**, si calcola la risultante ultima resistente sull'insieme dei pali di bordo in direzione trasversale, assumendo:

- **σ_s = 360,00 N/mm²** (tensione limite definita per le verifiche di limitazione delle tensioni in esercizio)
- **f_{yd} = 391,30 N/mm²** (resistenza di calcolo dell'acciaio)

8.8 STATO LIMITE DI ESERCIZIO – COMBINAZIONE QUASI PERMANENTE

La resistenza massima del tirante in acciaio vale:

$$T_{Rd} = A_s \cdot \sigma_s \cdot \frac{h}{d} = \left[(56,52 \cdot 10^2) \cdot 360,00 \cdot \frac{1,95}{1,50} \right] \cdot 10^{-3} = 2.645,14 \text{ kN} > N_{Sd} = 1.065,23 \text{ kN}$$

La tensione massima sul puntone compresso in calcestruzzo vale:

$$\sigma_c = \frac{N_{Sd}}{(0,2 \cdot h \cdot l) \cdot (\text{sen}(\arctan(\frac{h}{b})))} = \frac{1.065,23 \cdot 10^3}{(0,2 \cdot 1,95 \cdot 3,60) \cdot 10^6 \cdot (\text{sen}(\arctan(\frac{1,95}{1,50})))} = 0,96 \frac{N}{\text{mm}^2} < 0,45 \cdot f_{ck} = 13,07 \frac{N}{\text{mm}^2}$$

8.9 STATO LIMITE DI ESERCIZIO – COMBINAZIONE FREQUENTE

La resistenza massima del tirante in acciaio vale:

$$T_{Rd} = A_s \cdot \sigma_s \cdot \frac{h}{d} = \left[(56,52 \cdot 10^2) \cdot 360,00 \cdot \frac{1,95}{1,50} \right] \cdot 10^{-3} = 2.645,14 \text{ kN} > N_{Sd} = 1.408,05 \text{ kN}$$

La tensione massima sul puntone compresso in calcestruzzo vale:

$$\sigma_c = \frac{N_{Sd}}{(0,2 \cdot h \cdot l) \cdot (\text{sen}(\arctan(\frac{h}{b})))} = \frac{1.408,05 \cdot 10^3}{(0,2 \cdot 1,95 \cdot 3,60) \cdot 10^6 \cdot (\text{sen}(\arctan(\frac{1,95}{1,50})))} = 1,27 \frac{N}{\text{mm}^2} < 0,45 \cdot f_{ck} = 13,07 \frac{N}{\text{mm}^2}$$

8.10 STATO LIMITE DI ESERCIZIO – COMBINAZIONE RARA

La resistenza massima del tirante in acciaio vale:

$$T_{Rd} = A_s \cdot \sigma_s \cdot \frac{h}{d} = \left[(56,52 \cdot 10^2) \cdot 360,00 \cdot \frac{1,95}{1,50} \right] \cdot 10^{-3} = 2.645,14 \text{ kN} > N_{Sd} = 1.631,23 \text{ kN}$$

La tensione massima sul puntone compresso in calcestruzzo vale:

$$\sigma_c = \frac{N_{Sd}}{(0,2 \cdot h \cdot l) \cdot (\text{sen}(\arctan(\frac{h}{b})))} = \frac{1.631,23 \cdot 10^3}{(0,2 \cdot 1,95 \cdot 3,60) \cdot 10^6 \cdot (\text{sen}(\arctan(\frac{1,95}{1,50})))} = 1,47 \frac{N}{\text{mm}^2} < 0,60 \cdot f_{ck} = 17,43 \frac{N}{\text{mm}^2}$$

8.11 STATO LIMITE ULTIMO – STR

La resistenza massima del tirante in acciaio vale:

$$T_{Rd} = A_s \cdot \sigma_s \cdot \frac{h}{d} = \left[(56,52 \cdot 10^2) \cdot 391,30 \cdot \frac{1,95}{1,50} \right] \cdot 10^{-3} = 2.875,12 \text{ kN} > N_{Sd} = 2.228,15 \text{ kN}$$

La tensione massima sul puntone compresso in calcestruzzo vale:

$$\sigma_c = \frac{N_{Sd}}{(0,2 \cdot h \cdot l) \cdot (\text{sen}(\arctan(\frac{h}{b})))} = \frac{2.228,15 \cdot 10^3}{(0,2 \cdot 1,95 \cdot 3,60) \cdot 10^6 \cdot (\text{sen}(\arctan(\frac{1,95}{1,50})))} = 2,00 \frac{N}{\text{mm}^2} < f_{cd} = 19,36 \frac{N}{\text{mm}^2}$$

8.12 STATO LIMITE DI SALVAGUARDIA DELLA VITA

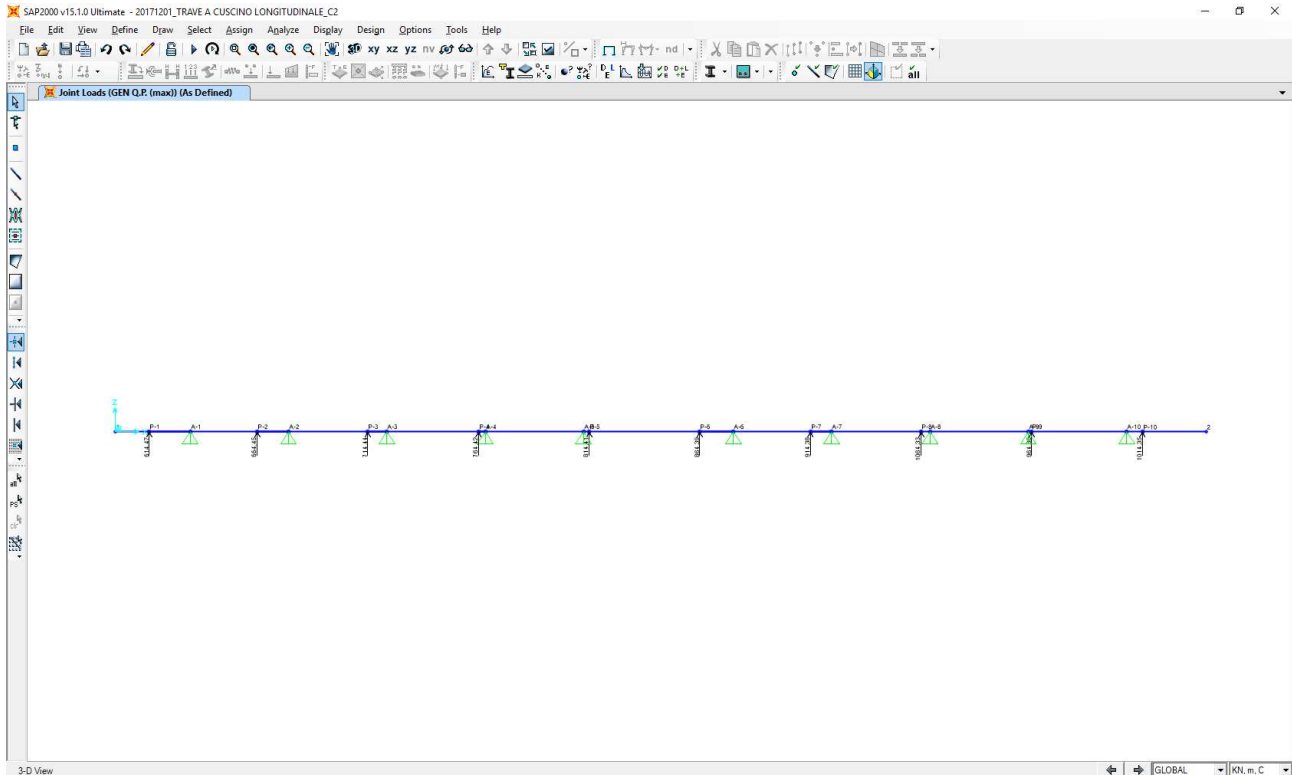
La resistenza massima del tirante in acciaio vale:

$$T_{Rd} = A_s \cdot \sigma_s \cdot \frac{h}{d} = \left[(56,52 \cdot 10^2) \cdot 391,30 \cdot \frac{1,95}{1,50} \right] \cdot 10^{-3} = 2.875,12 \text{ kN} > N_{Sd} = 1.182,39 \text{ kN}$$

La tensione massima sul puntone compresso in calcestruzzo vale:

$$\sigma_c = \frac{N_{Sd}}{(0,2 \cdot h \cdot l) \cdot (\text{sen}(\arctan(\frac{h}{b})))} = \frac{1.182,39 \cdot 10^3}{(0,2 \cdot 1,95 \cdot 3,60) \cdot 10^6 \cdot (\text{sen}(\arctan(\frac{1,95}{1,50})))} = 1,06 \frac{N}{\text{mm}^2} < f_{cd} = 19,36 \frac{N}{\text{mm}^2}$$

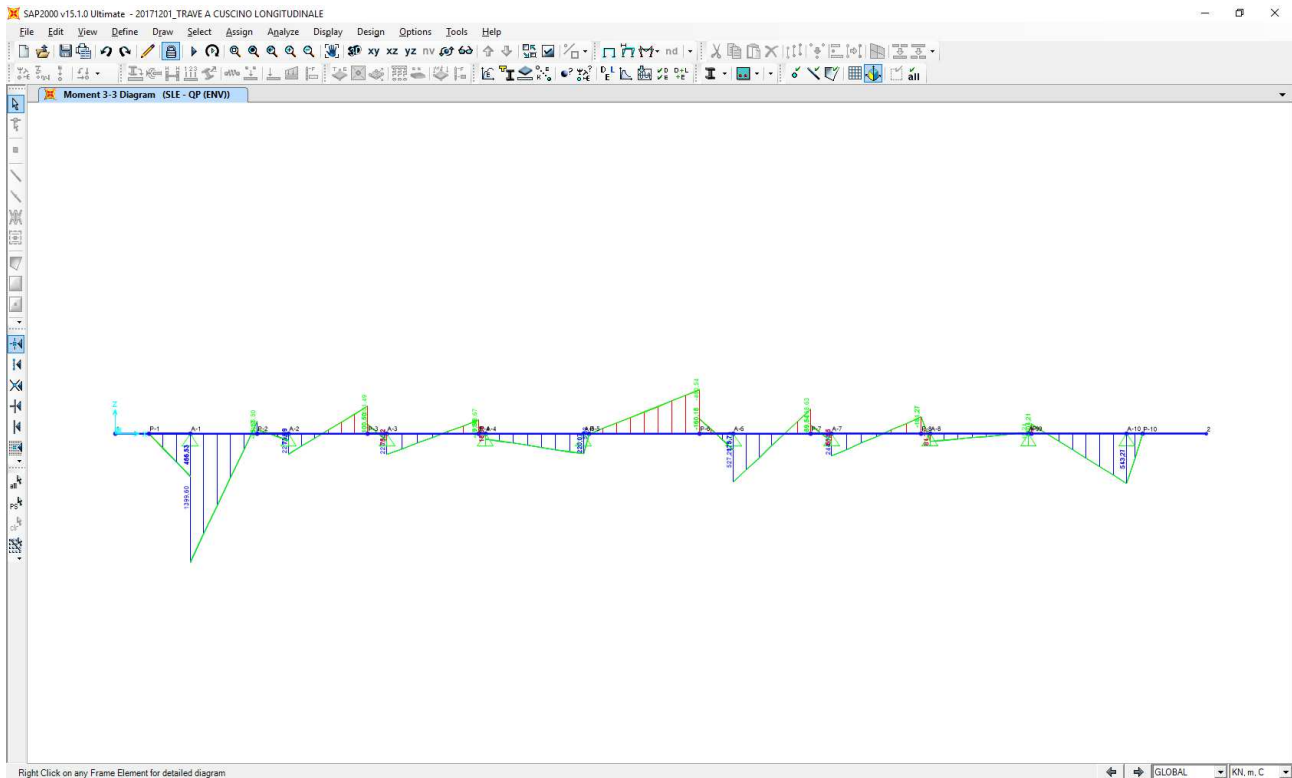
CONDIZIONE 2



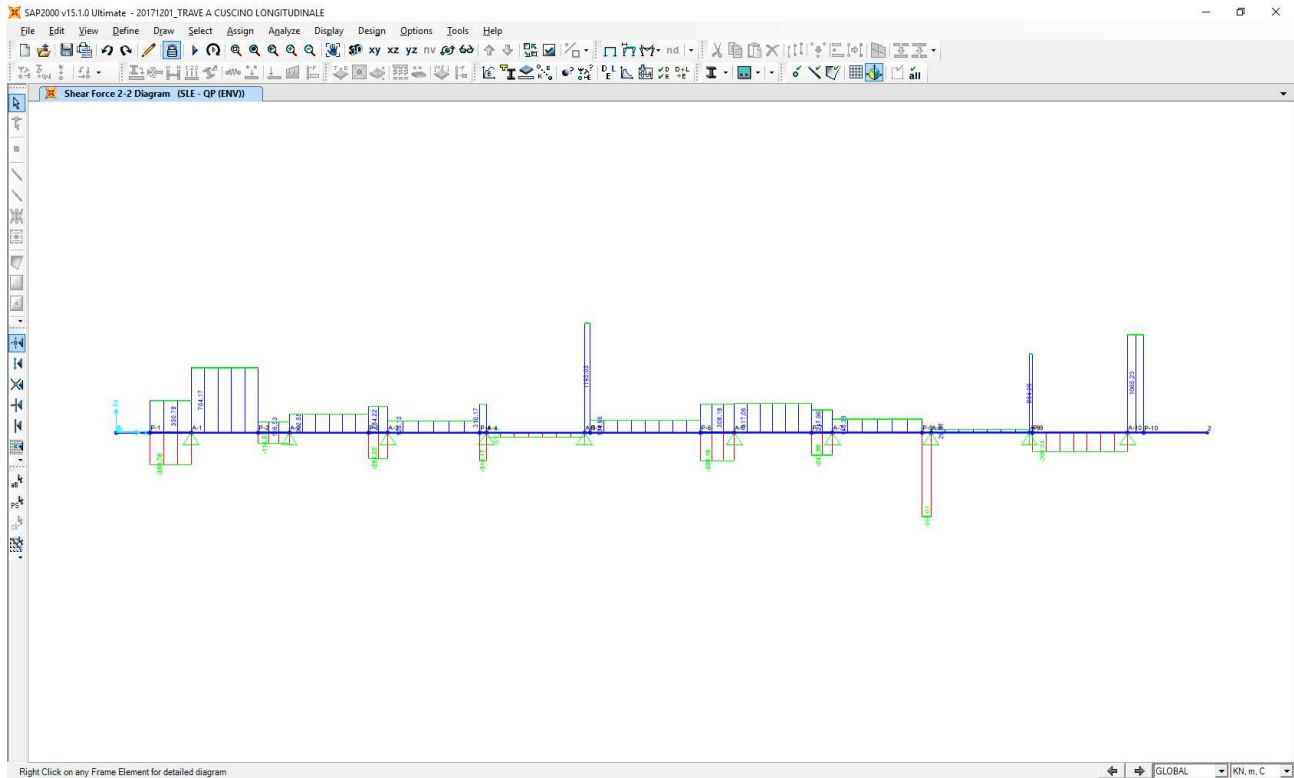
8.13.1 VALUTAZIONE DELLE AZIONI SOLLECITANTI

CONDIZIONE 1 – COMBINAZIONE SLE – QUASI PERMANENTE

Nell'immagine successiva è riportato l'andamento del momento flettente per la combinazione di inviluppo delle combinazioni allo SLE – Quasi Permanenti:

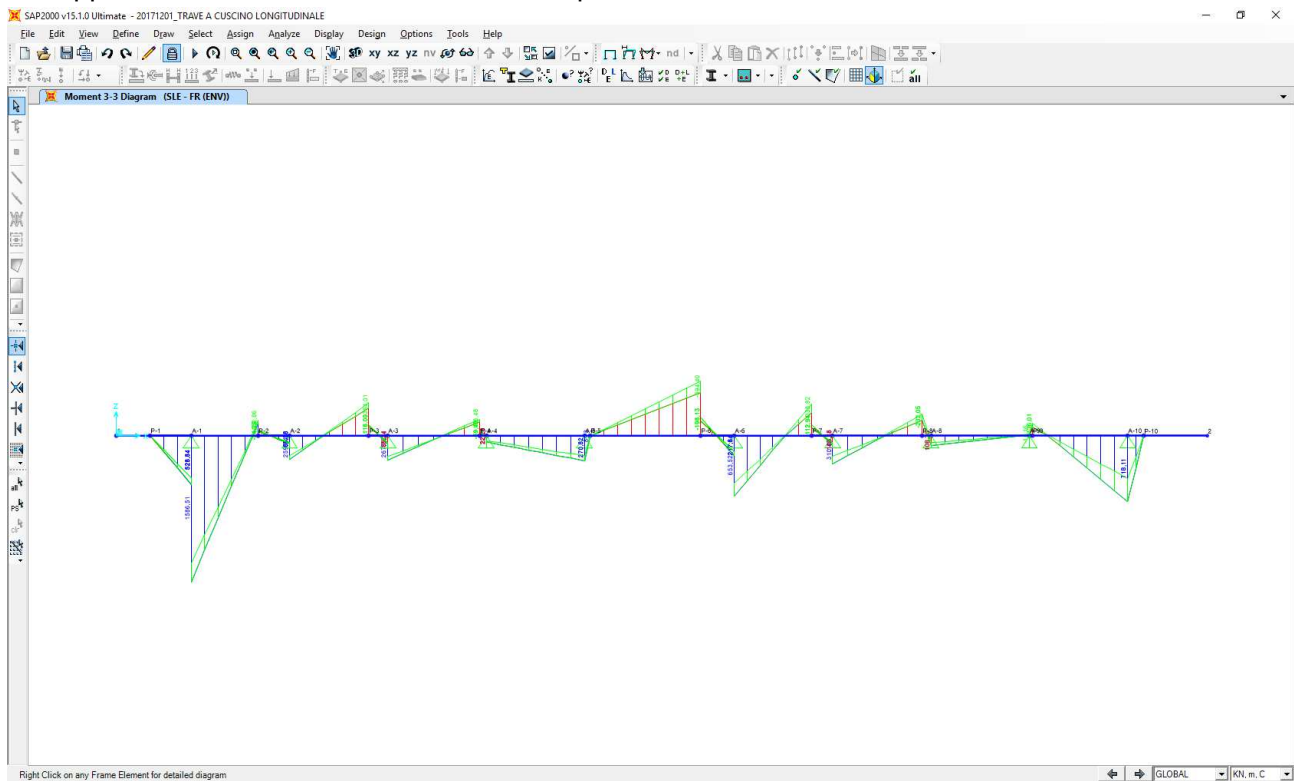


Nell'immagine successiva è riportato l'andamento del taglio per la combinazione di involucro delle combinazioni allo SLE – Quasi Permanenti:

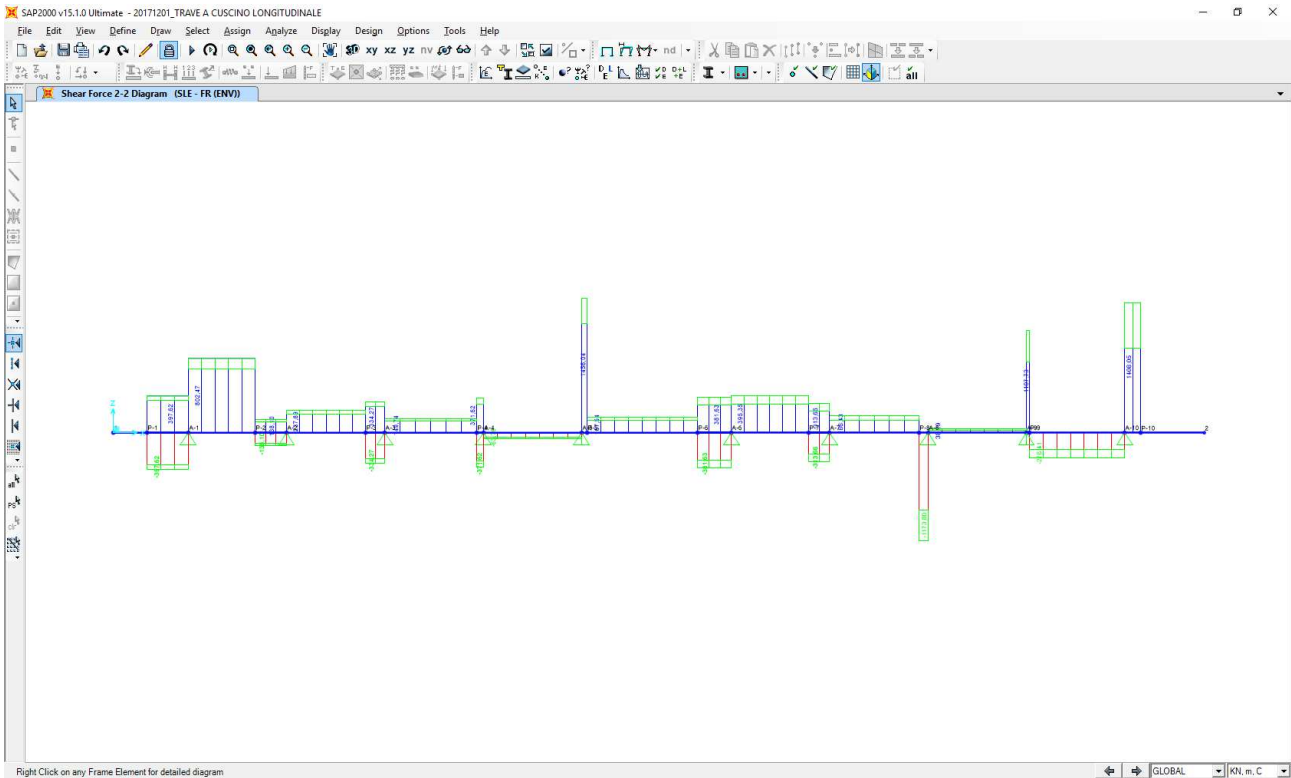


CONDIZIONE 1 – COMBINAZIONE SLE – FREQUENTE

Nell'immagine successiva è riportato l'andamento del momento flettente per la combinazione di involucro delle combinazioni allo SLE – Frequenti:

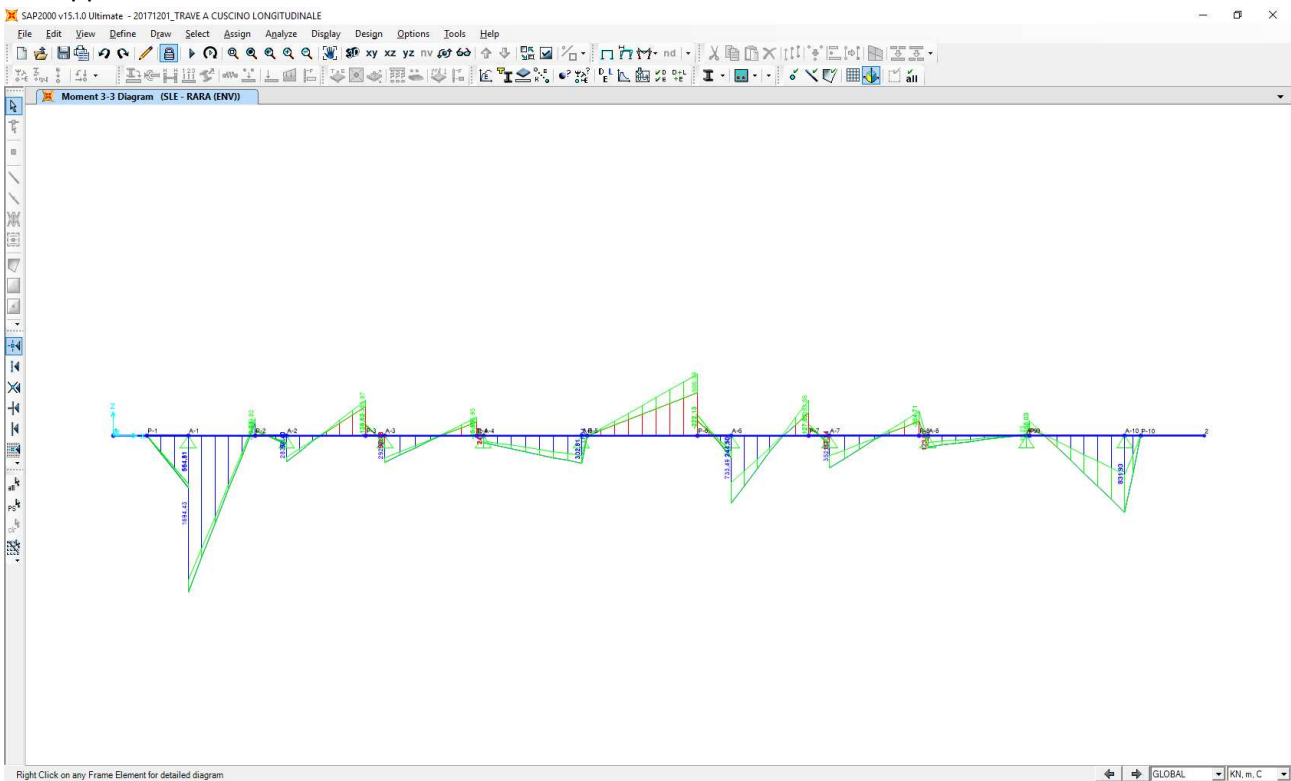


Nell'immagine successiva è riportato l'andamento del taglio per la combinazione di involucro delle combinazioni allo SLE – Frequenti:

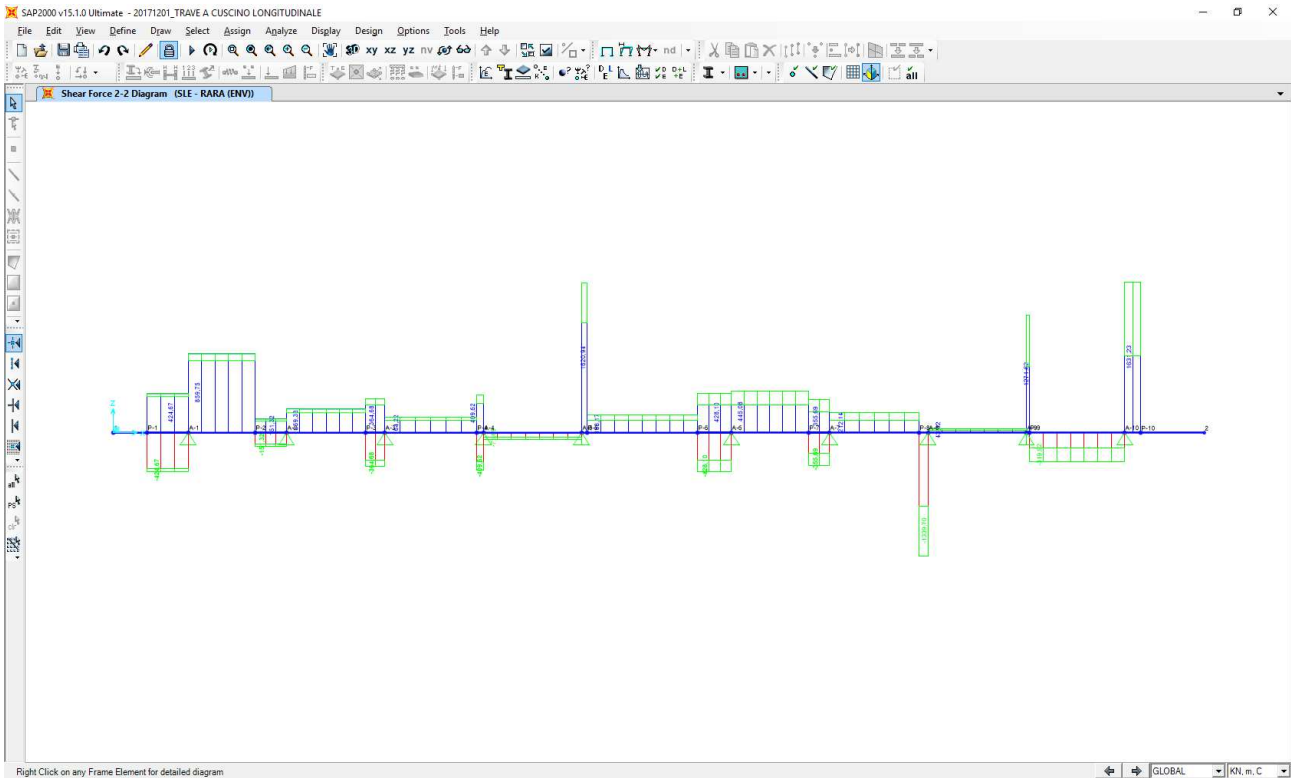


CONDIZIONE 1 – COMBINAZIONE SLE – RARA

Nell'immagine successiva è riportato l'andamento del momento flettente per la combinazione di involucro delle combinazioni allo SLE – Rare:

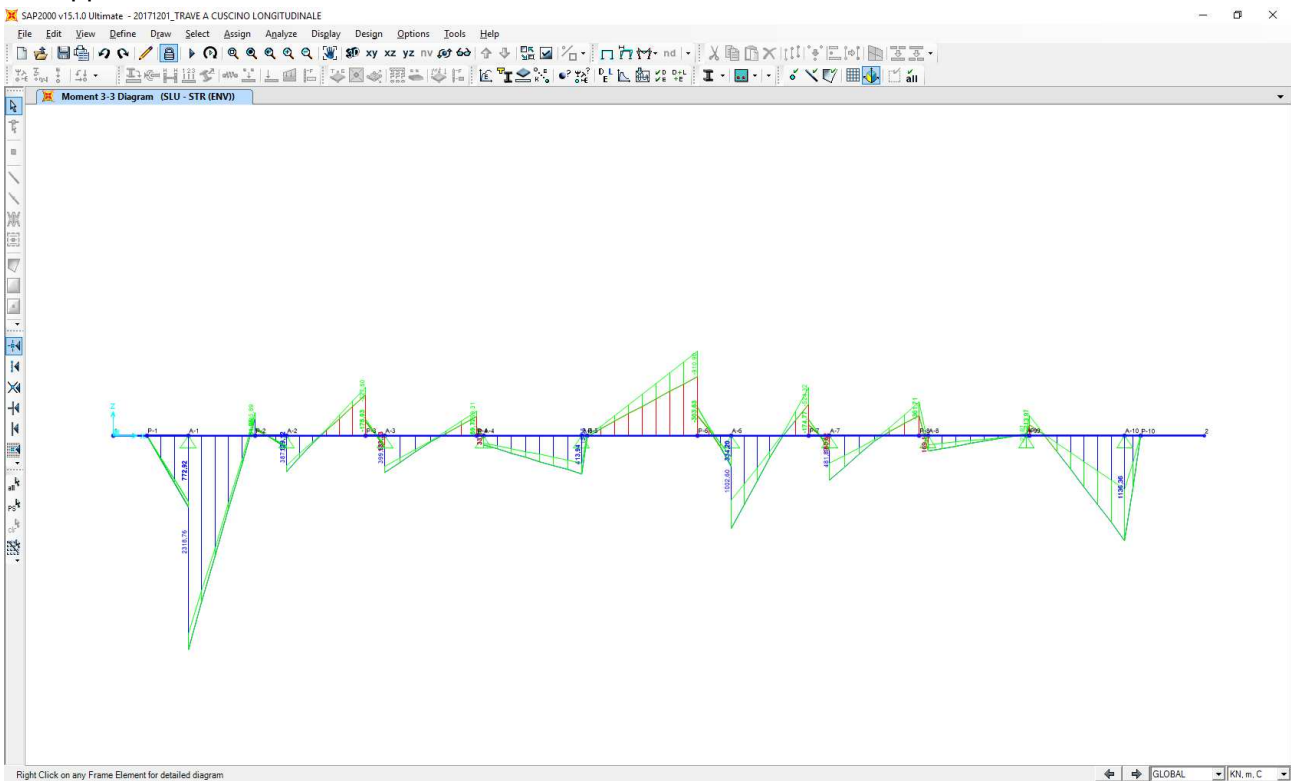


Nell'immagine successiva è riportato l'andamento del taglio per la combinazione di involuppo delle combinazioni allo SLE – Rare:

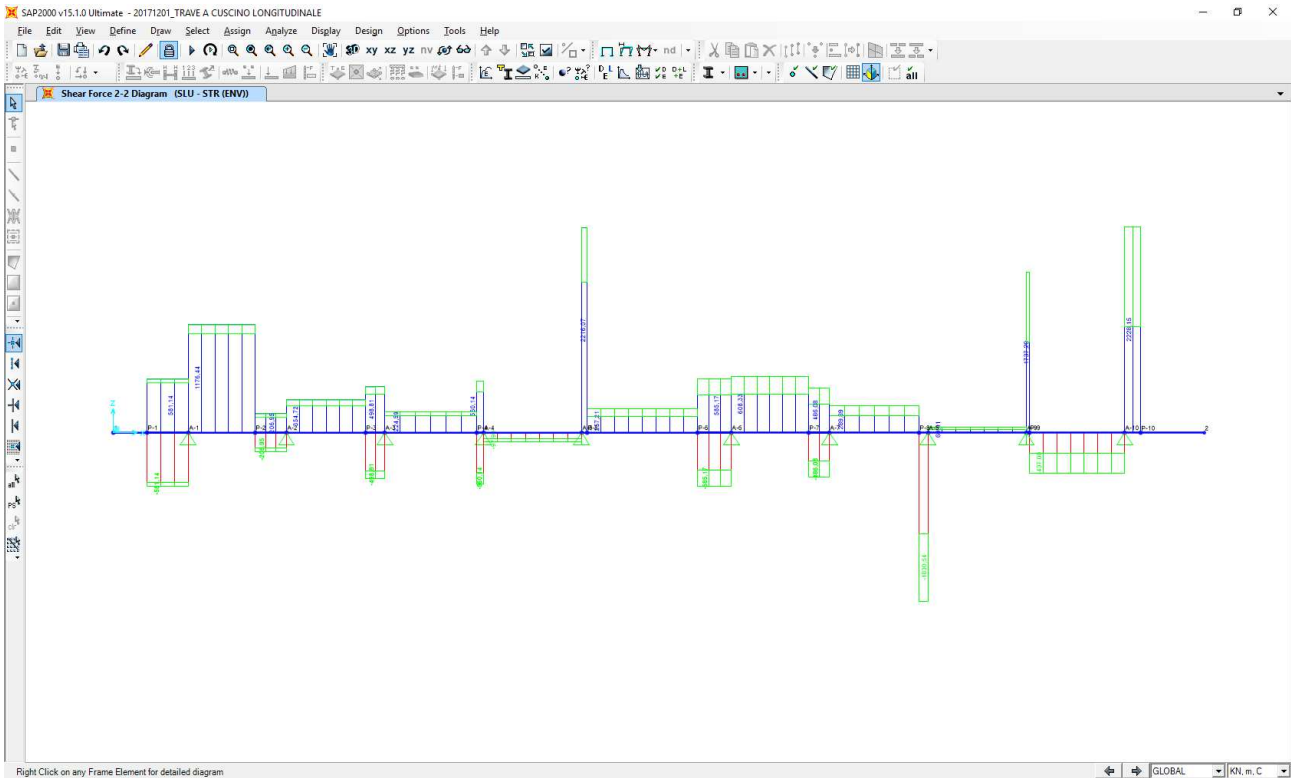


CONDIZIONE 1 – COMBINAZIONE SLU – STR

Nell'immagine successiva è riportato l'andamento del momento flettente per la combinazione di involuppo delle combinazioni allo SLU – STR:

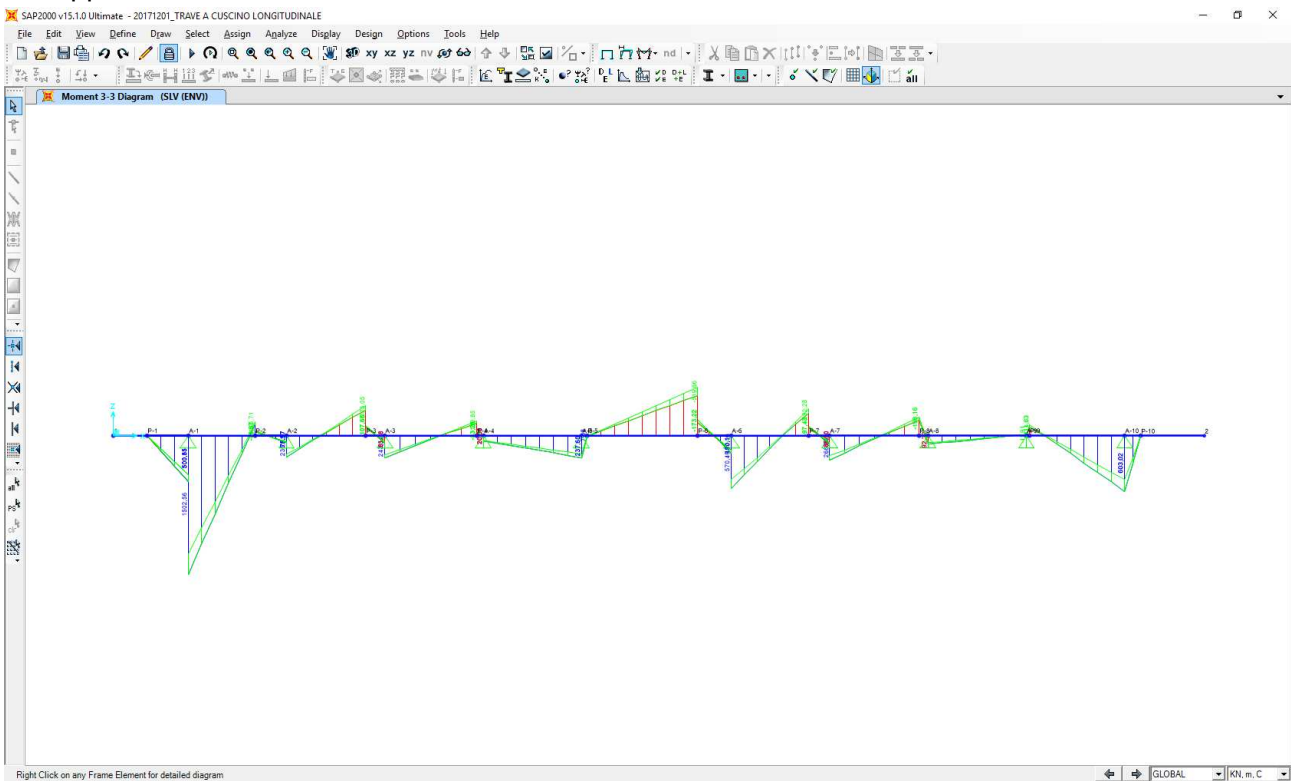


Nell'immagine successiva è riportato l'andamento del taglio per la combinazione di involuppo delle combinazioni allo SLU – STR:

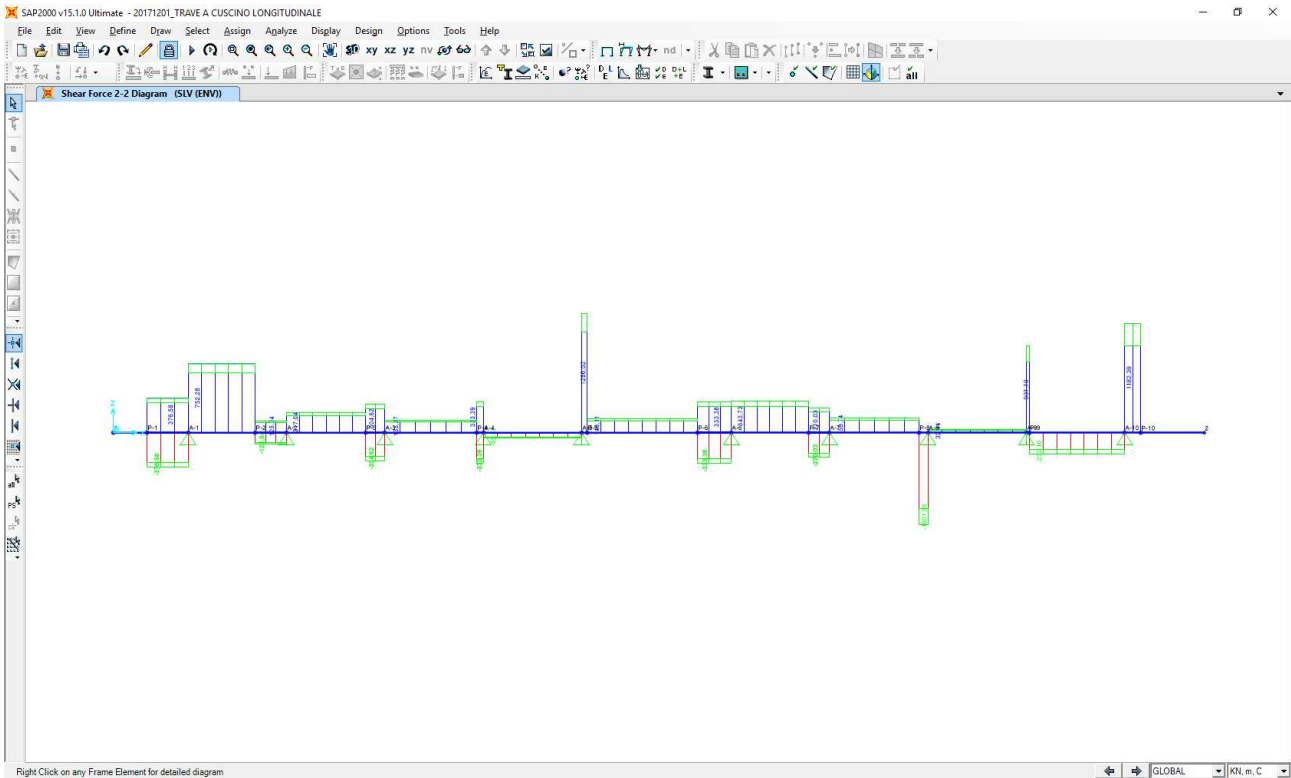


CONDIZIONE 1 – COMBINAZIONE SLV

Nell'immagine successiva è riportato l'andamento del momento flettente per la combinazione di involuppo delle combinazioni allo SLV:

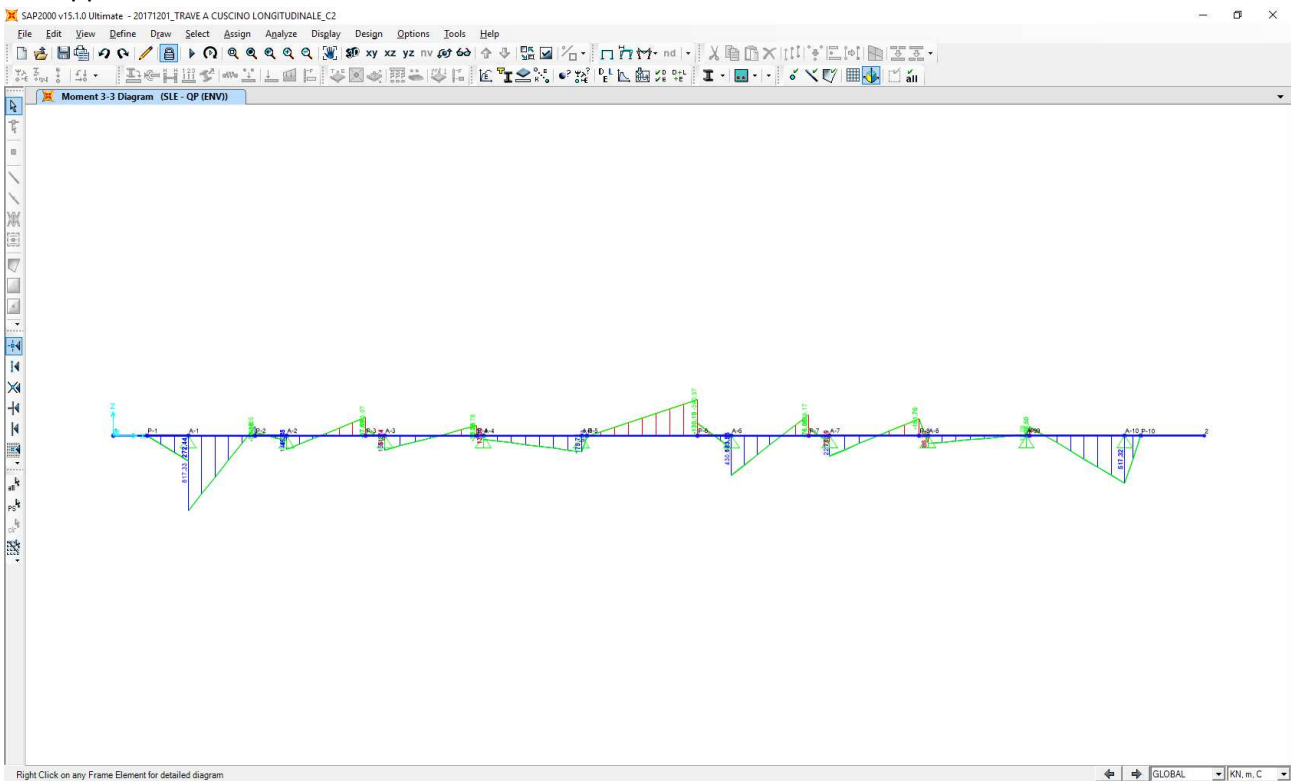


Nell'immagine successiva è riportato l'andamento del taglio per la combinazione di involuppo delle combinazioni allo SLV:

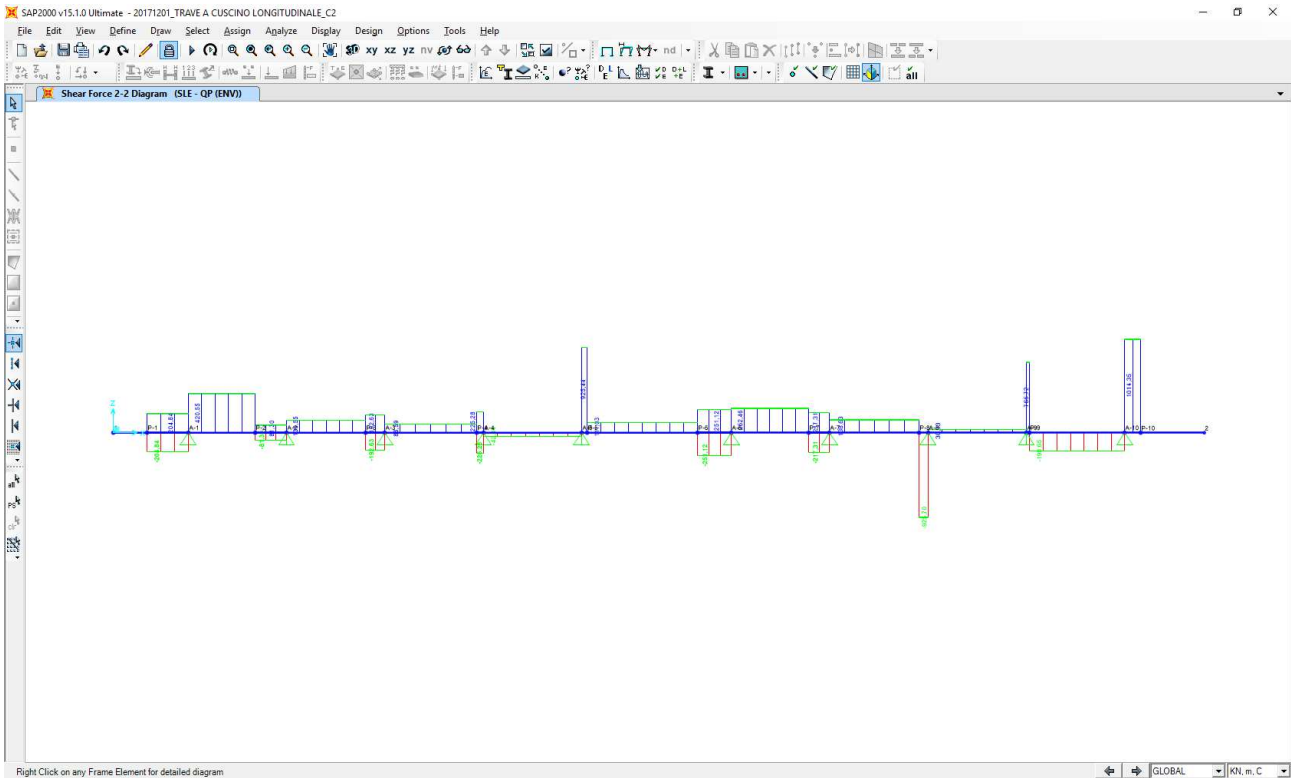


CONDIZIONE 2 – COMBINAZIONE SLE – QUASI PERMANENTE

Nell'immagine successiva è riportato l'andamento del momento flettente per la combinazione di involuppo delle combinazioni allo SLE – Quasi Permanenti:

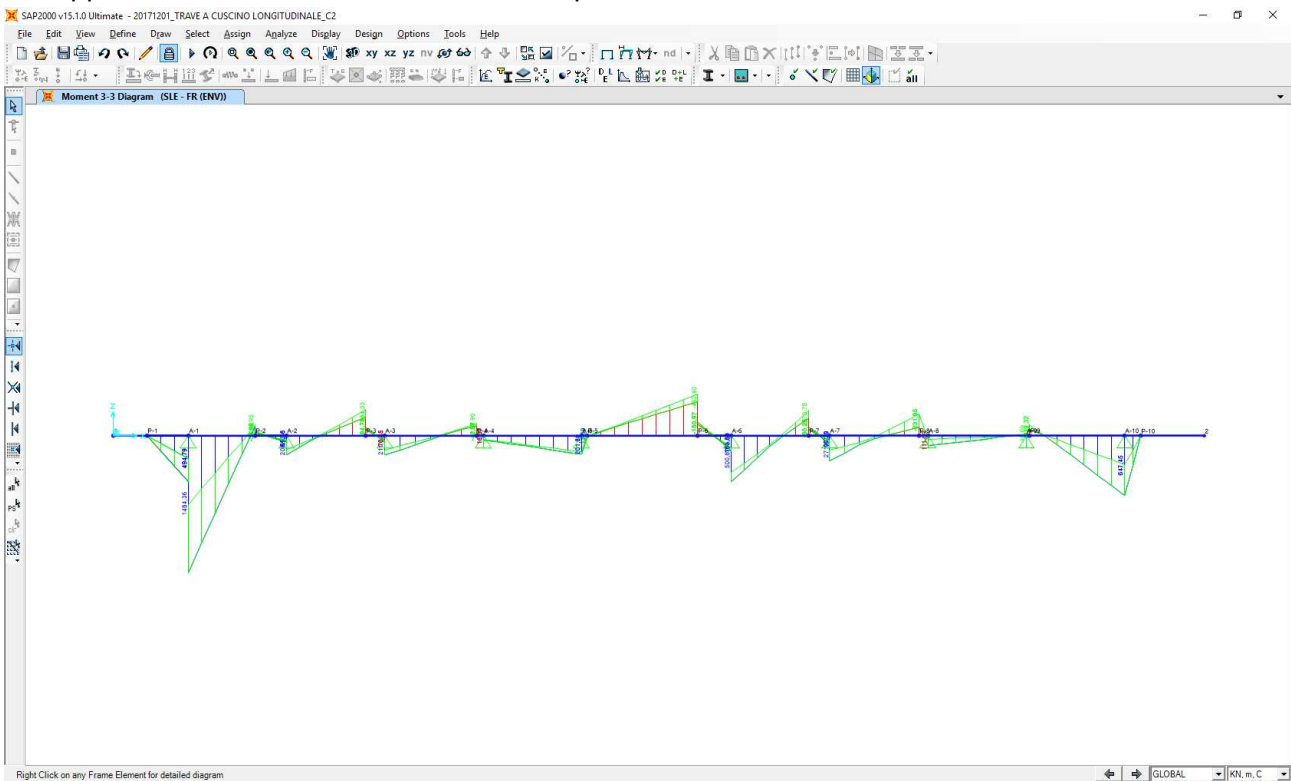


Nell'immagine successiva è riportato l'andamento del taglio per la combinazione di involuppo delle combinazioni allo SLE – Quasi Permanenti:

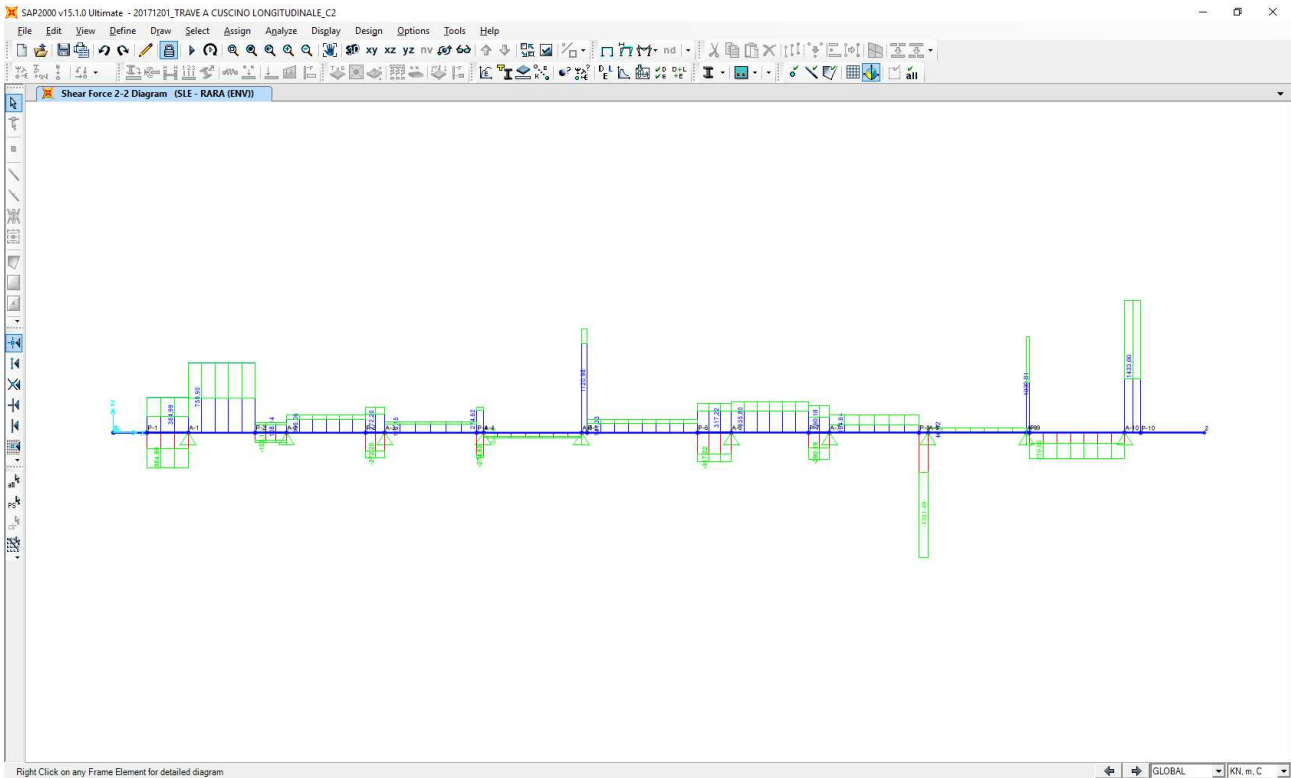


CONDIZIONE 2 – COMBINAZIONE SLE – FREQUENTE

Nell'immagine successiva è riportato l'andamento del momento flettente per la combinazione di involuppo delle combinazioni allo SLE – Frequenti:

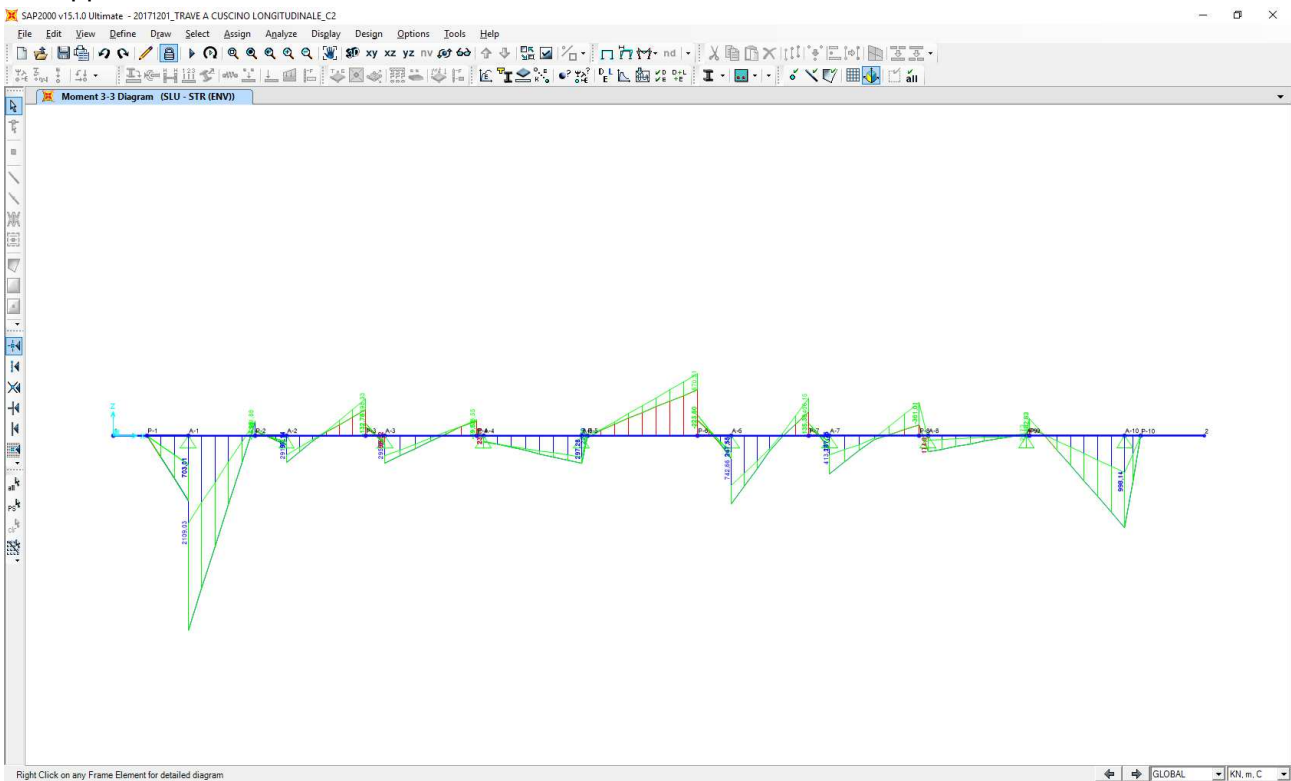


Nell'immagine successiva è riportato l'andamento del taglio per la combinazione di involuppo delle combinazioni allo SLE – Rare:

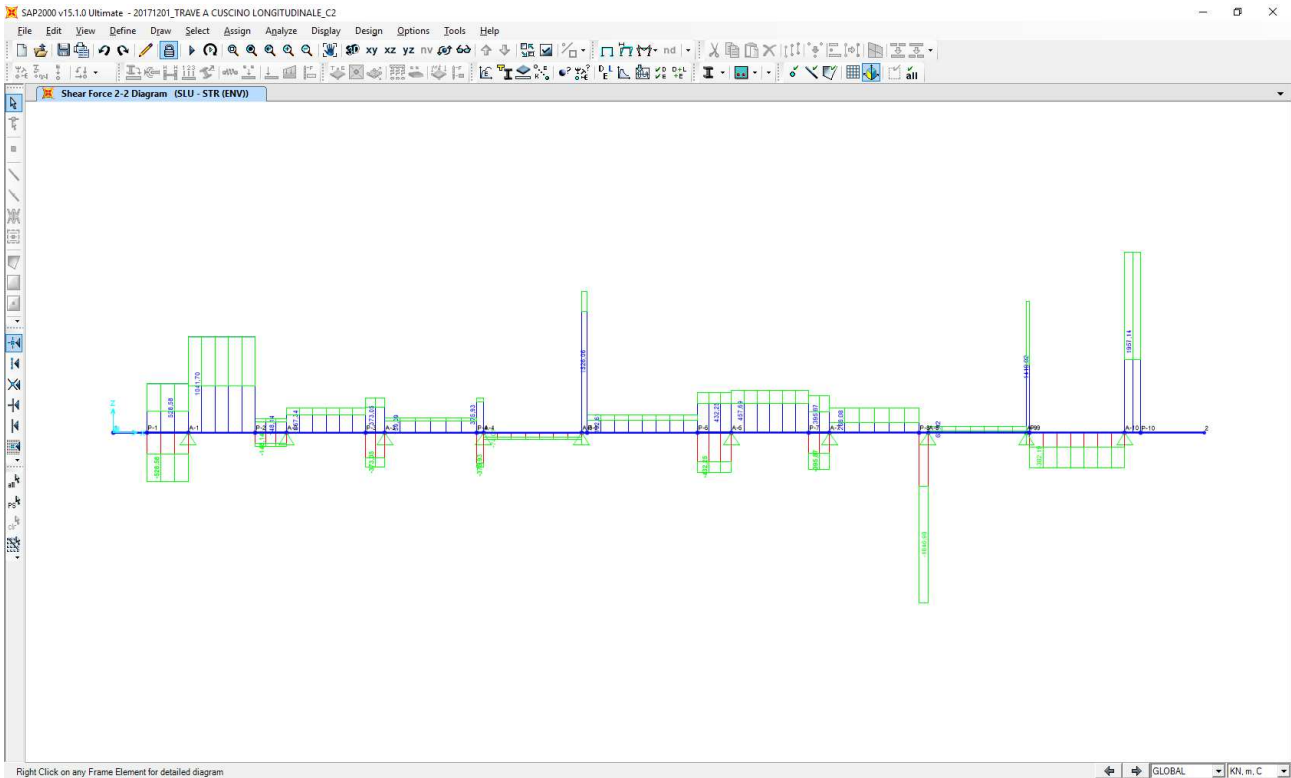


CONDIZIONE 2 – COMBINAZIONE SLU – STR

Nell'immagine successiva è riportato l'andamento del momento flettente per la combinazione di involuppo delle combinazioni allo SLU – STR:

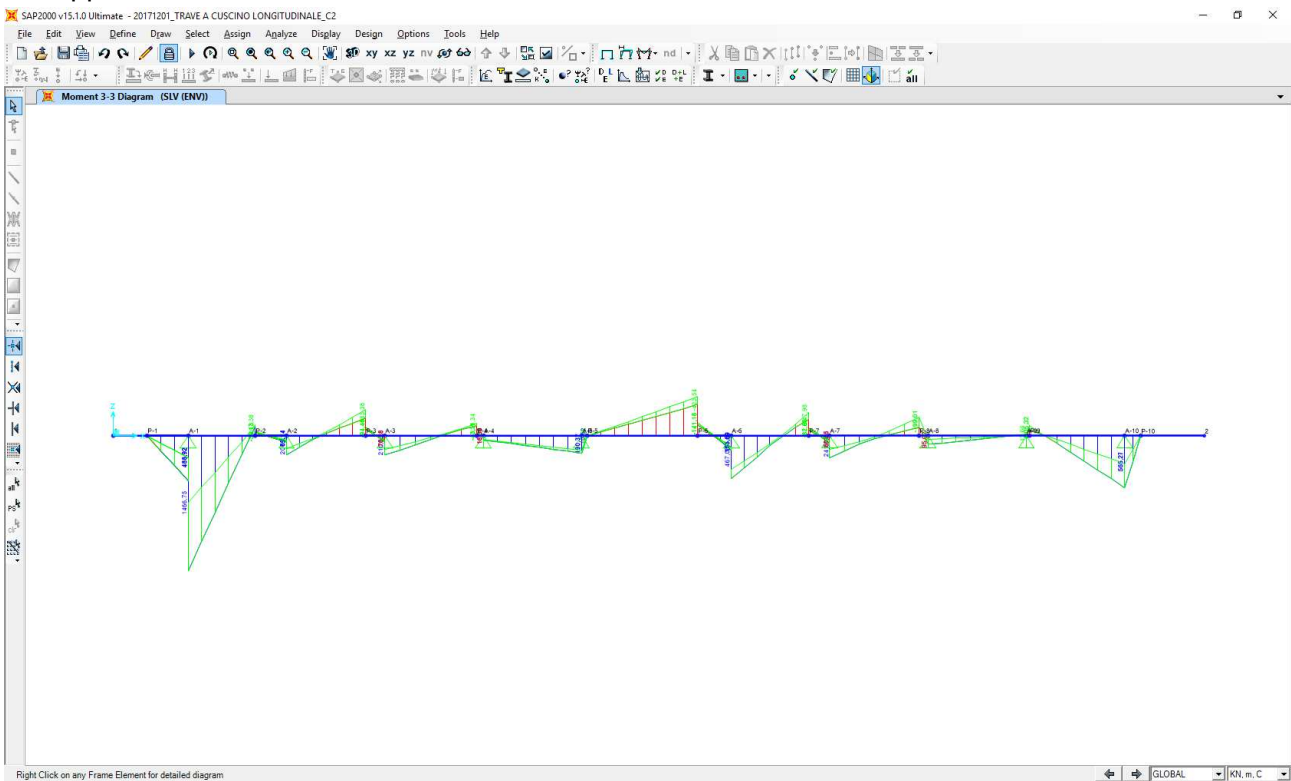


Nell'immagine successiva è riportato l'andamento del taglio per la combinazione di involuppo delle combinazioni allo SLU – STR:

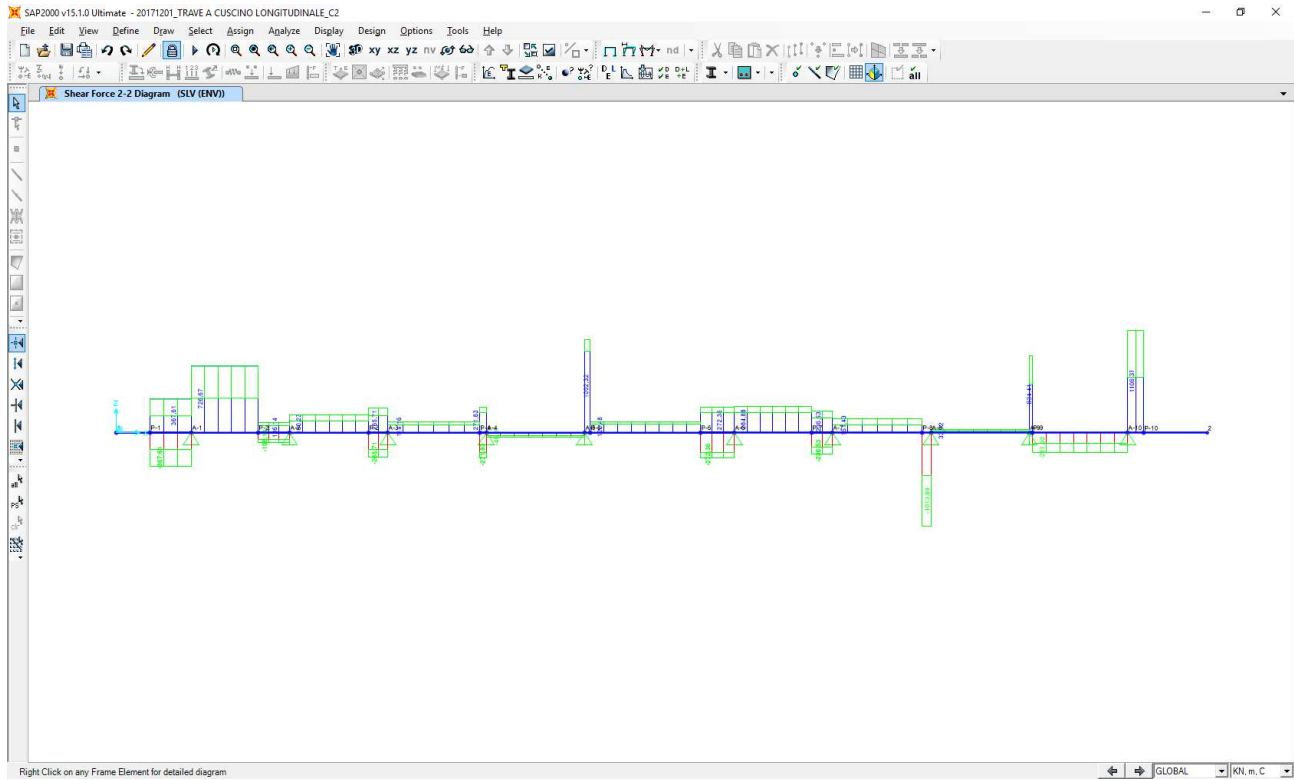


CONDIZIONE 2 – COMBINAZIONE SLV

Nell'immagine successiva è riportato l'andamento del momento flettente per la combinazione di involuppo delle combinazioni allo SLV:



Nell'immagine successiva è riportato l'andamento del taglio per la combinazione di involucro delle combinazioni allo SLV:



8.13.2 SEZIONE E ARMATURA DI VERIFICA

La sezione di verifica è rettangolare con base pari a **280 cm** e altezza pari a **200 cm**.

L'armatura longitudinale (armatura di forza) è costituita da:

- **13Ø20** superiori
- **13Ø20** inferiori

L'armatura a taglio è costituita dall'armatura trasversale precedentemente calcolata → staffatura **Ø20/20**. Il copriferro netto minimo è assunto pari a **40 mm**.

uno spettro di risposta elastico ($q = 1,00$). Secondo quanto previsto dal D.M. 14.01.2008 – Paragrafo 7.9.6.2 non risulta necessario disporre specifiche armature atte a garantire la duttilità dell'elemento strutturale né a rispettare i limiti dimensionali previsti per tale tipologia di armatura.

8.13.3 VERIFICA ALLO STATO LIMITE DI LIMITAZIONE DELLE TENSIONI – COMBINAZIONE QUASI PERMANENTE

Il momento flettente di calcolo è assunto pari a $M_{sd} = 1.399,59 \text{ kNm}$.

The screenshot shows a software window titled "Verifica C.A. S.L.U. - File". It contains several panels:

- Titolo:** Empty field.
- N° strati barre:** 2. **Zoom:** Default.
- Table 1:**

N°	b [cm]	h [cm]
1	280	200
- Table 2:**

N°	As [cm²]	d [cm]
1	40,84	7
2	40,84	193
- Tipo Sezione:**
 - Rettang.re
 - Trapezi
 - a T
 - Circolare
 - Rettangoli
 - Coord.
- Sollecitazioni:**
 - S.L.U. (selected) / Metodo n
 - N_{Ed}: 0 kN
 - M_{xEd}: 1399,59 kNm
 - M_{yEd}: 0
- P.to applicazione N:**
 - Centro
 - Baricentro cls
 - Coord. [cm]: xN=0, yN=0
- Metodo di calcolo:**
 - S.L.U. +
 - S.L.U. -
 - Metodo n
- Materiali:**
 - B450C: $E_{cu} = 67,5 \%$, $f_{yd} = 391,3 \text{ N/mm}^2$, $E_s = 200,000 \text{ N/mm}^2$, $E_s/E_c = 15$, $\sigma_{s,adm} = 255 \text{ N/mm}^2$
 - C28/35: $\epsilon_{c2} = 2 \%$, $\epsilon_{cu} = 3,5$, $f_{cd} = 15,87$, $\sigma_{c,adm} = 11$, $\tau_{co} = 0,6667$, $\tau_{c1} = 1,971$
- Results:**
 - $\sigma_c = -1,886 \text{ N/mm}^2$
 - $\sigma_s = 185,6 \text{ N/mm}^2$
 - $\epsilon_s = 0,9279 \%$
 - $d = 193 \text{ cm}$
 - $x = 25,53$, $x/d = 0,1323$
 - $\delta = 0,7$
- Buttons:** Verifica, N° iterazioni: 5, Precompresso

Le tensioni sui materiali risultano pari a:

- $\sigma_c = 1,88 \text{ N/mm}^2 < 0,45 \cdot f_{ck} = 13,07 \text{ N/mm}^2$
- $\sigma_s = 185,60 \text{ N/mm}^2 < 0,80 \cdot f_{yk} = 360,00 \text{ N/mm}^2$

La verifica risulta pertanto soddisfatta.

8.13.4 VERIFICA ALLO STATO LIMITE DI LIMITAZIONE DELLE TENSIONI – COMBINAZIONE FREQUENTE

Il momento flettente di calcolo è assunto pari a $M_{Sd} = 1.586,51$ kNm.

Le tensioni sui materiali risultano pari a:

- $\sigma_c = 2,13 \text{ N/mm}^2 < 0,45 \cdot f_{ck} = 13,07 \text{ N/mm}^2$
- $\sigma_s = 210,40 \text{ N/mm}^2 < 0,80 \cdot f_{yk} = 360,00 \text{ N/mm}^2$

La verifica risulta pertanto soddisfatta.

8.13.5 VERIFICA ALLO STATO LIMITE DI LIMITAZIONE DELLE TENSIONI – COMBINAZIONE RARA

Il momento flettente di calcolo è assunto pari a $M_{Sd} = 1.694,42$ kNm.

Le tensioni sui materiali risultano pari a:

- $\sigma_c = 2,28 \text{ N/mm}^2 < 0,60 \cdot f_{ck} = 17,43 \text{ N/mm}^2$
- $\sigma_s = 224,70 \text{ N/mm}^2 < 0,80 \cdot f_{yk} = 360,00 \text{ N/mm}^2$

La verifica risulta pertanto soddisfatta.

8.13.6 VERIFICA ALLO STATO LIMITE DI FESSURAZIONE

La verifica semplificata allo SL di fessurazione viene condotta secondo quanto previsto dalla Circolare C.S.LL.PP. n.617 del 02.02.2009, par. C4.1.2.2.4.6, tab. C4.1.II e C4.1.III.

TABELLA C4.1.II - Diametri massimi delle barre per il controllo di fessurazione			
Tensione nell'acciaio σ_s [N/mm ²]	Diametro massimo \varnothing delle barre [mm]		
	$w_3 = 0,40$ mm	$w_2 = 0,30$ mm	$w_1 = 0,20$ mm
160	40	32	25
200	32	25	16
240	20	16	12
280	16	12	8
320	12	10	6
360	10	8	0

TABELLA C4.1.III - Spaziatura massima delle barre per il controllo di fessurazione			
Tensione nell'acciaio σ_s [N/mm ²]	Spaziatura massima s delle barre delle barre [mm]		
	$w_3 = 0,40$ mm	$w_2 = 0,30$ mm	$w_1 = 0,20$ mm
160	300	300	200
200	300	250	150
240	250	200	100
280	200	150	50
320	150	100	0
360	100	50	0

CRITERI DI SCELTA DELLO STATO LIMITE DI FESSURAZIONE

I criteri di scelta dello Stato Limite di fessurazione sono definiti secondo quanto riportato dal D.M. 14.01.2008, par. 4.1.2.2.4.5, tab. 4.1.IV.

Condizioni ambientali: Armatura:

COMBINAZIONE ALLO S.L.E. QUASI PERMANENTE

Stato limite:	apertura fessure		
Ampiezza massima delle fessure:	$w_d \leq$	w1	
Tensione massima nell'acciaio calcolata:	$\sigma_{s,max}$	185,60	[N/mm ²]
Diametro massimo delle barre di armature poste in opera:	\varnothing_{max}	20	[mm]
Spaziatura massima delle barre di armatura poste in opera:	s_{max}	200,00	[mm]
Diametro massimo delle barre di armatura consentito:	\varnothing_{max}	16,00	[mm]
Spaziatura massima delle barre di armatura consentita:	s_{max}	150,00	[mm]

VERIFICA NEGATIVA - PROCEDERE CON LA VERIFICA ANALITICA

COMBINAZIONE ALLO S.L.E. FREQUENTE

Stato limite:	apertura fessure		
Ampiezza massima delle fessure:	$w_d \leq$	w2	
Tensione massima nell'acciaio calcolata:	$\sigma_{s,max}$	210,40	[N/mm ²]
Diametro massimo delle barre di armature poste in opera:	\varnothing_{max}	20	[mm]
Spaziatura massima delle barre di armatura poste in opera:	s_{max}	200,00	[mm]
Diametro massimo delle barre di armatura consentito:	\varnothing_{max}	16,00	[mm]
Spaziatura massima delle barre di armatura consentita:	s_{max}	200,00	[mm]

VERIFICA NEGATIVA - PROCEDERE CON LA VERIFICA ANALITICA

Poiché le verifiche semplificate non risultano soddisfatte si procede con le verifiche analitiche.

COMBINAZIONE SLE – QUASI PERMANENTE

VERIFICA ALLO STATO LIMITE DI APERTURA DELLE FESSURE									
H	200	cm	Armatura tesa nell'area di cls efficace:			Armatura compressa:			
b	280	cm	A_s	40,84	cm ²	A_s'	40,84	cm ²	
$c_{f\text{effettivo}}$	4	cm	$y_{G A_s} (*)$	7,00	cm	(*) da lembo teso	$y_{G A_s'} (*)$	193,00	cm
$c_{f\text{norma}}$	4	cm	x (cm) (*)	n_{ferri}	Φ (mm)	x (cm) (*)	n_{ferri}	Φ (mm)	
d	193,00	cm	7	13	20	193	13	20	
R_{ck}	35	MPa	Φ_{medio}	20	mm	Φ_{staffe}	20	mm	
f_{ctm}	2,89	MPa							
f_{ctk}	2,02	MPa							
E_s	210000	MPa							
n	15								
Sezione interam. reagente			Calcolo delle tensioni nella sezione fessurata						
y_G	100,00	cm	N	0 kN	carico assiale agente				
A_{ideale}	57225	cm ²	M	1399,59 kN m	momento agente				
I_{ideale}	197263604	cm ⁴	e	∞ cm	eccentricità GRANDE ECCENTRICITÀ				
Fessurazione indotta da:			en	34,47 cm	estremità nocciolo d'inerzia				
carichi			d_G	100,00 cm	baricentro armature				
Caratteristiche ambiente:			u	∞ cm	distanza centro di pressione - lembo compresso				
molto o moderatamente aggressivo			p	∞ cm ²					
β_1	1		q	∞ cm ³					
β_2	0,5		y_p	0,00 cm	distanza asse neutro - centro di pressione				
k_1	0,8		y_c	25,53 cm	asse neutro				
k_2	0,5		A^*	8373 cm ²	area ideale				
k	-		S_n^*	0 cm ³	momento statico relativo all'asse neutro				
$h_{A\text{ cls eff}}$	17,50	cm	I_n^*	18944809 cm ⁴	momento d'inerzia relativo all'asse neutro				
$A_{\text{cls eff}}$	4900,00	cm ²	σ_c	1,89 MPa	massima tensione di compressione nel cls				
ρ_r	0,0083		σ_s	185,58 MPa	tensione di trazione nell'acciaio				
σ_s	185,58	MPa	Calcolo delle tensioni nella condizione di carico di prima fessurazione						
σ_{sr}	755,67	MPa	N	0 kN	carico assiale agente				
ϵ_{sm}	0		M_F	5.699 kN m	momento di prima fessurazione				
s_{rm}	290,0	mm	e	∞	eccentricità GRANDE ECCENTRICITÀ				
w_m	0,000	mm	u	∞	distanza centro di pressione - lembo compresso				
β	1,7		p	∞ cm ²					
χ	1		q	∞ cm ³					
w_k	0,000	mm	y_p	0,00 cm	distanza asse neutro - centro di pressione				
$w_k\text{ limite}$	0,1	mm	y_c	25,53 cm	asse neutro				
w_k	<	$w_k\text{ limite}$	A^*	8373 cm ²	area ideale				
			S_n^*	0 cm ³	momento statico relativo all'asse neutro				
			I_n^*	18944809 cm ⁴	momento d'inerzia relativo all'asse neutro				
			σ_{cr}	7,68 MPa	massima tensione di compressione nel cls				
			σ_{sr}	755,67 MPa	tensione di trazione nell'acciaio				

COMBINAZIONE SLE – FREQUENTE

VERIFICA ALLO STATO LIMITE DI APERTURA DELLE FESSURE									
H	200	cm	Armatura tesa nell'area di cls efficace:				Armatura compressa:		
b	280	cm	A _s	40,84	cm ²	A _s '	40,84	cm ²	
			Y _G A _s (*)	7,00	cm	(*) da lembo teso	Y _G A _s ' (*)	193,00	cm
cf _{effettivo}	4	cm	x (cm) (*)	n _{ferri}	Φ (mm)	x (cm) (*)	n _{ferri}	Φ (mm)	
cf _{norma}	4	cm	7	13	20	193	13	20	
d	193,00	cm							
R _{ck}	35	MPa							
f _{ctm}	2,89	MPa							
f _{ctk}	2,02	MPa							
E _s	210000	MPa							
n	15								
			Φ _{medio}	20	mm	Φ _{staffe}	20	mm	
Sezione interam. reagente			Calcolo delle tensioni nella sezione fessurata						
Y _G	100,00	cm	N	0 kN	carico assiale agente				
A _{ideale}	57225	cm ²	M	1586,51 kN m	momento agente				
I _{ideale}	197263604	cm ⁴	e	∞ cm	eccentricità GRANDE ECCENTRICITÀ				
			en	34,47 cm	estremità nocciolo d'inerzia				
			d _G	100,00 cm	baricentro armature				
			u	∞ cm	distanza centro di pressione - lembo compresso				
			p	∞ cm ²					
			q	∞ cm ³					
			y _p	0,00 cm	distanza asse neutro - centro di pressione				
			y _c	25,53 cm	asse neutro				
			A*	8373 cm ²	area ideale				
			S _n *	0 cm ³	momento statico relativo all'asse neutro				
			I _n *	18944809 cm ⁴	momento d'inerzia relativo all'asse neutro				
			σ _c	2,14 MPa	massima tensione di compressione nel cls				
			σ _s	210,37 MPa	tensione di trazione nell'acciaio				
			Calcolo delle tensioni nella condizione di carico di prima fessurazione						
			N	0 kN	carico assiale agente				
			M _F	5.699 kN m	momento di prima fessurazione				
			e	∞	eccentricità GRANDE ECCENTRICITÀ				
			u	∞	distanza centro di pressione - lembo compresso				
			p	∞ cm ²					
			q	∞ cm ³					
			y _p	0,00 cm	distanza asse neutro - centro di pressione				
			y _c	25,53 cm	asse neutro				
			A*	8373 cm ²	area ideale				
			S _n *	0 cm ³	momento statico relativo all'asse neutro				
			I _n *	18944809 cm ⁴	momento d'inerzia relativo all'asse neutro				
			σ _{cr}	7,68 MPa	massima tensione di compressione nel cls				
			σ _{sr}	755,67 MPa	tensione di trazione nell'acciaio				
Fessurazione indotta da:									
carichi									
Caratteristiche ambiente:									
molto o moderatamente aggressivo									
β ₁	1								
β ₂	0,5								
k ₁	0,8								
k ₂	0,5								
k	-								
h _A cls eff	17,50	cm							
A _{cls} eff	4900,00	cm ²							
ρ _r	0,0083								
σ _s	210,37	MPa							
σ _{sr}	755,67	MPa							
ε _{sm}	0								
s _{rm}	290,0	mm							
w _m	0,000	mm							
β	1,7								
χ	1								
w _k	0,000	mm							
w _k limite	0,1	mm							
w _k	<	w _k limite							

8.13.7 VERIFICA ALLO STATO LIMITE ULTIMO PER FLESSIONE RETTA

Il momento flettente di calcolo è assunto pari a $M_{Sd} = 2.318,75$ kNm.

Verifica C.A. S.L.U. - File

File Materiali Opzioni Visualizza Progetto Sez. Rett. Sismica Normativa: NTC 2008 ?

Titolo : _____

N° strati barre 2 Zoom

N°	b [cm]	h [cm]	N°	As [cm²]	d [cm]
1	280	200	1	40,84	7
			2	40,84	193

Tipo Sezione:
 Rettan.re Trapezi
 a T Circolare
 Rettangoli Coord.

Sollecitazioni: S.L.U. / Metodo n

N Ed: 0 kN
M xEd: 2318,75 kNm
M yEd: 0 kNm

P.to applicazione N:
 Centro Baricentro cls
 Coord.[cm] xN: 0 yN: 0

Tipo rottura: Lato acciaio - Acciaio snervato

Metodo di calcolo:
 S.L.U. + S.L.U.
 Metodo n

Tipo flessione:
 Retta Deviata

N° rett. 100

Calcola MRd Dominio M-N

L₀ 0 cm Col. modello

Materiali:
B450C **C28/35**
 ϵ_{cu} 67,5 % ϵ_{c2} 2 %
 f_{yd} 391,3 N/mm² ϵ_{cu} 3,5 %
 E_s 200.000 N/mm² f_{cd} 15,87
 E_s/E_c 15 f_{cc}/f_{cd} 0,8
 $\sigma_{s,adm}$ 1,957 % $\sigma_{c,adm}$ 11
 $\sigma_{s,adm}$ 255 N/mm² τ_{co} 0,6667
 τ_{c1} 1,971

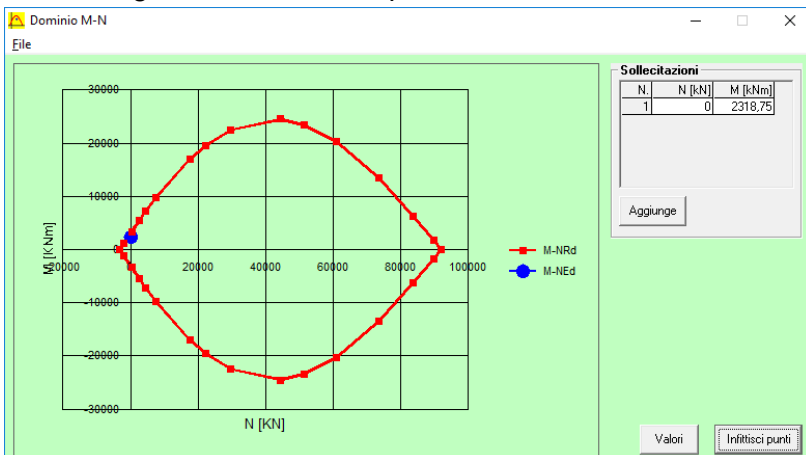
M xRd 3.059 kNm
 σ_c -15,87 N/mm²
 σ_s 391,3 N/mm²
 ϵ_c 2,175 %
 ϵ_s 67,5 %
d 193 cm
x 6,026 x/d 0,03122
 δ 0,7

Precompresso

Il momento resistente risulta pari a:

$$M_{Sd} = 3.059,00 \text{ kNm} > M_{Sd} = 2.318,75 \text{ kNm}$$

Nell'immagine successiva è riportato il dominio di resistenza della sezione:



La verifica risulta pertanto soddisfatta.

8.13.8 VERIFICA ALLO STATO LIMITE ULTIMO PER TAGLIO

L'azione tagliante di calcolo è assunta pari a $V_{S,d} = 1.286,02$ kN.

CARATTERISTICHE GEOMETRICHE DELLA SEZIONE

Base della sezione trasversale:	b	280,00	[cm]
Altezza della sezione trasversale:	h	200,00	[cm]
Copriferro netto:	c	4,00	[cm]
Altezza utile della sezione:	d	196,00	[cm]

CARATTERISTICHE DEI MATERIALI

Classe di resistenza del calcestruzzo:		C32/40	
Resistenza caratteristica cubica a compressione:	R_{ck}	40,00	[N/mm ²]
Resistenza caratteristica cilindrica a compressione:	f_{ck}	33,20	[N/mm ²]
Resistenza di calcolo a compressione:	f_{cd}	18,81	[N/mm ²]
Tipologia dell'acciaio da armatura:		B450C	
Tensione caratteristica di rottura:	f_{tk}	540,00	[N/mm ²]
Tensione caratteristica di snervamento:	f_{yk}	450,00	[N/mm ²]
Resistenza di calcolo:	f_{yd}	391,30	[N/mm ²]

AZIONI SOLLECITANTI DI CALCOLO

Azione tagliante di calcolo:	$V_{S,d}$	1286,02	[kN]
Azione normale di calcolo:	$N_{S,d}$	0,00	[kN]

ARMATURA TRASVERSALE

Inclinazione dei puntoni di calcestruzzo:	θ	45,00	[°]
Cotangente dell'angolo θ :	$\cot(\theta)$	1,00	
Inclinazione dell'armatura trasversale rispetto all'asse della trave:	α	90,00	[°]
Numero di bracci dell'armatura trasversale:	n	2,00	
Passo longitudinale delle armature trasversali:	s	20,00	[cm]
Diametro dell'armatura trasversale:	\varnothing_{trasv}	20,00	[mm]
Area della singola barra:	A_{barra}	3,14	[cm ²]
Area totale dell'armatura trasversale:	A_{tot}	31,40	[cm ² /m]

VERIFICA ALLO S.L.U. PER TAGLIO

La verifica allo S.L.U. per taglio viene condotta secondo quanto previsto dal D.M. 14.01.2008, par.4.1.2.1.3.2
 La resistenza di calcolo a "taglio trazione" viene valutata mediante la seguente relazione:

$$V_{Rsd} = 0,9 \cdot d \cdot \frac{A_{sw}}{s} \cdot f_{yd} \cdot [\cot(\alpha) + \cot(\theta)] \cdot \sin(\alpha)$$

La resistenza di calcolo a "taglio compressione" viene valutata mediante la seguente relazione:

$$V_{Rcd} = 0,9 \cdot d \cdot b_w \cdot \alpha_c \cdot f_{cd}' \cdot \frac{[\cot(\alpha) + \cot(\theta)]}{[1 + \cot^2(\theta)]}$$

Larghezza minima della sezione:	b_w	280,00	[cm]
Resistenza a compressione ridotta del calcestruzzo:	f_{yd}'	9,41	[N/mm ²]
Tensione media di compressione nella sezione:	σ_{cp}	0,000	[N/mm ²]
Coefficiente maggiorativo α_c :	α_c	1,0000	

RESISTENZA DI CALCOLO A "TAGLIO TRAZIONE"	V_{Rsd}	2.167,42	[kN]
RESISTENZA DI CALCOLO A "TAGLIO COMPRESSIONE"	V_{Rcd}	23.230,70	[kN]

AZIONE TAGLIANTE RESISTENTE DELLA SEZIONE:	$V_{R,d}$	2.167,42	[kN]
COEFFICIENTE DI SICUREZZA:	$F_S = V_{R,d} / V_{S,d}$	1,69	

LA VERIFICA RISULTA POSITIVA

8.14 BAGGIOLI DI APPOGGIO – VERIFICHE STRUTTURALI

8.14.1 VALUTAZIONE DELLE AZIONI SOLLECITANTI

Nella tabella successiva sono riportati i valori degli scarichi statici dell'impalcato sui singoli baggioli di appoggio, desunti dalla relazione di calcolo dell'impalcato stesso, per le differenti combinazioni di carico considerate e riferite a un'unica carreggiata:

APPOGGIO	COMBINAZIONE	N _{sd} [kN]	V _{Sd,TRASV} [kN]	V _{Sd,LONG} [kN]
1	GEN SLU Mobili(max)	-477,33	26,46	5,53
1	GEN SLU Vento(max)	-521,30	40,19	5,03
1	GEN SLU Frenamento(max)	-502,17	1,74	-22,11
1	GEN SLU Termico(max)	-473,87	25,14	10,91
1	GEN SLU Mobili(min)	-2.009,79	17,39	-24,54
1	GEN SLU Vento(min)	-1.567,25	34,78	-20,50
1	GEN SLU Frenamento(min)	-1.548,11	-3,67	-47,64
1	GEN SLU Termico(min)	-1.597,24	19,07	-26,21
2	GEN SLU Mobili(max)	-463,87	27,43	5,49
2	GEN SLU Vento(max)	-466,94	40,96	5,56
2	GEN SLU Frenamento(max)	-471,14	2,43	-21,70
2	GEN SLU Termico(max)	-435,54	25,62	11,53
2	GEN SLU Mobili(min)	-2.121,80	18,27	-21,69
2	GEN SLU Vento(min)	-1.634,14	35,68	-18,57
2	GEN SLU Frenamento(min)	-1.638,34	-2,85	-45,82
2	GEN SLU Termico(min)	-1.666,34	20,20	-24,46
3	GEN SLU Mobili(max)	-480,26	27,66	5,31
3	GEN SLU Vento(max)	-465,49	41,12	5,70
3	GEN SLU Frenamento(max)	-465,02	2,59	-21,65
3	GEN SLU Termico(max)	-437,20	25,71	11,68
3	GEN SLU Mobili(min)	-1.749,99	18,80	-20,28
3	GEN SLU Vento(min)	-1.363,47	36,16	-17,55
3	GEN SLU Frenamento(min)	-1.362,99	-2,37	-44,90
3	GEN SLU Termico(min)	-1.388,86	20,75	-23,51
4	GEN SLU Mobili(max)	-498,48	27,66	5,87
4	GEN SLU Vento(max)	-500,93	41,18	5,77
4	GEN SLU Frenamento(max)	-494,89	2,67	-21,69
4	GEN SLU Termico(max)	-465,43	25,85	11,66
4	GEN SLU Mobili(min)	-1.781,46	19,06	-21,61
4	GEN SLU Vento(min)	-1.392,20	36,39	-18,33
4	GEN SLU Frenamento(min)	-1.386,16	-2,12	-45,79
4	GEN SLU Termico(min)	-1.420,30	20,92	-24,30
5	GEN SLU Mobili(max)	-539,26	28,25	5,82
5	GEN SLU Vento(max)	-564,93	41,79	5,30
5	GEN SLU Frenamento(max)	-601,05	3,41	-22,32
5	GEN SLU Termico(max)	-539,60	26,77	10,99
5	GEN SLU Mobili(min)	-1.454,94	19,08	-23,35
5	GEN SLU Vento(min)	-1.145,21	36,34	-19,39
5	GEN SLU Frenamento(min)	-1.181,33	-2,03	-47,02
5	GEN SLU Termico(min)	-1.197,30	20,67	-25,29

Nella tabella successiva sono riportati i valori degli scarichi sismici dell'impalcato sui singoli banchi di appoggio, desunti dalla relazione di calcolo dell'impalcato stesso, per le differenti combinazioni di carico considerate e riferite a un'unica carreggiata:

APPOGGIO	COMBINAZIONE	N _{Sd} [kN]	V _{Sd,TRASV} [kN]	V _{Sd,LONG} [kN]
1	GEN SLC Long(max)	-388,07	47,63	155,81
1	GEN SLC Trasv(max)	-346,29	149,78	49,57
1	GEN SLC Vert(max)	-373,84	45,68	49,47
1	GEN SLC Long(min)	-571,51	-48,61	-162,10
1	GEN SLC Trasv(min)	-613,29	-150,75	-55,86
1	GEN SLC Vert(min)	-585,74	-46,65	-55,76
2	GEN SLC Long(max)	-327,88	47,75	156,29
2	GEN SLC Trasv(max)	-335,53	150,07	49,69
2	GEN SLC Vert(max)	-319,62	45,79	49,84
2	GEN SLC Long(min)	-453,78	-48,10	-161,87
2	GEN SLC Trasv(min)	-446,14	-150,42	-55,26
2	GEN SLC Vert(min)	-462,05	-46,14	-55,42
3	GEN SLC Long(max)	-329,72	47,94	156,42
3	GEN SLC Trasv(max)	-341,28	150,29	49,50
3	GEN SLC Vert(max)	-321,72	45,98	49,88
3	GEN SLC Long(min)	-440,69	-47,78	-161,83
3	GEN SLC Trasv(min)	-429,13	-150,12	-54,91
3	GEN SLC Vert(min)	-448,69	-45,82	-55,29
4	GEN SLC Long(max)	-333,60	48,26	156,40
4	GEN SLC Trasv(max)	-341,37	150,59	49,65
4	GEN SLC Vert(max)	-325,39	46,30	49,79
4	GEN SLC Long(min)	-460,26	-47,58	-162,19
4	GEN SLC Trasv(min)	-452,48	-149,90	-55,44
4	GEN SLC Vert(min)	-468,46	-45,61	-55,58
5	GEN SLC Long(max)	-418,92	48,77	156,02
5	GEN SLC Trasv(max)	-376,01	150,92	49,47
5	GEN SLC Vert(max)	-402,94	46,81	49,35
5	GEN SLC Long(min)	-600,80	-47,43	-162,76
5	GEN SLC Trasv(min)	-643,71	-149,59	-56,21
5	GEN SLC Vert(min)	-616,79	-45,48	-56,10

I banchi di appoggio vengono dimensionati in funzione delle azioni massime agenti su di essi. A favore di sicurezza le verifiche verranno condotte sul banco di altezza maggiore, che risulta pari a **52,0 cm**.

L'azione normale massima agente sul banco è risultata pari a **N_{Sd} = 2.121,80 kN**.

L'azione tagliante massima longitudinale agente sul banco è risultata pari a **V_{Sd,L} = 150,92 kN**.

L'azione tagliante massima trasversale agente sul banco è risultata pari a **V_{Sd,T} = 162,76 kN**.

8.14.2 SEZIONE E ARMATURA DI VERIFICA

Il baggiolo presenta una sezione in pianta rettangolare con base pari a **90 cm** (direzione perpendicolare all'asse dell'impalcato) e altezza pari a **150 cm** (direzione parallela all'asse dell'impalcato).

L'armatura è costituita da:

- **13 forcelle Ø20** nella direzione parallela all'asse dell'impalcato
- **9 forcelle Ø20** nella direzione perpendicolare all'asse dell'impalcato

8.14.3 VERIFICA ALLO STATO LIMITE ULTIMO PER PUNZONAMENTO

CARATTERISTICHE DEI MATERIALI			
CALCESTRUZZO			
Classe di resistenza del calcestruzzo		C32/40	
Resistenza di calcolo a trazione del calcestruzzo	f_{ctd}	1,36	[N/mm ²]
ACCIAIO			
Tipologia di acciaio		B450C	
Resistenza di calcolo dell'acciaio	f_{yd}	391,30	[N/mm ²]
GEOMETRIA DEL BAGGIOLO			
Lunghezza del baggiolo (direzione parallela all'asse appoggi)	L_T	150,00	[cm]
Larghezza del baggiolo (direzione perpendicolare all'asse appoggi)	L_L	90,00	[cm]
Altezza del baggiolo	h	52,00	[cm]
AZIONI DI CALCOLO SUL BAGGIOLO			
Azione normale massima agente sul baggiolo	N	2.121,80	[kN]
ARMATURA DEL BAGGIOLO			
Numero di forcelle in direzione longitudinale	n_L	13	
Diametro delle forcelle in direzione longitudinale	\varnothing_L	20	[mm]
Area delle forcelle in direzione longitudinale	A_L	81,64	[cm ²]
Numero di forcelle in direzione trasversale	n_T	9	
Diametro delle forcelle in direzione trasversale	\varnothing_T	20	[mm]
Area delle forcelle in direzione trasversale	A_T	56,52	[cm ²]
VERIFICA A PUNZONAMENTO			
Perimetro della sezione del baggiolo	u	480,00	[cm]
Altezza del baggiolo	h	52,00	[cm]
Forza resistente per calcestruzzo		1.692,02	[kN]
		<	2.121,80 [kN]
<i>VERIFICA NEGATIVA. E' NECESSARIO ARMARE A PUNZONAMENTO.</i>			
Forza resistente per armatura		5.406,26	[kN]
		>	2.121,80 [kN]
<i>VERIFICA POSITIVA. L'ARMATURA DISPOSTA E' SUFFICIENTE.</i>			

8.14.4 VERIFICA ALLO STATO LIMITE ULTIMO PER TRANCIAMENTO

CARATTERISTICHE DEI MATERIALI

CALCESTRUZZO

Classe di resistenza del calcestruzzo		C32/40	
Resistenza di calcolo a trazione del calcestruzzo	f_{ctd}	1,36	[N/mm ²]

ACCIAIO

Tipologia di acciaio		B450C	
Resistenza di calcolo dell'acciaio	f_{yd}	391,30	[N/mm ²]

GEOMETRIA DEL BAGGIOLO

Lunghezza del baggiolo (direzione parallela all'asse appoggi)	L_T	90,00	[cm]
Larghezza del baggiolo (direzione perpendicolare all'asse appoggi)	L_L	150,00	[cm]
Altezza del baggiolo	h	52,00	[cm]

AZIONI DI CALCOLO SUL BAGGIOLO

Azione normale massima agente sul baggiolo	N	0,00	[kN]
Azione orizzontale longitudinale massima agente sul baggiolo	V_L	150,92	[kN]
Azione orizzontale trasversale massima agente sul baggiolo	V_T	162,76	[kN]

ARMATURA DEL BAGGIOLO

Numero di forcelle in direzione longitudinale	n_L	9	
Diametro delle forcelle in direzione longitudinale	\varnothing_L	20	[mm]
Area delle forcelle in direzione longitudinale	A_L	56,52	[cm ²]
Numero di forcelle in direzione trasversale	n_T	13	
Diametro delle forcelle in direzione trasversale	\varnothing_T	20	[mm]
Area delle forcelle in direzione trasversale	A_T	81,64	[cm ²]

VERIFICA A TRANCIAMENTO DELL'ARMATURA

Tensione tangenziale sollecitante	τ	0,27	[N/mm ²]
Coefficiente di sicurezza	F_S	1,20	
Tensione tangenziale di calcolo	τ_{Sd}	0,33	[N/mm ²]
Coefficiente di rugosità	β	0,20	
Coefficiente di attrito tra le due superfici (sottostruttura-baggiolo)	μ	0,60	
Rapporto tra area di armatura verticale e superficie di ripresa	ρ	0,0171	
Pressione sul calcestruzzo della superficie di ripresa	σ_{cd}	0,00	[N/mm ²]

Il rapporto minimo di armatura rispetto alla superficie di ripresa viene valutato mediante la seguente relazione:

$$\rho_{min} = \frac{A_{min}}{A_{baggiolo}} = \frac{\tau_{Sd} - \beta \cdot f_{ctd} - \sigma_{cd}}{\mu \cdot f_{yd}}$$

Rapporto minimo di armatura rispetto alla superficie di ripresa	ρ_{min}	0,0002	
Area di armatura minima necessaria		3,32 [cm ²]	< 138,16 [cm ²]

VERIFICA POSITIVA. L'ARMATURA DISPOSTA E' SUFFICIENTE.

8.15 RITEGNI SISMICI LONGITUDINALI

8.15.1 VALUTAZIONE DELLE AZIONI SOLLECITANTI

Nella tabella successiva sono riportati i valori delle azioni sollecitanti trasmesse dall'impalcato alle sottostrutture in fase sismica (Stato Limite di Collasso):

VIADOTTO SU LINEA FF.SS.

VERIFICA APPOGGI ELASTOMERICI ARMATI

	SPALLE		PILE	
Dati di progetto:				
Deformazione massima sismica di progetto SLC ($d/h \leq 2$)	Dsp=	152.0 mm	Dsp=	156.0 mm
Deformazione massima statica di progetto SLU/SLD ($d/h \leq 1$)	Dp=	76.0 mm	Dp=	78.0 mm
Risultati da modello di calcolo				
Carico verticale massimo statico SLU	V(max)=	-2121.8 kN	V(max)=	-4599.1 kN
Carico verticale minimo statico SLU	V(min)=	-435.5 kN	V(min)=	-1857.1 kN
Carico orizzontale massimo statico SLU	H(max)=	47.8 kN	H(max)=	96.5 kN
Rotazione massima statica SLU	R (max)=	2.262E-02 rad	R (max)=	5.282E-03 rad
Carico verticale massimo sismico SLC	Vs(max)=	-643.7 kN	Vs(max)=	-2256.0 kN
Carico verticale minimo sismico SLC	Vs(min)=	-319.6 kN	Vs(min)=	-1189.7 kN
Carico orizzontale massimo sismico SLC	Hs(max)=	169.9 kN	Hs(max)=	359.3 kN
Rotazione massima sismica SLC	Rs (max)=	1.286E-02 rad	Rs (max)=	2.601E-03 rad
Carico verticale massimo statico SLE (caratt.)	Ve(max)=	-1561.1 kN	V(max)=	-3373.2 kN
Carico verticale minimo statico SLE (caratt.)	Ve(min)=	-300.2 kN	V(min)=	-1283.6 kN
Carico orizzontale massimo statico SLE (caratt.)	He(max)=	35.5 kN	H(max)=	67.1 kN
Rotazione massima statica SLE (caratt.)	Re(max)=	1.450E-02 rad	R (max)=	4.001E-03 rad

L'azione longitudinale massima totale trasmessa ai ritegni della singola spalla risulta pari a:

$$H_d = 2 \times 5 \times 169,90 + 2 \times 5 \times 359,30 = 5.292,00 \text{ kN}$$

L'azione longitudinale massima trasmessa al singolo ritegno sismico longitudinale risulta pari a:

$$H_{d,ritegno} = 5.292,00 / 5 = 1.058,40 \text{ kN}$$

8.15.2 SEZIONE E ARMATURA DI VERIFICA

Il ritegno presenta una sezione in pianta rettangolare con base pari a **95 cm** (direzione perpendicolare all'asse dell'impalcato) e altezza pari a **45 cm** (direzione parallela all'asse dell'impalcato).

L'armatura è costituita da:

- **9 forcelle Ø26** nella direzione parallela all'asse dell'impalcato
- **3 forcelle Ø26** nella direzione perpendicolare all'asse dell'impalcato

8.15.3 VERIFICA ALLO STATO LIMITE ULTIMO PER TRANCIAMENTO

CARATTERISTICHE DEI MATERIALI

CALCESTRUZZO

Classe di resistenza del calcestruzzo		C32/40	
Resistenza di calcolo a trazione del calcestruzzo	f_{ctd}	1,36	[N/mm ²]

ACCIAIO

Tipologia di acciaio		B 450 C	
Resistenza di calcolo dell'acciaio	f_{yd}	391,30	[N/mm ²]

GEOMETRIA DEL RITEGNO

Lunghezza del ritegno (direzione parallela all'asse appoggi)	L_T	95,00	[cm]
Larghezza del ritegno (direzione perpendicolare all'asse appoggi)	L_L	45,00	[cm]
Altezza del ritegno	h	14,00	[cm]

AZIONI DI CALCOLO SUL RITEGNO

Azione orizzontale trasversale massima agente sul ritegno	V_T	1.058,40	[kN]
---	-------	----------	------

ARMATURA DEL RITEGNO

Numero di forcelle in direzione longitudinale	n_L	9	
Diametro delle forcelle in direzione longitudinale	\varnothing_L	26	[mm]
Area delle forcelle in direzione longitudinale	A_L	95,58	[cm ²]
Numero di forcelle in direzione trasversale	n_T	3	
Diametro delle forcelle in direzione trasversale	\varnothing_T	26	[mm]
Area delle forcelle in direzione trasversale	A_T	31,86	[cm ²]

VERIFICA A TRANCIAMENTO DELL'ARMATURA

Tensione tangenziale sollecitante	τ	1,17	[N/mm ²]
Coefficiente di sicurezza	F_S	1,20	
Tensione tangenziale di calcolo	τ_{Sd}	0,98	[N/mm ²]
Coefficiente di rugosità	β	0,20	
Coefficiente di attrito tra le due superfici (spalla-ritegno)	μ	0,60	
Rapporto tra area di armatura verticale e superficie di ripresa	ρ	0,0141	
Pressione sul calcestruzzo della superficie di ripresa	σ_{cd}	0,00	[N/mm ²]

Il rapporto minimo di armatura rispetto alla superficie di ripresa viene valutato mediante la seguente relazione:

$$\rho_{\min} = \frac{A_{\min}}{A_{\text{baggiolo}}} = \frac{\tau_{Sd} - \beta \cdot f_{ctd} - \sigma_{cd}}{\mu \cdot f_{yd}}$$

Rapporto minimo di armatura rispetto alla superficie di ripresa	ρ_{\min}	0,0030	
Area di armatura minima necessaria		12,86 [cm ²]	< 127,44 [cm ²]

VERIFICA POSITIVA. L'ARMATURA DISPOSTA E' SUFFICIENTE.

8.16 RITEGNI SISMICI TRASVERSALI

8.16.1 VALUTAZIONE DELLE AZIONI SOLLECITANTI

Nella tabella successiva sono riportati i valori delle azioni sollecitanti trasmesse dall'impalcato alle sottostrutture in fase sismica (Stato Limite di Collasso):

VIADOTTO SU LINEA FF.SS.

VERIFICA APPOGGI ELASTOMERICI ARMATI

	SPALLE		PILE	
Dati di progetto:				
Deformazione massima sismica di progetto SLC ($d/h \leq 2$)	Dsp=	152.0 mm	Dsp=	156.0 mm
Deformazione massima statica di progetto SLU/SLD ($d/h \leq 1$)	Dp=	76.0 mm	Dp=	78.0 mm
Risultati da modello di calcolo				
Carico verticale massimo statico SLU	V(max)=	-2121.8 kN	V(max)=	-4599.1 kN
Carico verticale minimo statico SLU	V(min)=	-435.5 kN	V(min)=	-1857.1 kN
Carico orizzontale massimo statico SLU	H(max)=	47.8 kN	H(max)=	96.5 kN
Rotazione massima statica SLU	R (max)=	2.262E-02 rad	R (max)=	5.282E-03 rad
Carico verticale massimo sismico SLC	Vs(max)=	-643.7 kN	Vs(max)=	-2256.0 kN
Carico verticale minimo sismico SLC	Vs(min)=	-319.6 kN	Vs(min)=	-1189.7 kN
Carico orizzontale massimo sismico SLC	Hs(max)=	169.9 kN	Hs(max)=	359.3 kN
Rotazione massima sismica SLC	Rs (max)=	1.286E-02 rad	Rs (max)=	2.601E-03 rad
Carico verticale massimo statico SLE (caratt.)	Ve(max)=	-1561.1 kN	V(max)=	-3373.2 kN
Carico verticale minimo statico SLE (caratt.)	Ve(min)=	-300.2 kN	V(min)=	-1283.6 kN
Carico orizzontale massimo statico SLE (caratt.)	He(max)=	35.5 kN	H(max)=	67.1 kN
Rotazione massima statica SLE (caratt.)	Re(max)=	1.450E-02 rad	R (max)=	4.001E-03 rad

L'azione trasversale massima totale trasmessa ai singoli ritegni trasversali:

$$H_d = 5 \times 169,90 = 849,50 \text{ kN}$$

8.16.2 SEZIONE E ARMATURA DI VERIFICA

Il ritegno presenta una sezione in pianta rettangolare con base pari a **60 cm** (direzione perpendicolare all'asse dell'impalcato) e altezza pari a **150 cm** (direzione parallela all'asse dell'impalcato).

L'armatura è costituita da:

- **13 forcelle Ø26** nella direzione parallela all'asse dell'impalcato
- **5 forcelle Ø26** nella direzione perpendicolare all'asse dell'impalcato

8.16.3 VERIFICA ALLO STATO LIMITE ULTIMO PER TRANCIAMENTO

CARATTERISTICHE DEI MATERIALI

CALCESTRUZZO

Classe di resistenza del calcestruzzo		C32/40	
Resistenza di calcolo a trazione del calcestruzzo	f_{ctd}	1,36	[N/mm ²]

ACCIAIO

Tipologia di acciaio		B 450 C	
Resistenza di calcolo dell'acciaio	f_{yd}	391,30	[N/mm ²]

GEOMETRIA DEL RITEGNO

Lunghezza del ritegno (direzione parallela all'asse appoggi)	L_T	60,00	[cm]
Larghezza del ritegno (direzione perpendicolare all'asse appoggi)	L_L	150,00	[cm]
Altezza del ritegno	h	82,00	[cm]

AZIONI DI CALCOLO SUL RITEGNO

Azione orizzontale trasversale massima agente sul ritegno	V_T	849,50	[kN]
---	-------	--------	------

ARMATURA DEL RITEGNO

Numero di forcelle in direzione longitudinale	n_L	13	
Diametro delle forcelle in direzione longitudinale	\varnothing_L	26	[mm]
Area delle forcelle in direzione longitudinale	A_L	138,06	[cm ²]
Numero di forcelle in direzione trasversale	n_T	5	
Diametro delle forcelle in direzione trasversale	\varnothing_T	26	[mm]
Area delle forcelle in direzione trasversale	A_T	53,10	[cm ²]

VERIFICA A TRANCIAMENTO DELL'ARMATURA

Tensione tangenziale sollecitante	τ	2,36	[N/mm ²]
Coefficiente di sicurezza	F_S	1,20	
Tensione tangenziale di calcolo	τ_{Sd}	1,97	[N/mm ²]
Coefficiente di rugosità	β	0,20	
Coefficiente di attrito tra le due superfici (spalla-ritegno)	μ	0,60	
Rapporto tra area di armatura verticale e superficie di ripresa	ρ	0,0531	
Pressione sul calcestruzzo della superficie di ripresa	σ_{cd}	0,00	[N/mm ²]

Il rapporto minimo di armatura rispetto alla superficie di ripresa viene valutato mediante la seguente relazione:

$$\rho_{\min} = \frac{A_{\min}}{A_{\text{baggiolo}}} = \frac{\tau_{Sd} - \beta \cdot f_{ctd} - \sigma_{cd}}{\mu \cdot f_{yd}}$$

Rapporto minimo di armatura rispetto alla superficie di ripresa	ρ_{\min}	0,0072	
Area di armatura minima necessaria		64,99 [cm ²]	< 191,16 [cm ²]

VERIFICA POSITIVA. L'ARMATURA DISPOSTA E' SUFFICIENTE.

9 SOTTOSCRIZIONE DELL'ELABORATO DA PARTE DEL R.T.P.

STUDIO CORONA S.r.l.

ECOPLAN S.r.l.

I.T. S.r.l.

E&G S.r.l.

CONSORZIO UNING

ARKE' INGEGNERIA S.r.l.

SETAC S.r.l.

ING. RENATO DEL PRETE

DOTT. DANILO GALLO
